

Laboratoire Central de Surveillance de la Qualité de l'Air



Pesticides dans l'air ambiant : intercomparaison analytique









Laboratoire Central de Surveillance de la Qualité de l'Air

PESTICIDES DANS L'AIR AMBIANT : INTERCOMPARAISON ANALYTIQUE

F. MARLIERE - S. FABLE - D. GRANIER (INERIS)

Programme 2015

	Rédaction	Vérification	Approbation
NOM	Fabrice MARLIERE	Caroline MARCHAND	Nicolas ALSAC
Qualité	Ingénieur de l'Unité CIME Direction des Risques Chroniques	Responsable de l'Unité CIME Direction des Risques Chroniques	Responsable du Pôle CARA Direction des Risques Chroniques
Visa			es Joint

Avec le soutien financier de





LE LABORATOIRE CENTRAL DE SURVEILLANCE DE LA QUALITÉ DE L'AIR

Le Laboratoire Central de Surveillance de la Qualité de l'Air est constitué des laboratoires de Mines Douai, de l'INERIS et du LNE. Il mène depuis 1991 des études et des recherches à la demande du Ministère chargé de l'environnement, et en concertation avec les Associations Agréées de Surveillance de la Qualité de l'Air (AASQA).

Ces travaux en matière de pollution atmosphérique ont été financés par la Direction Générale de l'Énergie et du Climat (bureau de la qualité de l'air) du Ministère de l'Environnement, l'Énergie et de la Mer (MEEM) et l'ONEMA. Ils sont réalisés avec le souci constant d'améliorer le dispositif de surveillance de la qualité de l'air en France en apportant un appui scientifique et technique au MEEM et aux AASQA. Ils ont été réalisés dans le cadre du plan Ecophyto 2018. Le plan Ecophyto a été lancé en France en 2008. Il vise à réduire progressivement l'utilisation des produits phytopharmaceutiques tout en maintenant une agriculture économiquement performante.

L'objectif principal du LCSQA est de participer à l'amélioration de la qualité des mesures effectuées dans l'air ambiant, depuis le prélèvement des échantillons jusqu'au traitement des données issues des mesures. Cette action est menée dans le cadre des réglementations nationales et européennes mais aussi dans un cadre plus prospectif destiné à fournir aux AASQA de nouveaux outils permettant d'anticiper les évolutions futures.

TABLE DES MATIÈRES

RÉS	UMÉ	7
REN	MERCIEMENTS ET COLLABORATIONS	10
1.	CONTEXTE	11
2.	PARTICIPANTS	12
3.	SUBSTANCES	13
4.	ECHANTILLONS ANALYSÉS	14
4.1	l Matrices	14
4.	.1.1 Conditionnement des mousses PUF	14
4.	.1.2 Conditionnement de la résine	15
4.2	2 Dopages	15
4.3	Stockage et expédition	17
5.	CONSIGNES AUX PARTICIPANTS	18
5.1	L Consignes analytiques	18
5.2		
6.	RÉSULTATS BRUTS	
6. 1		
6.2		
6.3		
6.4		
6.5	·	
6.6		
7.	TRAITEMENT STATISTIQUE	
7.1	·	23
7.2	5	
7.3		
7.4	•	
7.	.4.1 Résultats	25
8.	TRAITEMENT ADDITIONNEL	27
8.1	Calcul des biais relatifs	27
9.	CONCLUSIONS	30
10.	LISTE DES ANNEXES	32

RÉSUMÉ

Contexte

Le prélèvement et l'analyse de substances phytosanitaires dans le milieu atmosphérique font l'objet de sous-traitance analytique des échantillons recueillis à des laboratoires d'analyse indépendants respectant les modalités décrites dans la norme NF X 43 059. Etant donné la diversité et l'évolution constante des substances recherchées, un essai d'intercomparaison analytique a été organisé par le LCSQA/INERIS. Cette intercomparaison fait partie des actions soutenues par Ecophyto. Son financement a été partagé entre le MEDDE (programme LCSQA) et l'ONEMA (plan Ecophyto).

Sept laboratoires ont répondu favorablement à l'appel à participation.

Les 27 substances à analyser ont été sélectionnées à partir du croisement de la liste socle d'Ecophyto et des substances recherchées actuellement par une majorité d'AASQA.

Les matériaux d'essai destinés aux laboratoires ont été conditionnés et dopés par l'INERIS. Ils comprenaient 3 matrices :

- ♦ Matrice PUF propre
- ♦ Matrice PUF chargé en polluants atmosphériques
- ♦ Matrice PUF/résine XAD2 propre.

et les séries suivantes :

- ♦ Série C0 : blancs.
- Série C1: dopage de l'ensemble des substances sur mousses propres à une concentration basse (inférieure au μg/substance en moyenne).
- Série C2 : dopage de l'ensemble des substances sur mousses contaminées à une concentration haute (de l'ordre du μg/substance en moyenne).
- Série C3 : dopage de la moitié des substances sur mousses propres à une concentration basse (inférieure au μg/substance en moyenne).
- Série C4 : dopage de la moitié des substances sur mousses contaminées à une concentration haute (de l'ordre du μg/substance en moyenne).
- Série C5 : dopage de l'ensemble des substances sur résine XAD2 à une concentration haute (de l'ordre du μg/substance en moyenne et du mg pour le folpel).

Données brutes

Les conditions de conservation des échantillons et extraits appliquées par 3 laboratoires sur 7 n'ont pas respecté la norme XP X 43 059 qui demande un stockage des échantillons et des extraits à une température inférieure à -18°C.

Les échantillons ont été majoritairement extraits par la technique ASE. Seuls 2 laboratoires ont utilisé le soxhlet. Le solvant le plus utilisé est le dichlorométhane, seul ou en mélange avec l'acétone (80/20).

L'ensemble des échantillons a été analysé dans le respect du délai maximal (40 j) mentionné dans la norme XP X 43 059 et par les techniques LC-MS/MS ou GC-MS/MS.

Les rendements d'extraction transmis respectent en grande majorité la fourchette de 60-120 % autorisée par la norme NF XP X 43 059. On relève toutefois des substances qui s'en écartent de manière très ponctuelle.

Sur l'ensemble des substances, les LQ les plus faibles sont de l'ordre du ng ou la dizaine de ng. Seules 20 % des substances présentent des LQ similaires d'un laboratoire à un autre.

Les analyses des blancs ont conduit à 7 quantifications sur un total de plus de 2000 résultats d'analyses. Elles relèvent vraisemblablement d'erreurs d'identification ou de pollutions internes mais ne sont pas de nature à remettre en cause la qualité des échantillons préparés dans le cadre de cette intercomparaison.

De nombreuses anomalies ont été constatées dans les résultats transmis avec, en premier lieu, l'absence de quantification d'une substance (<LQ) alors que celle-ci fait partie du dopage. On aura également relevé pour les dopages des séries C3 et C4 quelques quantifications de substances non présentes dans le dopage. Certains laboratoires ont connu des difficultés récurrentes alors que d'autres présentent très peu voire aucune anomalie sur l'ensemble des analyses effectuées. Dans l'ensemble, elles représentent au plus 6% des résultats transmis.

Exploitation statistique

Malgré le faible nombre de laboratoires, l'exercice a été maintenue en raison de l'apport d'informations (autres que le seul classement des laboratoires selon leur z-score) qu'il représente parmi lesquelles on peut citer le traitement et le stockage des échantillons, les LQ, les rendements d'extraction, ...

Les tests d'homogénéité ont été réalisés pour chaque substance aux concentrations les plus faibles C1 et C3 sur 10 échantillons analysés en double par un laboratoire externe, ceci pour les différentes matrices. Le critère d'homogénéité est respecté à plus de 90%.

Les tests de stabilité des échantillons ont été effectuées sur des échantillons des différentes matrices pour les dopages C1 et C3 à j+14 et j+30. Les résultats globaux confirment la stabilité d'une majorité des substances, avec cependant une instabilité qui commence à apparaître à j+14 pour certaines d'entre elles et se traduit le plus souvent par une diminution des concentrations mesurées.

Les limites de cet essai d'aptitude ont conduit à des calculs de z scores à titre indicatif et ne pourraient être considérés comme représentatif de l'état de l'art en matière d'analyse des pesticides.

Toutefois, <u>lorsque la moyenne robuste est calculée sur la base de données relativement cohérentes</u>, il est possible de dégager du lot des z-scores supérieurs à 2 ou 3 qui pointent les substances et les laboratoires pour lesquels les résultats sont effectivement très éloignés de la moyenne robuste.

Devant cet état de fait, un traitement additionnel prenant en compte les valeurs moyennes des résultats de mesures de chaque participant a été mis en œuvre afin de mieux faire ressortir les informations apportées par l'intercomparaison. Le biais relatif de chaque laboratoire par rapport à la valeur cible attendue a été calculé pour chaque matrice et aux différentes concentrations de dopage.

L'exploitation a été effectuée en considérant une tolérance de 30 et 50 %. Ces limites ont été choisies car il serait souhaitable que les laboratoires d'analyse restent dans une limite de +/- 30% d'écart par rapport à la valeur cible attendue si l'on considère que les techniques d'extraction et les méthodes d'analyses mises en œuvre sont bien maitrisées, et +/-50% d'écart si le traitement analytique global reste à améliorer.

Contrairement aux résultats du traitement statistique, le calcul des biais permet de constater que quelques laboratoires se détachent des autres par leurs faibles valeurs de biais.

On note qu'au global, les dopages contenant les 27 substances suspectées d'interférences entre elles ne semblent pas amener de difficultés particulières, si ce n'est à faible niveau de concentration.

L'introduction d'une forte quantité de folpel ne semble pas avoir générée de problème particulier.

Les faibles rendements d'extraction observés au §6.3 ne semblent pas avoir eu de répercussions visibles sur les écarts présentés entre les données d'analyse de ces laboratoires et les valeurs cibles attendues.

Aucune corrélation entre les conditions ou la durée de conservation des échantillons et les biais élevés n'a été identifiée.

Au final, il semble que la forte dispersion des résultats soit essentiellement liée au traitement analytique adopté pour la quantification des échantillons.

Cet exercice a permis de mettre en évidence l'état de l'art au niveau du traitement analytique des échantillons de pesticides dans l'air ambiant. Il repose sur un faible nombre de participants mais qui disposent tous d'équipements analytiques similaires. La forte disparité observée dans les résultats nous interpelle dans la mesure où elle conduit à un risque élevé d' « effet laboratoire » ou de distorsion lors de la communication des résultats selon le laboratoire en charge des échantillons. On notera toutefois que quelques laboratoires se détachent des autres par leurs meilleurs résultats. Il appartient donc aux autres laboratoires de tirer les enseignements de cet exercice et d'améliorer leurs pratiques.

REMERCIEMENTS ET COLLABORATIONS

Le LCSQA/INERIS remercie les laboratoires qui ont répondu favorablement à l'appel à participation de cette intercomparaison, ainsi que les AASQA (LIGAIR, Atmo Picardie, Air Rhône-Alpes, Atmosf'Air Bourgogne, ASPA, AIRAQ, Atmo Champagne Ardenne, Atmo Nord/Pas-de-Calais, Airparif, ORAMIP) qui ont contribué à l'identification des laboratoires et à la constitution de la liste des substances à analyser.

1. CONTEXTE

Le prélèvement et l'analyse de substances phytosanitaires dans le milieu atmosphérique font l'objet de normes expérimentales nationales NF X 43 058 et NF X 43 059. Les associations agréées pour la surveillance de la qualité de l'air (AASQA) effectuent leurs campagnes de mesure selon la méthodologie décrite dans la norme NF X 43 058, puis sous-traitent l'analyse des échantillons recueillis à des laboratoires d'analyse indépendants respectant les modalités décrites dans la norme NF X 43 059. Etant donné d'une part la diversité et l'évolution constante des substances recherchées, et les différents laboratoires consultés par les AASQA d'autre part, des essais d'intercomparaison analytique sont effectués périodiquement dans le cadre du LCSQA.

Ce type d'essai a pour objectif de mettre en évidence la capacité des laboratoires à répondre aux besoins de sous-traitance analytique (limite de quantification, rendement d'extraction, méthodes d'analyse,...) des AASQAs mais ne vise pas une logique d'agrément ou d'accréditation.

Le dernier exercice de ce type date de 2008. L'exercice 2015 a été initié suite aux travaux effectué dans le cadre d'un groupe de travail « Air » d'Ecophyto qui ont, entre autres, abouti à la définition d'une liste « socle » nationale. Cette liste constitue la base commune des substances à rechercher sur le territoire national lors de la mise en place future d'une surveillance des pesticides dans l'air ambiant.

Pour mémoire, le plan Ecophyto a été initié en 2008 et a pour objectif de réduire progressivement l'utilisation des produits phytosanitaires (communément appelés pesticides) en France tout en maintenant une agriculture économiquement performante. Cette intercomparaison analytique fait partie des actions soutenues par Ecophyto. Son financement a été partagé entre le MEDDE (programme LCSQA) et l'ONEMA (plan Ecophyto).

2. PARTICIPANTS

Les laboratoires privés, publics et universitaires identifiés comme des acteurs reconnus dans le domaine de l'analyse des pesticides ont été contactés afin de leur présenter le contenu de l'exercice et ses enjeux. Parmi ces laboratoires, certains sont des soustraitants habituels ou ponctuels des AASQA, d'autres ont été ciblés par des AASQA (en général en raison de leur proximité géographique).

Les laboratoires ayants accepté de participer à cette intercomparaison sont :

ALPA CHIMIE

19, RUE MANCHON FRERES 76000 ROUEN

IANESCO

6, RUE CAROL HEITZ 86038 POITIERS CEDEX

LABORATOIRE DES PYRENEES ET DES LANDES

RUE DES ECOLES 64150 LAGOR

MICROPOLLUANTS TECHNOLOGIE SA

4, RUE DE BORT-LES-ORGUES ZAC DE GRIMONT 57070 SAINT JULIEN LES METZ INSTITUT DE CHIMIE ET PROCEDES L'ENVIRONNEMENT ET LA SANTE (ICPEES)

1, RUE DE BLESSIG 67084 STRASBOURG CEDEX

LABORATOIRE CHIMIE ENVIRONNEMENT

UNIVERSITE AIX-MARSEILLE3, PLACE VICTOR HUGO
13331 MARSEILLE CEDEX 3

LABORATOIRE DEPARTEMENTAL 3176, CHEMIN BOUDOU – CS 50013

31140 LAUNAGUET

Les laboratoires étaient informés de la liste des molécules à rechercher, ainsi que des gammes de concentration à rechercher. Parmi cette liste, chaque laboratoire a analysé les composés pour lesquels il possédait un savoir-faire, ce dernier découlant généralement des analyses d'eaux ou de résidus dans les aliments.

La participation à cet essai n'a demandé aucun frais de participation mais les analyses ont été réalisées sur les « fonds propres » de chaque laboratoire. L'exploitation des résultats a donné lieu à une diffusion anonyme de ceux-ci à l'ensemble des participants.

3. SUBSTANCES

Les substances à analyser ont été sélectionnées parmi celles de la liste socle d'Ecophyto (qui comporte 81 substances). La sélection comprenant 27 substances est présentée cidessous. Elles correspondent aux substances recherchées actuellement par une majorité d'AASQA. Toutes ces substances font partie de la liste socle d'Ecophyto, à l'exception du lindane, que l'on peut considérer comme une molécule « ancienne » ne présentant pas de difficultés analytiques particulières, et qui a été ajoutée comme « traceur » des exercices précédents.

Acetochlore (Herbicide)

Chlorotalonil (Fongicide)

Chlorpyriphos-ethyl (Insecticide)

Cymoxanil (Fongicide)

Cyproconazole (Fongicide)

Cyprodinil (Fongicide)

Dichlobenil (Herbicide)

Difenconazole (Fongicide)

Dimethenamide (Herbicide)

Dimethomorphe (Fongicide)

Diphenylamine (Fongicide)

Epoxiconazole (Fongicide)

Ethoprophos (Insecticide)

Fenpropidine (Fongicide)

Fenpropimorphe (Fongicide)

Folpel (Fongicide)

Kresoxim methyl (Fongicide)

Lindane (g-HCH) (Insecticide)

S-Metolachlore (Herbicide)

Oxadiazon (Herbicide)

Pendimethaline (Herbicide)

Procymidone (Fongicide)

Prosulfocarbe (Herbicide)

Pyrimethanil (Fongicide)

Spiroxamine (Fongicide)

Tebuconazole (Fongicide)

Trifloxystrobine (Fongicide)

4.1 Matrices

Les matrices faisant l'objet de l'exercice d'intercomparaison étaient des mousses de polyuréthane (PUF) employées dans les préleveurs Digitel DA80 (Fig.1), et de la résine XAD2.

Ce type de mousse, utilisé de longue date pour le prélèvement de la phase gazeuse des pesticides, a été retenu car sa texture et sa géométrie (H :75 mm, φ:64mm) permettent de réaliser facilement des dopages par injections de volumes connus de solutions étalons et ce dans de bonnes conditions de répétabilité (rapports CIL pesticides ref. : INERIS-DRC-05-65003-AIRE-n°681-FMr et DRC-09-103343-14532A).

La résine XAD2 a été introduite dans cet exercice d'intercomparaison suite aux derniers développements des travaux métrologiques du LCSQA/INERIS (Rapport LCSQA : ref DRC-11-118210-13545A - Observation des niveaux de concentration en pesticides dans l'air ambiant). L'assemblage mousse PUF/résine XAD2 permet en effet d'améliorer sensiblement la performance de collecte des composés volatils. Les échantillons de résine étaient constitués de 20 g conditionnés en flacon verre. Ils étaient associés à 2 mousses PUF de 25 mm de hauteur, reconstituant ainsi à l'identique l'assemblage mis en œuvre lors de l'utilisation d'un Digitel DA80.

4.1.1 Conditionnement des mousses PUF

Les mousses ont été conditionnées à l'INERIS par une extraction au solvant (dichlorométhane) afin d'éliminer tout résidu de fabrication, découpe,... Cette étape a été réalisée sur ASE 300 (Accelerated Solvant Extraction). Les mousses ont ensuite été emballées sous papier aluminium calciné par lot et placées sous hotte en attente d'utilisation. Une moitié des mousses a été conservée en l'état et est identifiée M1 dans la suite de l'exercice.

L'autre moitié des mousses PUF a été placée dans un préleveur grand volume de type Digitel DA80. Des prélèvements de trois heures chacun ont été réalisés à l'aide de plusieurs préleveurs placés près d'un axe de circulation interne de l'INERIS (voir figure 1).



Figure 1 : Préleveurs Digitel

Le but de cette étape était de « contaminer » ces mousses avec des composés habituellement présents dans les prélèvements atmosphériques, en particulier des hydrocarbures aromatiques polycycliques (HAP) contenus dans les gaz d'échappement, afin de se placer dans les conditions d'analyse proches de celles d'un échantillon réel. En effet, les polluants ainsi prélevés sont susceptibles de perturber les analyses ou d'interagir avec les composés dopés. Les mousses concernées ont été identifiées M2.

Après cette étape, les mousses ont été emballées individuellement dans du papier aluminium puis dans un sachet plastique hermétique. Ces mousses ont ensuite été placées au congélateur à –18°C dans l'attente d'être dopées.

4.1.2 Conditionnement de la résine

La résine a été conditionnée en 2 étapes d'extraction réalisées sur ASE, la première sous acétone, la seconde sous dichlorométhane. Elle a ensuite été mise en flacons contenant chacun 20 g de résine et conservés au réfrigérateur dans l'attente d'être dopés. Cette quantité de résine correspond à celle mise en œuvre dans les prélèvements de pesticides effectués à l'aide d'un préleveur haut débit. La résine a été identifiée comme la matrice M3 dans la suite de l'exercice.

L'utilisation de la résine pour le prélèvement de pesticides n'étant pas encore très répandu, il n'a donc pas été jugé utile de compliquer l'exercice en la chargeant de contaminants atmosphériques. L'objectif était essentiellement de vérifier la capacité des laboratoires à traiter ce support et ses interférents analytiques potentiels.

4.2 Dopages

Afin de limiter les interactions entre les substances à analyser, les solutions étalons utilisées pour les dopages ont été préparées en tenant compte de la famille chimique des composés à analyser (phosphorés/azotés, chlorés et autres). Ces solutions ont été préparées à partir de produits solides purs dissous dans l'acétone. Le panel de substances à rechercher était constitué de substances phytosanitaires appartenant à la liste socle d'Ecophyto et parmi les plus fréquemment recherchées par les AASQA (voir § 3).

Ainsi, les matériaux d'essai destinés aux laboratoires comprenaient les séries suivantes :

- ♦ Série C0 : blancs ;
- Série C1 : dopage de l'ensemble des substances à une concentration basse (inférieure au μg/substance en moyenne) ;
- Série C2 : dopage de l'ensemble des substances à une concentration haute (de l'ordre du μg/substance en moyenne) ;
- Série C3 : dopage de la moitié des substances à une concentration basse (inférieure au μg/substance en moyenne) ;
- Série C4 : dopage de la moitié des substances à une concentration haute (de l'ordre du μg/substance en moyenne) ;
- Série C5 : dopage de l'ensemble des substances à une concentration haute (de l'ordre du μg/substance en moyenne et du mg pour le folpel).

L'ensemble des dopages a été répété sur les matrices M1 (mousse PUF propre), M2 (mousse PUF chargée de contaminants atmosphériques) et M3 (résine XAD2 accompagnée de mousse PUF). Ils ont été effectués à l'INERIS et sont présentés avec le détail des quantités dopées dans le tableau 1.

Les dopages C1 et C3 correspondent en ordre de grandeur à un prélèvement inférieur dont la concentration est inférieure au ng/m^3 sur Digitel DA80 pendant 24 h ou sur Partisol durant 7 jours. Les dopages C2 et C4 correspondent à un prélèvement dont la concentration est supérieure au ng/m^3 sur les mêmes préleveurs et les mêmes durées. Le dopage C5 reprend les concentrations appliquées pour C2 à l'exception du folpel pour lequel une forte concentration, de l'ordre du $\mu g/m^3$,a été introduite afin de simuler un prélèvement en situation de proximité d'épandage viticole.

			Séries		
Substances	C1	C3	C2	C4	C 5
Acétochlore	128	128	1027	1027	1027
Chlorothalonil	293	293	586	586	586
Chlorpyriphos ethyl	449	449	1346	1346	1346
Cymoxanyl	147		1469		1469
Cyproconazole	146		1457		1457
Cyprodinil	135	135	1079	1079	1079
Dichlobénil	311		621		621
Difenoconazole	527		988		988
Diméthénamide (P)	454	454	1361	1361	1361
Diméthomorphle	589		1105		1105
Diphénylamine	285		569		569
Epoxyconazole	135		1351		1351
Ethoprophos	273		546		546
Fenpropimorphe	221	221	663	663	663
Fenpropidine	128		1282		1282
Folpel	252		504		1000000
Kresoxim méthyl	97	97	778	778	778
Lindane	452	452	1355	1355	1355
Métolachlore (S)	435	435	1304	1304	1304
Oxadiazon	151	151	1209	1209	1209
Pendiméthaline	282	282	563	563	563
Procymidone	133		1334		1334
Prosulfocarbe	329	329	657	657	657
Pyriméthanil	292	292	584	584	584
Spiroxamine	266		532		532
Tebuconazole	622		1166		1166
Trifloxystrobine	137		1373		1373

Tabeau 1 : Valeurs cibles attendues (en ng)

Au global plus de 200 échantillons ont ainsi été préparés et répartis entre les 7 laboratoires participants. Pour chaque matrice, des échantillons des séries C1 et C3 ont fait l'objet des tests d'homogénéité (10 échantillons par série) et de stabilité (4 échantillons par série).

4.3 Stockage et expédition

Les échantillons dopés ont ensuite été placés dans des sachets plastiques hermétiques pour éviter toute contamination croisée. Une étiquette a également été apposée sur l'échantillon afin d'indiquer la série à laquelle il appartenait. Tous ces échantillons ont été ensuite placés au congélateur en attente d'expédition.

Les conditions de stockage et d'expédition étaient conformes aux exigences des normes NF XP X 43 058 et 43 059. De ce fait, le vieillissement des échantillons ne peut être retenu comme un paramètre d'influence.

En pratique, l'ensemble des manipulations de cet essai (dopage, emballage, étiquetage,...) a été réalisé par un opérateur unique. Les échantillons d'une même série ont été préparés le même jour, puis ont été placés au congélateur (-20°C) en attendant d'être expédiés. Le temps de conservation des échantillons était identique pour une même série et n'a pas excédé 48 h sur l'ensemble des séries préparées. Pour chaque niveau de concentration, l'attribution des échantillons à chaque laboratoire s'est faite aléatoirement. Les mousses et résines dopées, emballées et étiquetées (stockées au congélateur) ont été placées dans des cartons isolants et munis de blocs réfrigérants puis ont été expédiées en colis « express » afin de garantir la livraison sous 24h. Les laboratoires ont été préalablement prévenus de la date d'expédition du colis.

Chaque laboratoire a mis en œuvre sa propre méthode d'analyse suivant son expérience du domaine « pesticides » et son équipement. Les résultats ont été retournés, exprimés en ng pour chacune des substances analysées et les dates des différents traitements (extraction, analyse) précisées.

Les laboratoires qui n'avaient pas la possibilité d'analyser rapidement les échantillons ont été informés des conditions de stockage permettant de s'affranchir du vieillissement des échantillons.

Les laboratoires ont disposé d'environ deux mois à compter de la réception du colis pour communiquer et saisir en ligne leurs résultats d'analyse.

5.1 Consignes analytiques

Les analyses étaient à mettre en œuvre en appliquant les méthodes propres à chaque participant. Il était recommandé que ce soit le même opérateur ou une même équipe qui effectue toutes les analyses pour un paramètre donné, dans un intervalle de temps court.

Le délai de traitement des échantillons devait se conformer aux recommandations de la norme NF XP X 43 059.

A noter, la consigne spécifique à la matrice M3 qui rappelait, afin d'être au plus près représentatif d'une extraction d'échantillon réel, que la totalité de la résine contenue dans le flacon et les 2 mousses PUF de 25 mm qui l'accompagnent devaient être regroupées dans l'appareillage d'extraction.

L'organisateur ne prenait pas en compte les résultats issus d'un processus trop tardif dépassant les délais de stockage d'échantillons ou de conservation d'extraits préconisés dans la norme NF XP X 43 059.

Ces analyses devaient être considérées comme des essais indépendants : toutes les opérations devaient être répétées, depuis l'extraction et l'analyse des échantillons jusqu'à l'expression du résultat final.

Ces consignes ont été diffusées aux participants avant la phase de traitement des échantillons. Le détail des échantillons et des analyses à effectuer est présenté en annexe 1.

5.2 Prise en compte des données

Pour mémoire, tout résultat non quantifiable car inférieur à la limite de quantification (LQ) du participant était à indiquer sous la forme < LQ et non sous la forme « 0 ». C'est-à-dire que le participant devait saisir par exemple <0,01 (où 0,01 correspond à sa LQ).

Lors de l'établissement des valeurs de référence de chaque participant, l'organisateur a écarté toutes les valeurs définies ci-dessous :

- des valeurs restituées inférieures à la limite de quantification ;
- des valeurs saisies comme nulles « 0 » ;
- des valeurs pour lesquelles une erreur de dilution ou de restitution dans l'unité imposée était mise en évidence (par exemple un facteur 1000)

Les échantillons étant soit uniques et analysés 4 fois, soit doublés et chaque échantillon analysé 2 fois, le fichier de données comprenait 4 résultats d'analyse pour chaque substance recherchée.

La méthodologie retenue était donc la suivante :

	Données reçues	Données prises en compte		
1er cas	C, C, C, <lq< th=""><th>C, C, C</th></lq<>	C, C, C		
2ème cas C, C, <lq, <lq<="" th=""><th colspan="3">С, С</th></lq,>		С, С		
3ème cas	C, <lq, <lq<="" c,="" th=""><th>C, C</th></lq,>	C, C		
4ème cas	C, <lq, <lq,="" <lq<="" th=""><th>/</th></lq,>	/		

Tableau 2 : Exemple de traitement de la restitution des 4 valeurs attendues par substance en fonction de la méthodologie définie.

6.1 Conservation des échantillons

Les conditions de conservation des échantillons et extraits appliquées par les laboratoires sont présentées dans le tableau 3.

On note que 4 laboratoires sur 7 conservent les échantillons et extraits au congélateur tandis que les autres le font au réfrigérateur (4°C).

On rappellera que la norme XP X 43 059 demande un stockage des échantillons et des extraits à une température inférieure à -18°C.

Numéro Labo	Matrice 1	Matrice 2	Matrice 3					
formations sur les conditions de stockage des échantillons								
15213	15213 4°C à l'obscurité							
15217		4°C à l'obscurité						
15218	Ten	npérature inférieure à -18°C, obscu	rité					
15256		Obscurité / -18°C						
15261		congélateur à - 22 °C et obscurité						
15266		Congélateur						
15296	Stockage des	échantillon en chambre froide 4°C,	, à l'obscurité					
Informations sur les conditions de stockage des extraits								
15213		4°C à l'obscurité						
15217		4°C à l'obscurité						
15218	Ten	npérature inférieure à -18°C, obscu	rité					
15256		Obscurité / -18°C						
15261	congélateur à - 22 °C et obscurité							
15266	Congélateur							
15296	Stockage des extrait au réfrigérateur 4°C, à l'obscurité							

Tableau 3 : Synthèse des conditions de stockage des échantillons et des extraits

6.2 Traitement des échantillons

Les échantillons ont été majoritairement extraits par la technique ASE. Seuls 2 laboratoires (15213, 15218) ont utilisé le soxhlet. Le solvant le plus utilisé est le dichlorométhane, seul ou en mélange avec l'acétone (80/20). Un seul laboratoire (15261) utilise l'acétonitrile.

Les durées d'extraction par soxhlet ont varié entre 8 et 24h.

Les programmes d'extraction par ASE comprenaient entre 2 et 4 cycles à 90 ou 100 °C.

Les laboratoires ont traité de façon identique l'ensemble des échantillons.

L'ensemble des échantillons a été analysé dans le respect du délai maximal (40 j) mentionné dans la norme XP X 43 059 et par les techniques LC-MS/MS ou GC-MS/MS. 20 % des substances ont été analysées uniquement en LC-MS/MS, 30 % uniquement en GC-MS/MS, et le reste des substances a été analysé par les 2 techniques. Le détail est présenté en annexe 2.

Les résultats d'analyse n'ont pas fait l'objet de correction du rendement d'extraction, sauf pour le laboratoire 15256. Dans son chapitre traitant du rapport d'essai et du traitement des valeurs d'information, la norme NF XP X 43 059 ne demande pas la correction des résultats des rendements d'extraction. Elle en offre toutefois la possibilité (« déviation au mode opératoire... ») à condition de le préciser dans le rapport d'essai.

6.3 Rendements d'extraction

Le tableau présenté en annexe 2 regroupe également les données des rendements d'extraction. Transmis par quelques laboratoires seulement, ils respectent en grande majorité la fourchette de 60-120 % autorisée par la norme NF XP X 43 059. On relève toutefois des substances qui s'en écartent, telles que :

- l'éthoprophos (121 % pour le laboratoire 15296),
- le cymoxanil (180 % et un coefficient de variation relatif (CVR) de 50 % pour le laboratoire 15266). Sujet à une contamination, ce laboratoire a choisi d'invalider les résultats d'analyse de ce composé.
- le S-métolachlore (128% pour le laboratoire 15296),
- la spiroxamine (43 % et un CVR de 50 % pour le laboratoire 15266, 53 % et un CVR de 58 % pour le laboratoire 15296).

6.4 Limites de quantification

Le tableau présenté en annexe 2 regroupe les données des LQ.

Les LQ transmises présentent fréquemment des écarts entre laboratoires d'un facteur 10 à 20, voire plus. Seules 20 % des substances présentent des LQ similaires d'un laboratoire à un autre. Sur l'ensemble des substances, les LQ les plus faibles sont de l'ordre du ng ou la dizaine de ng.

Un laboratoire (15256) affiche des LQ souvent inférieures à celles des autres laboratoires.

On aura noté que le laboratoire 15217 a fourni des LQ différenciées pour les matrices M1-M2 et M3 et que dans tous les cas la LQ fournie pour la matrice M3 est plus élevée d'un facteur de 2 à 4. On peut en conclure que la présence de résine XAD2 a contribué à augmenter les LQ de ce laboratoire.

6.5 Blancs

Les analyses de la mousse PUF vierge (échantillons M1CO) ont conduit à des résultats dans leur grande majorité inférieurs aux LQ annoncées, ou à des valeurs quantifiées s'en rapprochant beaucoup. Aucune contamination n'a été observée.

Les mousses PUF contaminées (échantillons M2CO) présentent des résultats similaires à la matrice M1, confirmant ainsi l'absence de contamination en pesticides. On relève une exception pour le laboratoire 15261 qui a quantifié du folpel à hauteur de 1000 ng.

Les analyses des blancs de résine XAD2/mousses PUF (M3C0) n'ont pas fait ressortir de contamination systématique de l'un ou plusieurs composés recherchés dans les échantillons dopés.

On relève toutefois:

- pour le laboratoire 15256, une quantification de l'ordre de 100 ng du difénoconazole sur l'une de ses 2 mesures communiquées.
- pour le laboratoire 15261, une quantification de la pendiméthaline aux environs de 1500 ng pour les 2 mesures communiquées, idem pour la trifloxystrobine quantifiée à environ 300 ng.

Ces quelques substances quantifiées très ponctuellement (7 quantifications sur un total de plus de 2000 résultats d'analyses) relèvent vraisemblablement d'erreurs d'identification ou de pollutions internes mais ne sont pas de nature à remettre en cause la qualité des échantillons préparés dans le cadre de cette intercomparaison.

6.6 Anomalies

Outre celles constatées lors du dépouillement des données brutes relevant plus du non respect des consignes sur le nombre et le format des données transmises, de nombreuses anomalies ont été constatées dans les résultats transmis.

En premier lieu, l'anomalie la plus fréquente est l'absence de quantification d'une substance (<LQ) alors que celle-ci fait partie du dopage.

Dans une moindre mesure, on note des divergences parfois importantes entre 2 analyses consécutives du même extrait, ou de deux extraits d'un même niveau de dopage ; l'une détectant une substance et non l'autre.

Enfin, on aura également relevé pour les dopages des séries C3 et C4 quelques quantifications de substances non présentes dans le dopage.

L'ensemble des anomalies relevées sont regroupées dans l'annexe 3.

A la lecture de ce tableau de l'annexe 3, il ressort que certains laboratoires ont connu des difficultés récurrentes. Ainsi :

- le laboratoire 15261 présente une absence de quantification systématique de l'éthoprophos et du cymoxanil dans les dopages des séries C1, C2 et C5 pour lesquels toutes les substances étaient présentes. Cette anomalie ne se retrouve pas dans les autres dopages. On peut suspecter l'interférence d'une ou plusieurs des substances absente des dopages C3 et C4. Le même phénomène se reproduit pour le folpel et les dopages des séries C1 et C2.
- Le laboratoire 15218 présente une anomalie similaire avec la diphénylamine.
- d'une manière générale, la diphénylamine est la substance sur laquelle se focalise le plus grand nombre d'anomalies (absence ou erreur de quantification).

On soulignera enfin que quelques laboratoires présentent très peu voire aucune anomalie sur l'ensemble des analyses effectuées.

Au final le nombre d'anomalies dénombrées sur plus de 1300 résultats d'analyses transmis par chaque laboratoire est présenté dans le tableau ci-dessous :

Laboratoire	15213	15217	15218	15256	15261	15266	15296
Nbr anomalies	26	32	15	0	83	0	8

Tableau 4 : Bilan du nombre d'anomalies par laboratoire.

7.1 Représentativité de l'essai

Un nombre minimum de p participants avec n mesures et avec p x n \geq 30, selon la norme NF ISO 5725-1 (§ 6.3.3), permet d'avoir un faible niveau d'incertitude des estimations des écart-types de répétabilité et de reproductibilité. Le nombre de mesurages peut être modifié lors de l'élaboration du plan de campagne en fonction des besoins des essais interlaboratoires.

Un nombre minimum de 10 participants est requis afin de limiter l'incertitude associée à la valeur assignée.

Le nombre de participants étant inférieur à 10 et le nombre de mesures étant de 4, la campagne présentait des caractéristiques qui pouvaient la remettre en question quant à la robustesse de son interprétation. Elle a été maintenue en raison de l'intérêt qu'elle présente dans l'apport d'informations autres que le seul classement des laboratoires selon leur z-score. Parmi celles-ci, on peut citer les informations concernant le traitement et le stockage des échantillons, les LQ, les rendements d'extraction,...

7.2 Homogénéité

Les tests d'homogénéité ont été réalisés pour chaque substance aux concentrations C1 et C3 sur les résultats d'analyse de 10 échantillons analysés en double par un laboratoire externe, ceci pour les différentes matrices. Ces niveaux de concentrations étant les plus faibles des séries de dopage, il a été considéré que les autres niveaux (C2, C4 et C5) présentaient un risque moindre d'hétérogénéité et n'ont pas fait l'objet du test.

On rappellera que ces échantillons sont issus du volume global préparé, et qu'ils sont de ce fait strictement identiques aux échantillons reçus par les laboratoires participants.

L'homogénéité du matériau est vérifiée au moment de sa distribution, c'est-à-dire à partir des résultats analytiques obtenus à J+0.

Les formules appliquées sont citées dans la norme NF ISO 13528, avec S_x écart-type de la moyenne des déterminations à J+0 :

-
$$S_x = \sqrt{\sum (x_t - X)^2/(g - 1)}$$
,

avec : x_t = les valeurs de détermination,

 $X = moyenne des g x_t$,

g = nombre d'échantillons soumis à une vérification de l'homogénéité

La norme NF ISO 13528 stipule également que pour chaque paramètre, le coordonnateur de l'intercomparaison examine le critère d'homogénéité. Le matériau d'essai est considéré comme ayant une homogénéité satisfaisante si et seulement si S_x / $\hat{\sigma} \leq \mathbf{0}, \mathbf{3}$, avec :

 $\hat{\sigma}=$ descripteur de variabilité de la population, égal à l'écart-type robuste ou une valeur pré établie.

Dans l'éventualité d'un matériau d'essai interlaboratoires ne pouvant être considéré comme homogène ($S_x/\hat{\sigma} > 0,3$), le coordonnateur, conformément au chapitre B2 c de la norme NF ISO 13528, inclut l'écart-type interéchantillons dans l'écart-type des essais d'aptitude.

Dans notre cas, $\hat{\sigma}$ était pris, dans un premier temps, égal à l'écart-type robuste. Puis, étant donné les limites de l'exercice rappelée au §7.1 et le niveau élevé de l'écart-type robuste, un second traitement a été effectué en fixant $\hat{\sigma}$ à 30 % de la valeur cible attendue.

Pour les séries de dopage C1 et C3, le critère d'homogénéité est respecté à plus de 90%. Les substances pour lesquelles il n'est pas respecté présentent un $S_x/\hat{\sigma}$ très proche de 0,3.

7.3 Stabilité

La norme NF ISO 13528 précise que la stabilité du matériau doit être vérifiée à une fréquence définie, suivant les possibilités de planification.

Pour chaque paramètre, le coordonnateur examine le critère de stabilité en utilisant le critère d'évaluation de la norme NF ISO 13528.

La moyenne générale des déterminations obtenues lors de la vérification de l'homogénéité (à J+0, X) est comparée à la moyenne générale des résultats obtenus lors de la vérification de la stabilité (à J+i, Y). Les échantillons sont considérés comme suffisamment stables si |X-Y| / $\hat{\sigma} \le 0,3$.

Dans le cas contraire, le coordonnateur examine les résultats avec les experts techniques concernés et l'expert statisticien afin de décider de la suite à donner à la campagne pour le paramètre ou la famille de paramètres concernés.

Dans notre cas, les analyses ont été effectuées sur des échantillons des différentes matrices pour les dopages C1 et C3 à j+14 et j+30. Durant ce laps de temps, les échantillons étaient conservés au congélateur. Les échantillons ont été traités début mars soit 10 jours après l'envoi des échantillons (J0 :26 février).

Les résultats globaux confirment la stabilité d'une majorité des substances, avec cependant une instabilité qui commence à apparaître à j+24 pour certaines d'entre elles. Elle se traduit le plus souvent par une diminution des concentrations mesurées et s'étend à près de 30 % des substances à j+40. Les instabilités observées ne portent pas systématiquement sur les mêmes substances.

7.4 Tests statistiques

Dans un premier temps, une étape consistant en la recherche de valeurs aberrantes est appliquée conformément à la norme NF ISO 5725-5. A ce niveau, aucun résultat n'a été écarté du jeu de données avant l'application des tests statistiques robustes. Cette étape repose notamment sur deux tests statistiques: les tests de Cochran et de Grubbs, le premier testant la dispersion, le second la justesse des résultats d'un laboratoire. Plus précisément, le test de Cochran consiste à comparer la variabilité interne de chaque participant à celle de l'ensemble de la population. Le test de Cochran est réalisé de manière itérative jusqu'à ce qu'aucune valeur aberrante ou douteuse ne soit plus détectée. A chaque itération, la population est réduite d'un individu.

Le test de Grubbs simple est utilisé pour la recherche d'une observation aberrante. Il consiste à comparer chaque valeur extrême (moyenne maximale Xmax ou moyenne minimale Xmin) à la moyenne de l'ensemble de la population. Le test de Grubbs est réalisé de manière itérative, alternativement à l'extrémité haute et l'extrémité basse de la population, jusqu'à ce qu'aucune valeur aberrante ou douteuse ne soit plus détectée. A chaque itération, la population est réduite d'un individu.

Si le test simple ainsi mis en application ne détecte pas de valeur aberrante, le test double de Grubbs est appliqué.

La performance des laboratoires est évaluée au moyen du score z. Pour ce faire, l'écart-type pour l'évaluation de l'aptitude $\hat{\sigma}$ a été déterminé à partir des résultats des participants. Il a été pris égal à l'écart-type robuste estimé en appliquant l'algorithme A. Un laboratoire dont le score z est supérieur à 3,0 ou inférieur à -3,0 donne lieu à un « signal d'action ». Un score z supérieur à 2,0 ou inférieur à -2,0 donne lieu à un signal d'avertissement (§7.4.2 norme NF ISO 13528).

Le détail de la démarche est présenté en annexe 4.

7.4.1 Résultats

Il a été précisé au § 7.1 les limites de cet essai d'aptitude. Ces limites ont été confirmées et aggravées par une dispersion très importante des résultats de mesures de l'ensemble des laboratoires. Quelques graphes éloquents sont présentés en annexe 5. Ces éléments combinés ont eu parfois des effets pervers. Ainsi, on aura pu noter durant la phase de traitement statistique que certains des participants s'approchant de la valeur cible ont eu leurs données considérées aberrantes par les tests de Cochran ou Grubbs, et donc affectées d'un poids statistique réduit par rapport aux autres participants. On constatera également des valeurs d'incertitude de mesures très élevées pour une majorité de substances, toutes matrices et concentrations confondues.

Les résultats du traitement statistique traduit en terme de z-score et les données associées sont présentés en annexe 6, par référence d'échantillon. Ils sont donnés à titre indicatif pour se conformer aux usages en terme de rendus des exercices d'interlaboratoire et ne pourraient être considérés comme représentatif de l'état de l'art en matière d'analyse des pesticides.

Toutefois, après un examen attentif des jeux de données, il est possible de dégager du lot des z-scores supérieurs à 2 ou 3. Ceux-ci pointent en effet les substances et les laboratoires pour lesquels les résultats sont effectivement très éloignés de la moyenne robuste, <u>lorsque celle-ci est calculée sur la base de données dont la dispersion est limitée</u>. Quelques exemples de substances concernées par ce cas de figure sont présentés en annexe 7.

Le recensement des z-scores supérieurs à 2 et 3 est présenté dans le tableau ci-dessous.

				Laboratoires			
Séries	15213	15217	15218	15256	15261	15266	15296
M1C1	cyproconazole z>2	pendimethaline z>3			acetochlore et chlorothalonil z>2		
M1C3		Fenpropimorphe z>3					
M2C1					Acetochlore z>2 Oxadiazon z>3		
M2C3		pendimethaline z>3			chlorothalonil z>2		
M3C1	oxadiazon z>3						
МЗСЗ	oxadiazon z>3	acetochlore, pendimethaline z>3					
M1C2					acetochlore z>2		
M1C4							
M2C2							
M2C4							
M3C2	oxadiazon z>2						pendimethaline z>2
M3C4	oxadiazon z>3					chlorothalonil z>2	
M1C5	dimethenamide z>3	fenpropimorphe et tebuconazole z>2 pendimethaline z>3					
M2C5	oxadiazon z>3				chlorothalonil et cyproconazole z>2		
M3C5	oxadiazon z>3						

Tableau 5 : Bilan des scores z élevés par laboratoire et série d'échantillon.

Devant cet état de fait, un traitement additionnel a été mis en œuvre afin de mieux faire ressortir les informations apportées par l'intercomparaison et le positionnement de chaque laboratoire vis-à-vis des valeurs cibles attendues.

8.1 Calcul des biais relatifs

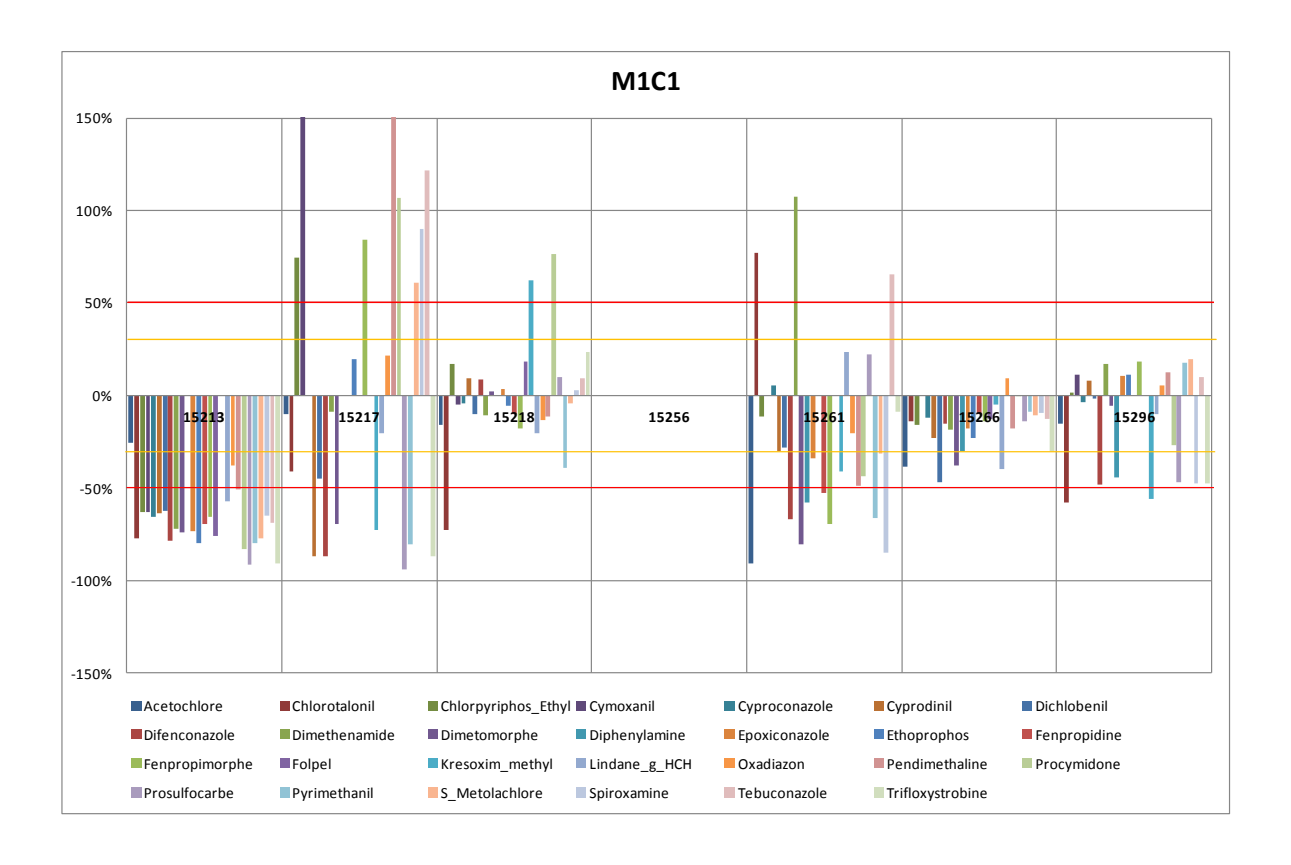
Conformément à la norme NF ISO 13528, il est possible de caractériser les résultats des mesures en calculant le biais de chaque participant, soit l'écart entre la moyenne de chaque laboratoire et la valeur cible attendue. Ce biais peut être exprimé en relatif par rapport à cette valeur cible. Il a été calculé pour chaque substance, chaque matrice et aux

différentes concentrations de dopage selon la formule
$$D = 100 \frac{(\overline{x_i} - X)}{X}$$

où $\overline{x_i}$ est la concentration moyenne d'une substance mesurée par le laboratoire i,

X correspond à la valeur cible attendue de la substance considérée.

Le biais de chaque laboratoire est représenté sous forme de barre pour chacune des substances à quantifier (voir exemple ci-dessous).



L'exploitation des graphiques a été effectuée en considérant une tolérance de 30 et 50 %, limites respectivement représentés par une ligne orange et une ligne rouge. Ces limites ont été choisies car il serait souhaitable que les laboratoires d'analyse restent dans une limite de +/- 30% d'écart par rapport à la valeur cible attendue si l'on considère que les techniques d'extraction et les méthodes d'analyses mises en œuvre sont bien maitrisées, et +/-50% d'écart si le traitement analytique global reste à améliorer.

Concrètement, ces tolérances se basent sur le fait que les limites du rendement d'extraction fixés par la norme NF XP X 43 059 étant de 60 et 120 %, les résultats moyens des participants devraient se situer en toute logique dans une plage maximale de biais de -40 à + 20 %, dans la mesure où les analyses sont considérées justes. Or, les rendements d'extraction annoncés par les participants (voir annexe 2) étant majoritairement proche des 90-100%, la fourchette de tolérance retenue de 30-50% autorise de fait 20 à 40 % d'écart uniquement sur les méthodes analytiques ce qui semble très raisonnable compte tenu des performances des techniques mises en oeuvre (MS/MS).

Les graphiques de ce traitement sont présentés, pour chaque matrice aux différentes concentrations, en annexe 8.

On rappellera que la matrice M1 correspond aux mousses PUF vierges, M2 aux mousses PUF contaminées et M3 aux couplages mousse PUF/résine XAD2.

Les observations globales pour chaque laboratoire sont les suivantes :

- **15213**: les biais sont globalement cohérents d'une matrice à l'autre, les biais présentent systématiquement valeurs négatives. Les profils sont similaires sur les 3 matrices et les différentes concentrations entre elles. On note qu'environ 70% des résultats présentent des biais supérieurs à 50% pour les matrices M1 et M2. Ce pourcentage monte à 90 % pour le dopage C5 quelle que soit la matrice. On note également le cas particulier de l'oxadiazon dans la matrice M3 : son biais jusqu'alors négatif passe systématiquement dans les valeurs positives.
- 15217: les biais se répartissent entre valeurs positives et négatives. Les dépassements importants (>50%) portent fréquemment sur les mêmes substances quelle que soit la matrice et la concentration considérée. Les biais ont tendance à augmenter pour les matrices M2 et M3. Près de la moitié des biais sont supérieurs à 50%.
- **15218**: une majorité des biais est inférieur à 30%, quelques autres sont plus élevés mais généralement limités à des substances précises (chlorothalonil, procymidone, cyprodinil...). Globalement on observe plus de biais supérieurs à 50% lorsque le matrice contient des contaminants atmosphériques et lorsque le dopage contient la totalité des substances à faible concentration (C1).
- **15256**: n'ayant analysé qu'une seule matrice, les biais de ce laboratoire observés sur la matrice M3 sont très satisfaisants. Ils se situent en moyenne autour des 10%. Il faut rappeler que les résultats de ce laboratoire sont corrigés des rendements d'extraction. Si l'on s'en tient aux valeurs de rendements transmis, on peut considérer que cette correction est sans répercussion sur les résultats globaux. Si l'on réintègre les rendements aux biais, ceux-ci restent nettement inférieurs à 50% et donc très satisfaisants. On relèvera toutefois une forte augmentation des biais pour la série C5, traduisant une certaine difficulté à gérer la concentration élevée en folpel.

- **15261**: les résultats sont cohérents pour la matrice M2 (biais négatifs) bien que globalement très éloignés des valeurs cibles (écarts proches de 100 %). Ce laboratoire semble gêné par la présence de contaminants atmosphériques. Pour les matrices M1 et M3, les écarts s'améliorent pour bon nombre de substances, même si elles présentent des biais importants (>50%). A noter que les écarts les plus élevés ne portent pas sur les mêmes substances selon la matrice considérée.
- **15266**: les résultats sont globalement homogènes, regroupés dans la partie négative de l'axe des biais et relativement similaires selon la matrice considérée. On dénombre peu de biais au-delà des 50 %. On relève toutefois une tendance croissante des biais avec la matrice M3 à faible niveau de dopage.
- **15296**: les changements de matrice ne semblent pas avoir d'influence sur les résultats de ce laboratoire. Les écarts sont quasi identiques quels que soient les substances et la nature de la matrice. A noter un nombre de biais élevés nettement en hausse pour la série M3C2 qui passe à 19 alors que ce laboratoire se maintenait entre 5 et 7 dépassements dans les autres séries.

Le recensement des biais supérieurs à 50 % de la valeur cible attendue conduit au tableau suivant :

	M1C1	M2C1	M3C1	M1C3	M2C3	M3C3	M1C2	M2C2	M3C2	M1C4	M2C4	M3C4	M1C5	M2C5	M3C5
15213	23	20	17	9	9	6	21	14	23	11	13	12	23	22	25
15217	15	14	13	6	6	8	8	9	21	5	5	6	15	10	9
15218	4	7	4	2	2	2	3	2	4	2	4	1	4	3	8
15256			0			0			0			0			5
15261	12	23	14	7	13	7	18	12	19	9	12	8	7	12	21
15266	1	1	0	1	0	1	1	1	1	0	0	0	2	1	1
15296	6	6	6	3	3	3	7	3	19	3	2	3	7	6	5

Tableau 6: Bilan des biais supérieurs à 50% par laboratoire et série d'échantillon.

Note : les séries C1, C2 et C5 comportaient les 27 substances, alors que les séries C3 et C4 n'en comportaient que 13.

Les laboratoires présentant un nombre de biais nettement inférieurs aux autres laboratoires apparaissent en surligné.

On note qu'au global les dopages contenant les 27 substances suspectées d'interférences entre elles ne semblent pas amener de difficultés particulières, si ce n'est à faible niveau de concentration.

L'introduction d'une forte quantité de folpel ne semble pas avoir généré de problème particulier.

Les faibles rendements d'extraction observés au §6.3 ne semblent pas avoir eu de répercussions visibles sur les écarts présentés entre les données d'analyse de ces laboratoires et les valeurs cibles attendues.

Aucune corrélation entre les conditions ou la durée de conservation des échantillons et les biais élevés n'a été identifiée.

Au final, il semble que la dispersion des résultats soit essentiellement liée au traitement analytique adopté pour la quantification des échantillons.

9. CONCLUSIONS

Données brutes

De cet exercice d'intercomparaison analytique, on retiendra l'absence de contamination des matrices vierges.

Il a été relevé des différences de conditions de stockage et de traitement extractif, sans conséquences apparentes sur les résultats d'analyse.

Les rendements d'extraction respectent les critères de la norme NF XP X 43 059, à quelques exceptions près. Ces derniers n'ont pas de conséquences visibles sur l'analyse des substances concernées.

De nombreuses anomalies ont été constatées dans les résultats transmis. En premier lieu, on note l'absence de quantification d'une substance (<LQ) bien présente dans le dopage. L'inverse a été également constaté mais dans une moindre mesure.

Exploitation statistique

Pour les séries de dopage C1 et C3, le critère d'homogénéité est respecté à plus de 90%.

Ces niveaux de concentrations étant les plus faibles des séries de dopage, il a été considéré que les autres niveaux (C2, C4 et C5) présentaient un risque moindre d'hétérogénéité et n'ont pas fait l'objet du test.

Les résultats globaux montrent une bonne stabilité d'une majorité des substances à j0, avec cependant une instabilité qui commence à apparaître à j+24. Elle se traduit le plus souvent par une diminution des concentrations mesurées et s'étend à près de 30 % des substances à j+40. Les instabilités observées ne portent pas systématiquement sur les mêmes substances.

Les z-score ont été calculés à titre indicatif et ne pourraient être considérés comme représentatif de l'état de l'art en matière d'analyse des pesticides.

Compte-tenu du faible nombre de laboratoire participant et de la dispersion très importante des résultats de mesures, les valeurs d'incertitude de mesures sont de fait très élevées pour une majorité de substances, toutes matrices et concentrations confondues.

Un examen attentif des jeux de données a néanmoins permis de dégager les z-scores supérieurs à 2 ou 3 qui pointent les substances et les laboratoires pour lesquels les résultats sont effectivement très éloignés de la moyenne robuste, <u>lorsque celle-ci est calculée sur la base de données relativement cohérentes des autres laboratoires</u>. Ces z-scores sont peu nombreux et se limitent à quelques substances.

Traitement additionnel

Devant cet état de fait, un traitement additonnel a été engagé avec l'objectif de caractériser les résultats des mesures en calculant le biais de chaque participant, soit l'écart entre la moyenne de chaque laboratoire et la valeur cible attendue.

L'exploitation des graphiques a été effectuée sur la base d'une tolérance de 30 et 50 %. Il serait en effet souhaitable que les laboratoires d'analyse restent dans une limite de 30% d'écart par rapport à la valeur cible attendue. Contrairement aux résultats du traitement statistique, le calcul des biais permet de constater que quelques laboratoires se détachent des autres par leurs faibles valeurs de biais.

Au global, les dopages contenant les 27 substances suspectées d'interférences entre elles ne semblent pas amener de difficultés particulières, si ce n'est à faible niveau de concentration. L'introduction d'une forte quantité de folpel ne semble pas avoir généré de problème particulier.

Dès lors, il semble que la dispersion des résultats soit essentiellement liée au traitement analytique adopté pour la quantification des substances dopées dans les échantillons.

L'ensemble de ces résultats permet de mettre en évidence l'état de l'art au niveau du traitement analytique des échantillons de pesticides dans l'air ambiant. Il en ressort une certaine disparité dans la fiabilité des résultats d'analyse qui conduit à un risque élevé d' « effet laboratoire » ou de distorsion lors de la communication des résultats selon le laboratoire en charge des échantillons. On notera toutefois que certains laboratoires se détachent des autres par leurs meilleurs résultats. Il appartient aux autres laboratoires de tirer les enseignements de cet exercice et d'améliorer leurs pratiques. On rappellera que les techniques employées pour les échantillons d'air ambiant sont identiques à celles de l'analyse dans l'eau ou dans les aliments.

La problématique des pesticides dans l'air ambiant ne faisant que se développer, nul doute que les laboratoires sous-traitants soient plus nombreux dans un avenir proche, ce qui permettrait de renouveler ce type d'exercice avec un nombre de participant supérieur à 10 afin de s'affranchir du critère de représentativité statistique.

10. LISTE DES ANNEXES

Annexes	titres				
Annexe 1	Descriptif des échantillons et des analyses à effectuer				
Annexe 2	Informations méthodologiques				
Annexe 3	Recensement des anomalies analytiques				
Annexe 4	Traitement statistique				
Annexe 5	Exemples de résultats dispersés				
Annexe 6	Z score et données statistiques				
Annexe 7	Exemples de résultats cohérents				
Annexe 8	Biais relatifs				

ANNEXE **1**

DESCRIPTIF DES ÉCHANTILLONS ET DES ANALYSES À EFFECTUER

Référence	Matrice	Conditionnement	Commentaires
M1C0	Mousse PUF 75 mm propre	1 sachet	blanc
M1C1	Mousse PUF 75 mm propre	2 sachets	100 à 500 ng/substance déposés sur la matrice
M1C2	Mousse PUF 75 mm propre	1 sachet	500 à 1000 ng/substance déposés sur la matrice
M1C3	Mousse PUF 75 mm propre	2 sachets	100 à 500 ng/substance déposés sur la matrice
M1C4	Mousse PUF 75 mm propre	1 sachet	500 à 1000 ng/substance déposés sur la matrice
M1C5	Mousse PUF 75 mm propre	1 sachet	500 à 1000 ng/substance déposés + 1 interférent sur la matrice
M2C0	Mousse PUF 75 mm polluée	1 sachet	blanc
M2C1	Mousse PUF 75 mm polluée	2 sachets	100 à 500 ng/substance déposés sur la matrice
M2C2	Mousse PUF 75 mm polluée	1 sachet	500 à 1000 ng/substance déposés sur la matrice
M2C3	Mousse PUF 75 mm polluée	2 sachets	100 à 500 ng/substance déposés sur la matrice
M2C4	Mousse PUF 75 mm polluée	1 sachet	500 à 1000 ng/substance déposés sur la matrice
M2C5	Mousse PUF 75 mm polluée	1 sachet	500 à 1000 ng/substance déposés + 1 interférentsur la matrice
M3C0	2 mousses PUF 25mm + 20 g résine XAD2 propres	1 sachet + 1 flacon	blancs
M3C1	2 mousses PUF 25mm + 20 g résine XAD2 propres	2 sachets + 2 flacons	100 à 500 ng/substance déposés sur la résine
M3C2	2 mousses PUF 25mm + 20 g résine XAD2 propres	1 sachet + 1 flacon	500 à 1000 ng/substance déposés sur la résine
МЗСЗ	2 mousses PUF 25mm + 20 g résine XAD2 propres	2 sachets + 2 flacons	100 à 500 ng/substance déposés sur la résine
M3C4	2 mousses PUF 25mm + 20 g résine XAD2 propres	1 sachet + 1 flacon	500 à 1000 ng/substance déposés sur la résine
M3C5	2 mousses PUF 25mm + 20 g résine XAD2 propres	1 sachet + 1 flacon	500 à 1000 ng/substance déposés + 1 interférent sur la résine

Référence	Matrice	Conditionnement	Commentaires
M1C0	Mousse PUF 75 mm propre	1 sachet	1 extraction et 4 analyses
M1C1A	Mousse PUF 75 mm propre	1 sachet	1 extraction et <mark>2 analyses</mark>
М1С1В	Mousse PUF 75 mm propre	1 sachet	1 extraction et <mark>2 analyses</mark>
M1C2	Mousse PUF 75 mm propre	1 sachet	1 extraction et 4 analyses
М1СЗА	Mousse PUF 75 mm propre	1 sachet	1 extraction et <mark>2 analyses</mark>
М1СЗВ	Mousse PUF 75 mm propre	1 sachet	1 extraction et <mark>2 analyses</mark>
M1C4	Mousse PUF 75 mm propre	1 sachet	1 extraction et 4 analyses
M1C5	Mousse PUF 75 mm propre	1 sachet	1 extraction et 4 analyses
м2С0	Mousse PUF 75 mm polluée	1 sachet	1 extraction et 4 analyses
M2C1A	Mousse PUF 75 mm polluée	1 sachet	1 extraction et <mark>2 analyses</mark>
M2C1B	Mousse PUF 75 mm polluée	1 sachet	1 extraction et <mark>2 analyses</mark>
M2C2	Mousse PUF 75 mm polluée	1 sachet	1 extraction et 4 analyses
м2СЗА	Mousse PUF 75 mm polluée	1 sachet	1 extraction et <mark>2 analyses</mark>
м2СЗВ	Mousse PUF 75 mm polluée	1 sachet	1 extraction et <mark>2 analyses</mark>
M2C4	Mousse PUF 75 mm polluée	1 sachet	1 extraction et 4 analyses
M2C5	Mousse PUF 75 mm polluée	1 sachet	1 extraction et 4 analyses
мзсо	2 mousses PUF 25mm + 20 g résine XAD2 propres	1 sachet + 1 flacon	1 extraction et 4 analyses
МЗС1А	2 mousses PUF 25mm + 20 g résine XAD2 propres	1 sachet + 1 flacon	1 extraction et <mark>2 analyses</mark>
М3С1В	2 mousses PUF 25mm + 20 g résine XAD2 propres	1 sachet + 1 flacon	1 extraction et <mark>2 analyses</mark>
М3С2	2 mousses PUF 25mm + 20 g résine XAD2 propres	1 sachet + 1 flacon	1 extraction et 4 analyses
МЗСЗА	2 mousses PUF 25mm + 20 g résine XAD2 propres	1 sachet + 1 flacon	1 extraction et <mark>2 analyses</mark>
мзсзв	2 mousses PUF 25mm + 20 g résine XAD2 propres	1 sachet + 1 flacon	1 extraction et <mark>2 analyses</mark>
М3С4	2 mousses PUF 25mm + 20 g résine XAD2 propres	1 sachet + 1 flacon	1 extraction et 4 analyses
м3С5	2 mousses PUF 25mm + 20 g résine XAD2 propres	1 sachet + 1 flacon	1 extraction et 4 analyses

ANNEXE 2

INFORMATIONS MÉTHODOLOGIQUES

Substance	Numéro labo	LQ	Rendement d'extraction (en %)	CVR (en %)	Technique d'analyse
	15213				
	15217	55 (210)			
	15218	20	101	3	GC-MS
Acetochlor	15256				
	15261 15266	25	74	11	I C NACNAC
	15200	25	74	11	LC-MSMS GC-MS/MS, étalonnage
	15296	10	101	18	interne
	15213	5			
	15217	55 (210)			
	15218	20	120	1	GC-MS
Chlorotalonil	15256				
	15261				
	15266	50	85	30	GC-MS/MS
	15296	20	68	23	GC-MS/MS, étalonnage interne
	15213	5			
	15217	110 (425)			
Oblamania I = 1	15218	20	106	3	GC-MS
Chlorpyriphos-Ethyl	15256 15261	(7,5)		1	GC-MS/MS
	15261	25	79	13	GC-MS/MS
					GC-MS/MS, étalonnage
	15296 15213	10	104	14	interne
	15213	10 20 (40)	+	1	
	15217	20 (40)	120	5	LC-MSMS
Cymoxanil	15256	20	120	,	LC-IVISIVIS
-,	15261				
	15266	25	180	75	LC-MSMS
	15296	10	81	19	LC-MS/MS, étalonnage externe
	15213	10			externe
	15217	550 (2130)			
	15218	20	110	5	LC-MSMS
Cyproconazole	15256				
	15261				
	15266	25	94	11	LC-MSMS
	15296	10	104	16	LC-MS/MS, étalonnage externe
	15213	10			
	15217	20 (40)			
	15218	20	105	3	GC-MS
Cyprodinil	15256	36			GC-MS/MS
	15261	25			10.1010
	15266 15296	25 10	78 107	5 19	LC-MSMS LC-MS/MS, étalonnage
			10,	1	externe
	15213	5	1		
	15217	55 (210)	100	2	CC NAC
Dichlobenil	15218 15256	20	108	3	GC-MS
Didnobellii	15261		 		
	15266	15	75	9	GC-MS/MS
	15296	10	93	10	GC-MS/MS, étalonnage interne
	15213	10		1	meme
	15217	20 (40)	†		
	15218	20	100	5	LC-MSMS
Difenconazole	15256		<u> </u>		GC-MS/MS
	15261	· 			
	15266	25	88	9	LC-MSMS
	15296	10	100	11	LC-MS/MS, étalonnage externe
	15213	10			
	15217	55 (210)			
	15218	20	104	3	GC-MS
Dimethenamide	15256		1		
	15261	15	00	12	CC NAC/NAC
	15266	15	90	13	GC-MS/MS GC-MS/MS, étalonnage
	15296	10	110	17	interne

Substance	Numéro labo	LQ	Rendement d'extraction (en %)	CVR (en %)	Technique d'analyse
	15213	10			
	15217	20 (40)			
	15218	20	115	5	LC-MSMS
Dimetomorphe	15256				
	15261				
	15266	25	69	7	LC-MSMS
	45300	10	105	11	LC-MS/MS, étalonnage
	15296	10	105	11	externe
	15213				
	15217				
	15218	1000	60	5	LC-MSMS
Diphenylamine	15256				
	15261				
	15266	15	80	18	GC-MS/MS
	15296	50	78	19	GC-MS/MS, étalonnage
			,,,	13	interne
	15213	10			
	15217	550 (2130)			
	15218	20	115	5	LC-MSMS
Epoxiconazole	15256			ļ	
	15261				
	15266	25	86	7	LC-MSMS
	15296	10	105	14	LC-MS/MS, étalonnage
					externe
	15213	10			
	15217	110 (425)			
	15218	20	98	3	GC-MS
Ethoprophos	15256				
	15261				
	15266	25	75	9	LC-MSMS
	15296	10	121	22	GC-MS/MS, étalonnage interne
	15213	10			
	15217	550 (2130)			
Fenpropidine	15218	20	115	5	LC-MSMS
renproprame	15256				
	15261				
	15266	100	67	33	GC-MS/MS
	15296				
	15213	10			
	15217	55 (210)			
	15218	20	99	5	GC-MS
Fenpropimorphe	15256	(1)			GC-MS/MS
	15261				
	15266	25	82	32	GC-MS/MS
	15296	10	110	20	LC-MS/MS, étalonnage externe
	15213	5			
	15217				
Folpel	15218	100	91	5	GC-MS
roipei	15256	(192)		<u> </u>	GC-MS/MS
	15261			ļ	
	15266	100	115	22	GC-MS/MS
	15296				
	15213	10			
	15217	20 (40)		ļ	
	15218	20	98	3	GC-MS
Kresoxim methyl	15256	(2,5)			GC-MS/MS
	15261				
	15266	100	109	44	GC-MS/MS
	15296	10	103	13	GC-MS/MS, étalonnage interne
	15213	5			
	15217	55 (210)			
	15218	20	106	2	GC-MS
Lindane (g-HCH)	15256	(7,5)			GC-MS/MS
	15261				
	15266	15	88	14	GC-MS/MS
	15296	10	97	24	GC-MS/MS, étalonnage
	13230	10	3/	24	interne

Substance	Numéro labo	LQ	Rendement d'extraction (en %)	CVR (en %)	Technique d'analyse
	15213	10			
	15217	55 (210)			
	15218	20	94	3	GC-MS
S-Metolachlore	15256	20			GC-MS/MS
	15261				
	15266	15	86	17	GC-MS/MS
	15296	10	128	20	LC-MS/MS, étalonnage
					externe
	15213	5			
	15217	55 (210)			
	15218	20	104	3	GC-MS
Oxadiazon	15256	(3)			GC-MS/MS
	15261				
	15266	15	96	31	GC-MS/MS
	15296	10	105	10	LC-MS/MS, étalonnage externe
	15213				
	15217	110 (425)			
	15218	20	109	2	GC-MS
Pendimethaline	15256	(2)		1	GC-MS/MS
	15261			1	
	15266	60	90	16	GC-MS/MS
	15296	10	105	17	LC-MS/MS, étalonnage
			105	1,	externe
	15213	5			
	15217	110 (425)			
	15218	20	95	3	GC-MS
Procymidone	15256				
	15261				
	15266	60	91	31	GC-MS/MS
	15296	20	79	21	GC-MS/MS, étalonnage interne
	15213	10			
	15217	20 (40)			
	15218	20	100	5	LC-MSMS
Prosulfocarbe	15256	(3)			GC-MS/MS
	15261				
	15266	30	84	20	GC-MS/MS
	15296	20	87	21	LC-MS/MS, étalonnage externe
	15213	10			
	15217	20 (40)			
	15218	100	115	5	LC-MSMS
Pyrimethanil	15256	(2)			GC-MS/MS
,	15261	(-/			
	15266	50	84	12	GC-MS/MS
	15296	10	119	15	GC-MS/MS, étalonnage interne
	15213	10		1	
	15217	55 (210)		†	
	15218	20	120	5	LC-MSMS
Spiroxamine	15256	(15)			GC-MS/MS
	15261	,			-, -
	15266	30	43	50	GC-MS/MS
	15296	50	53	58	LC-MS/MS, étalonnage externe
	15213	10		ļ	
	15217	550 (2130)		ļ	
	15218	20	120	5	LC-MSMS
Tebuconazole	15256	(2)			GC-MS/MS
	15261				,
	15266 15296	25 10	89 112	7	LC-MSMS LC-MS/MS, étalonnage
	15296	10	112	10	externe
	15217	20 (40)			
	15217	20 (40)	110	5	LC-MSMS
Trifloxystrobine	15256	20	110		EC IAIDIAID
iiiioxystiobilie	15261				
	15266	25	73	13	LC-MSMS
	13200	۷.)	/3	13	LC-MS/MS, étalonnage
	15296	20	85	17	externe

RECENSEMENT DES ANOMALIES ANALYTIQUES

					Laboratoire			
Substances	Séries	15213	15217	15218	15256	15261	15266	15296
	M1C1					x		
	M1C3					X		
	M2C1					х		
	M2C3					X		
	M3C1					X		
	M3C3							
Acetochlore	M1C2							
	M1C4							
	M2C2							
	M2C4							
	M3C2							х
	M3C4							
	M1C5							
	M2C5							
	M3C5							
	M1C1							
	M1C3							
	M2C1					х		
	M2C3		х					х
	M3C1			х		X		
	M3C3	X				X		
Chlorotalonil	M1C2 M1C4							
	M2C2	x		x				
	M2C4	A		A				
	M3C2	x	х			x		х
	M3C4	X	^	х		X		^
	M1C5	^		^		^		
	M2C5							
	M3C5					x		
	M1C1							
	M1C3							
	M2C1							
	M2C3	х						
	M3C1	-						
	M3C3							
Chlorpyriphos-	M1C2							
Ethyl	M1C4							
•	M2C2							
	M2C4							
	M3C2							
	M3C4							
	M1C5							
	M2C5							
	M3C5							
	M1C1					X		
	M1C3							
	M2C1					X		
	M2C3							
	M3C1		X			X		
	M3C3		х					
Cymoxanil	M1C2					X		
-,	M1C4							
	M2C2					X		
	M2C4							
	M3C2					X		
	M3C4							
	M1C5					X		
	M2C5					X		
	M3C5					X		
	M1C1		х					
	M1C3 M2C1							
	M2C3					х		
	M3C1	х				x		
	M3C3	^	х			^		
	M1C2		^					
Cyproconazole	M1C4							
	M2C2							
	M2C4							
	M3C2							
	M3C4							
	M1C5							
	M2C5							
	M3C5					x		
	M1C1							
	M1C3		х					
	M2C1							
	M2C3							
	M3C1	x				x		
	M3C3	x						
Currodi-!!	M1C2							
Cyprodinil	M1C4							
	M2C2							
	M2C4							
	M3C2							
	M3C4					x		
	M1C5							
	M2C5	l	_				Ι	Ī
	M3C5							

					I abauataiua			
Substances	Séries	15213	15217	15218	Laboratoires 15256	15261	15266	15296
	M1C1							
	M1C3							
	M2C1							
	M2C3 M3C1							
	M3C3		x					
Dichlobenil	M1C2							
Dicinopenn	M1C4							
	M2C2 M2C4							
	M3C2							
	M3C4							
	M1C5							
	M2C5							
	M3C5 M1C1							
	M1C3							
	M2C1							
	M2C3							
	M3C1	х				х		
	M3C3 M1C2		х					
Difenconazole	M1C4							
	M2C2							
	M2C4							
	M3C2					X		
	M3C4 M1C5					x		
	M2C5							
	M3C5							
	M1C1							
	M1C3							
	M2C1 M2C3							
	M3C1							
	M3C3					х		
Dimethenamide	M1C2							
	M1C4 M2C2							
	M2C2 M2C4							
	M3C2					x		
	M3C4					х		
	M1C5							
-	M2C5 M3C5							
	M1C1							
	M1C3							
	M2C1							
	M2C3							
	M3C1 M3C3		v			X		
	M1C2		х					
Dimetomorphe	M1C4							
	M2C2							
	M2C4							
	M3C2							
	M3C4 M1C5							
	M2C5							
	M3C5							
	M1C1			X				
	M1C3 M2C1			x		х		
	M2C3					х		
	M3C1			x				
	M3C3					х		х
Diphenylamine	M1C2			x				
	M1C4 M2C2			x		х		X
	M2C4							
	M3C2			x				х
	M3C4					х		
	M1C5 M2C5			v				
	M3C5			x x				
	M1C1		х					
	M1C3							
	M2C1							
	M2C3							
	M3C1 M3C3	X	x			X		
	M1C2		^					
Epoxiconazole	M1C4							
	M2C2							
	M2C4							
	M3C2 M3C4							
	M1C5							
	M2C5							

					Laboratoire			
Substances	Séries	15213	15217	15218	Laboratoires 15256	15261	15266	15296
	M1C1					x		
	M1C3							
	M2C1					X		
	M2C3 M3C1					х		
	M3C3		х			^		
Ethoprophos	M1C2					x		
Ethoprophos	M1C4							
	M2C2					X		
	M2C4 M3C2					x		x
	M3C4					^		^
	M1C5					X		
	M2C5					X		
	M3C5					X		
	M1C1 M1C3	X	х			х		
	M2C1		х			^		
	M2C3							
	M3C1		х			X		
	M3C3		Х			х		
Fenpropidine	M1C2							
	M1C4 M2C2							
	M2C4							
	M3C2							
	M3C4							
	M1C5		х					
	M2C5 M3C5							
	M1C1							
	M1C3					х		
	M2C1							
	M2C3							
	M3C1					X		
	M3C3 M1C2					х		
Fenpropimorphe	M1C4					x		
	M2C1							
	M2C4							
	M3C2							
	M3C4							
	M1C5 M2C5							
	M3C5							
	M1C1					x		
	M1C3							
	M2C1	X				X		
	M2C3							
	M3C1 M3C3	х		х		х		
	M1C2					x		
Folpel	M1C4							
	M2C2					X		
	M2C4	Х		Х				
	M3C2 M3C4					X		
	M1C5							
	M2C5							
	M3C5							
	M1C1	X						
	M1C3 M2C1		X					
	M2C3	×				х		
	M3C1	x	х					
	M3C3	x						
Kresoxim methyl	M1C2							
	M1C4 M2C2							
	M2C4							
	M3C2							
	M3C4							
	M1C5							
	M2C5 M3C5							
	M1C1							
	M1C3							
	M2C1							
	M2C3							
	M3C1							
	M3C3 M1C2							
Lindane (g-HCH)	M1C2 M1C4							
	M2C2							
	M2C4							
	M3C2							
	M3C4							
	M1C5							
	M2C5 M3C5							
								1

Series 15213 15210 15236 13265 13266 132									
MICC	Substances	Séries	15213	15217	15218	Laboratoire:		15266	15296
MICC	Judatailles		13213	13211	13210	13230	13201	13200	13230
S-Metolachione Micci									
S-Metolachice									
S-Metolachiore Micc									
S-Metolachlore									
MICC									
M3C4	S-Metolachlore	M1C4							
MSC2									
MSC4									
MICS									
M3CS									
MIC1									
MICS									
MXC1									
M323									
MSC1			x						
Oxadiason M1C2 <t< td=""><th></th><th></th><td></td><td></td><td></td><td></td><td></td><td></td><td></td></t<>									
MIC4		M3C3							
Provinidone Provi	Oxadiazon								
M3C4									
M302									
M364									
MXCS									
Miscs									
MIC1									
Pendimethaline Milc2 Milc2 Milc3 Milc3 Milc3 Milc3 Milc3 Milc3 Milc4 Milc4 Milc4 Milc5 Milc5 Milc5 Milc5 Milc5 Milc5 Milc5 Milc5 Milc5 Milc6 Milc6 Milc6 Milc7 Milc8									
Prosulfocarbe Prosul				v					
Pendimethaline M3C3				*					
Pendimethaline M3C1							х		
Pendimethaline Mic2		M3C1							
Prosuifocarbe Mic4									
M2C2	Pendimethaline								
Procymidone MilC3 MilC3 MilC4 MilC5 MilC5 MilC3 MilC1 MilC3 MilC1 MilC3 MilC1 MilC3 MilC1 MilC3 MilC1 MilC3 MilC2 MilC4 MilC4 MilC5 MilC4 MilC5 MilC5 MilC5 MilC5 MilC4 MilC5 MilC5 MilC5 MilC1 MilC3 MilC3 MilC3 MilC1 MilC3 MilC3							X		
Procymidone Procymidone Prosulfocarbe Prosulfocarbe Prosulfocarbe Prosulfocarbe Pryvimethanil Pyvimethanil Pix vi									
Procymidone Procymidone Procymidone Prosulfocarbe Prosulfocarbe Prosulfocarbe Prosulfocarbe M1CS M2CS M3CS M3C									
Procymidone Procymidone Procymidone Prosulfocarbe Prosulfocarbe Prosulfocarbe Pryrimethanil Pyrimethanil Pyrimethanil Pyrimethanil MACS M									
Procymidone Procymidone Procymidone Prosulfocarbe Prosulfocarbe Prosulfocarbe Pyrimethanil Pyrimethanil Pyrimethanil MICS MI									
Procymidone Procymidone Procymidone Procymidone Prosulfocarbe									
Procymidone Procymidone Procymidone MIC2 MIC2 MIC2 MIC2 MIC4 MIC5 MIC6 MIC5 MIC7 MIC7 MIC8 MIC8 MIC9 MIC									
Procymidone Procymidone M1C2 M1C2 M1C4 M2C2 M1C4 M3C2 M3C4 M3C5 M3C5 M3C5 M1C1 M1C3 M2C1 M1C3 M2C1 M2C1 M2C2 M3C4 M3C5 M3C5 M3C5 M3C1 M1C3 M2C1 M2C2 M3C4 M3C5 M3C5 M3C1 M2C1 M2C2 M3C2 M3C1 M3C2 M3C1 M3C2 M3C2 M3C2 M3C3 M3C1 M3C3 M3C1 M3C2 M3C3 M3C1 M3C3 M3C2 M3C4 M3C5 M3C5 M3C5 M3C6 M3C6 M3C7 M3C8 M3C8									
Procymidone Procymidone M1C1 M1C2 M1C2 M1C4 M2C2 M3C4 M1C5 M2C5 M3C5 M3C5 M1C1 M1C3 M1C1 M1C3 M2C1 M2C3 M3C1 M1C2 M1C4 M1C5 M2C2 M3C4 M1C5 M3C5 M3C5 M3C5 M3C5 M3C5 M3C6 M3C7 M1C1 M1C2 M3C3 M3C1 M3C2 M3C4 M3C3 M3C1 M3C3 M3C4 M3C5 M3C5 M3C6 M3C6 M3C7 M3C8 M3C8 M3C9 M3C1 M3C8 M3C9 M3C1 M3C1 M3C2 M3C2 M3C2 M3C2 M3C2 M3C3 M3C1 M3C3 M3C2 M3C3 M3C1 M3C2 M3C3 M3C2 M3C4 M3C3 M3C3 M3C1 M3C2 M3C4 M3C3 M3C3 M3C1 M3C2 M3C4 M3C3 M3C2 M3C4 M3C4 M3C3 M3C4 M3C5 M3C6 M3C7 M3C8 M3C8 M3C9 M3C9							х		
Procymidone M3C3				х					
Procymidone M1C2			х						
Procymidone M1C4 M2C2 M3C4 M3C2 M3C4 M3C5 X X X M3C5 M1C1 M1C3 X M2C1 M2C3 M3C1 X M3C3 M3C1 M1C2 M1C4 M2C2 M3C4 M3C5 M3C5 M3C5 M3C1 M1C2 M1C5 M3C6 M3				Х					
Prosulfocarbe Prosul	Procymidone								
Prosulfocarbe Prosul									
M3C4									
M1C5		M3C2							
Prosulfocarbe Prosulfocarbe Prosulfocarbe Prosulfocarbe Prosulfocarbe Prosulfocarbe Prosulfocarbe Prosulfocarbe Prosulfocarbe M1C2 M3C3 X M3C1 X M3C2 M3C4 M3C5 M3C5 M3C5 M3C5 M3C1 X X M3C3 X M3C4 M3C5 M3C4 M3C5 M3C5 M3C5 M3C1 M3C3 M3C1 M3C2 M3C4 M3C2 M3C4 M3C5 M3C5 M3C6 M3C7 M3C8 M3C8 M3C9 M3C9 M3C9 M3C1 M3C1 M3C2 M3C4 M3C2 M3C4 M3C5 M3C6 M3C7 M3C8 M3C8 M3C8 M3C9									
Prosulfocarbe Prosulfocarbe Prosulfocarbe Prosulfocarbe Prosulfocarbe Prosulfocarbe M1C2 M1C2 M1C4 M2C2 M2C4 M3C2 M3C4 M1C5 M3C5 M3C5 M3C5 M3C1 M1C3 M3C3 M3C1 M3C3 M3C3 M3C1 M3C3 M3C1 M3C3 M3C3 M3C1 M3C3 M3C3 M3C1 M3C3 M3C3 M3C3 M3C4 M3C5 M3C4 M3C5 M3C4 M3C5 M3C5 M3C6 M3C6 M3C7 M3C7 M3C8 M3C8 M3C9									
Prosulfocarbe Prosulfocarbe Prosulfocarbe Prosulfocarbe Prosulfocarbe M1C2 M1C2 M1C2 M1C4 M2C2 M2C4 M3C2 M3C4 M1C5 M2C5 M3C5 M3C5 M1C1 M1C3 M2C1 M2C3 M3C1 M1C2 M3C4 M1C5 M3C5 M3C5 M3C1 M3C2 M3C4 M1C5 M3C5 M3C1 M3C2 M3C4 M3C5 M3C5 M3C1 M3C2 M3C4 M3C5 M3C1 M3C2 M3C4 M3C5 M3C1 M3C3 M3C1 M3C3 M3C1 M3C3 M3C1 M3C3 M3C1 M3C3 M3C2 M3C4 M3C5 M3C5 M3C6 M3C7 M3C8 M3C8 M3C8 M3C9 M3C			X	X					
Prosulfocarbe Prosulfocarbe Prosulfocarbe Prosulfocarbe M1C1 M2C3 X M3C1 X M3C1 X M3C2 M1C4 M3C2 M2C4 M3C2 M3C4 M1C5 M2C5 M3C5 M3C5 M3C5 M3C1 X M1C1 M1C1 M1C3 M2C1 M2C2 M3C4 M3C2 M3C4 M3C2 M3C4 M3C5 M3C5 M3C5 M3C5 M3C5 M3C5 M3C6 M3C1 M3C2 M3C4 M3C2 M3C4 M3C2 M3C4 M3C2 M3C4 M3C5 M3C5 M3C5 M3C5 M3C6 M3C7 M3C8 M3C8 M3C8 M3C8 M3C9									
Prosulfocarbe M3C1		M1C3		х			х		
Prosulfocarbe M3C1							х		
Prosulfocarbe M3C3				X					
Prosulfocarbe M1C2									
Prisulfocarbe M1C4	B								
M2C2	Prosulfocarbe						x		
M3C2		M2C2							
M3C4									
M1C5 M2C5 M3C5 M3C5 M3C1 M1C1 M1C3 M2C1 M2C3 M3C1 M3C3 M3C1 M3C2 M2C2 M2C4 M3C2 M3C4 M3C5 M3C5 M3C5 M3C5 M3C6 M3C6 M3C7 M3C7 M3C8 M3C8 M3C8 M3C8 M3C8 M3C8 M3C8 M3C8							v		X
M2C5 M3C5 M3C1 M1C3 M2C1 X M3C3 M3C1 X M3C3 M3C2 M3C4 M3C2 M3C4 M3C2 M3C4 M3C5									
Pyrimethanil M3C3 M3C1 M3C3 M1C2 M1C4 M1C4 M2C2 M2C4 M3C2 M3C4 M3C5 M3C5 M3C5 M3C5 M3C5 M3C5 M3C5 M3C5 M3C5 M3C6 M3C7 M3C7 M3C8 M3C8 M3C8 M3C9 M3C9									
Pyrimethanil Pyrimethanil Pyrimethanil Pyrimethanil AM2C1									
Pyrimethanil Pyrimethanil Pyrimethanil Pyrimethanil A									
Pyrimethanil Pyrimethanil Pyrimethanil M3C3 M3C3 M1C2 M1C4 M2C2 M2C4 M3C2 M3C4 M3C5 M3C5 M3C5 M3C5 M3C6 M3C7 M3C8 M3C8 M3C9									
Pyrimethanil M3C1					X				
Pyrimethanil M3C3 M1C2 M1C4 M2C2 M2C4 M3C2 M3C4 M1C5 M2C5 M2C5			x				x		
Pyrimethanil M1C2 M1C4 M2C2 M2C4 M3C2 M3C4 M1C5 M2C5 M2C5									
M3C2	Pyrimothanil	M1C2							
M2C4 M3C2 M3C4 M1C5 M2C5	, yimetianii								
M3C2									
M3C4 X X M1C5 M2C5							v		
M1C5 M2C5									
M2C5									
M3C5 x									
		M3C5					x		

					Laboratoire	s		
Substances	Séries	15213	15217	15218	15256	15261	15266	15296
	M1C1							
	M1C3							
	M2C1							
	M2C3		х					
	M3C1							
	M3C3		х					
Spiroxamine	M1C2							
Spiroxamine	M1C4							
	M2C2							
	M2C4							
	M3C2					X		
	M3C4							
	M1C5							
	M2C5							
	M3C5			X				
	M1C1							
	M1C3							
	M2C1							
	M2C3							
	M3C1							
	M3C3		Х					
Tebuconazole	M1C2							
	M1C4							
	M2C2							
	M2C4							
	M3C2							
	M3C4							
	M1C5							
	M2C5							
	M3C5							
	M1C1	X						
	M1C3					х		
	M2C1 M2C3		X					
	M3C1							
	M3C3	X	х			X X		
	M1C2		X			X		
Trifloxystrobine	M1C4							
	M2C2							
	M2C4							
	M3C2							
	M3C4					х		
	M1C5					^		
	M2C5							
	M3C5							
	IVIJCJ							

TRAITEMENT STATISTIQUE

Test de Cochran

Il permet de détecter les valeurs aberrantes en terme de dispersion (écart-type). A partir des écart-types S_i (classés par ordre croissant) des résultats de l'ensemble des laboratoires pour un même composé, la statistique C du test est calculée pour le

laboratoire présentant l'écart-type le plus élevé : $C = \frac{{S_{\max}}^2}{\sum_{i=1}^n {S_i}^2}$

La valeur de C est ensuite comparée aux valeurs du test de Cochran tabulées dans la norme NF ISO 5725-2 :

- Si C ≤ valeur théorique à 5%, le laboratoire est considéré à la vue de ses résultats comme correct pour le paramètre étudié.
- Si C > valeur théorique à 5% et si C ≤ valeur théorique à 1%, le laboratoire est considéré comme douteux et est isolé.
- Si C > valeur théorique à 1%, le laboratoire est considéré comme aberrant et est exclu.

Ce test est réalisé de manière itérative jusqu'à ce qu'aucun aberrant ou douteux ne soit plus détecté. Ainsi, à chaque nouvelle itération, la population est réduite d'un participant. L'écart-type S de la population est ensuite construit après élimination des douteux et aberrants, et traduit la variabilité intra-laboratoire.

Test de Grubbs

Ce test permet de détecter les valeurs aberrantes en terme de moyenne. A partir des moyennes X_i de la population, classées par ordre croissant, la statistique de Grubbs est calculée pour la plus petite et la plus grande des moyennes (X_{min} et X_{max}):

$$G = \frac{X_{i \max} - \overline{X}}{S}$$

avec \overline{X} = moyenne des X_i et S = écart-type sur la population des X_i

La valeur G est ensuite comparée aux valeurs données dans les tables :

- Si G ≤ valeur théorique à 5%, le laboratoire est considéré comme correct pour le paramètre étudié.
- Si G > valeur théorique à 5% et si C ≤ valeur théorique à 1%, le laboratoire est considéré comme douteux et est isolé.
- Si G > valeur théorique à 1%, le laboratoire est considéré comme aberrant et est exclu.

Les valeurs dont on teste le caractère aberrant par le test de Cochran ne sont pas incluses dans ce test. On le réalise de façon itérative, alternativement à l'extrémité haute et à l'extrémité basse de la population, jusqu'à ce qu'aucun aberrant ou douteux ne soit détecté. La moyenne M de la population est construite après élimination des résultats d'analyse douteux et aberrants.

Principe de l'analyse robuste des essais

L'analyse robuste des données est effectuée selon la norme NF ISO 5725-5 qui permet, par rapport à l'analyse de base (NF-ISO 5725-2), de calculer la valeur assignée et autres paramètres statistiques à partir de la totalité des données y compris celles qui pourraient être jugées comme suspectes par un dire d'expert ou par un test de valeur aberrante : le traitement des données appliqué minimise le poids des valeurs suspectes c'est à dire des valeurs « extrêmes », pour que ces dernières n'impactent pas de façon significative la valeur de cette valeur assignée.

Ainsi, les calculs de la valeur assignée (valeur de référence), des intervalles de confiance et des statistiques de performance ne sont pas affectés par le jugement de l'analyste des données. Les résultats des participants sont traités en toute impartialité et transparence.

Détermination de la valeur assignée

La valeur assignée pour chaque paramètre faisant l'objet d'un essai d'intercomparaison, est déterminée conformément aux normes NF ISO 13528 et NF ISO 5725-5.

La valeur assignée est prise égale à la moyenne robuste des résultats fournis par les participants de l'essai d'intercomparaison (cf annexe C de la norme NF ISO 13528).

Même si des valeurs aberrantes sont détectées par les tests de cohérence et de valeurs aberrantes, elles ne sont pas exclues pour le calcul de la moyenne robuste.

La moyenne robuste est calculée en appliquant l'algorithme A. Les itérations sont répétées jusqu'à ce que la convergence soit assurée c'est à dire que la 3ième décimale arrondie de la moyenne robuste et de l'écart-type robuste ne change plus.

La moyenne $\overline{x_i}$ de chacun des p participants est calculée puis les p moyennes sont classées par ordre croissant.

- La valeur initiale de la moyenne robuste x^* , est égale à la médiane des p moyennes.

$$x^*$$
 = médiane de x_i

La valeur initiale de l'écart-type robuste s^* est égale à :

$$s^* = 1,483 \times \text{m\'ediane de} \left| \overline{\mathbf{x}_i} - x^* \right|$$
 ($i = 1,2,....p$)

- La valeur de x^* est mise à jour comme suit :

$$\varphi = 1.5 \times s *$$

Pour chaque valeur
$$\overline{x_i}$$
 , il est calculé : $x_i^* = \begin{cases} x^* - \varphi & \text{si } \overline{x_i} < x^* - \varphi \\ x^* + \varphi & \text{si } \overline{x_i} > x^* + \varphi \\ x_i^* & \text{sinon} \end{cases}$

La nouvelle valeur de moyenne robuste est égale à :

$$x^* = \sum_{i=1}^p \frac{x_i^*}{p}$$

La nouvelle valeur d'écart-type robuste est égale à :

$$s^* = 1{,}134\sqrt{\frac{\sum_{i=1}^{p} (x_i - x^*)^2}{p-1}}$$

Le Z score

Le Z score est le critère d'évaluation de la performance d'un candidat le plus souvent utilisé. Il est défini au niveau international comme la mesure standardisée du biais de laboratoire.

Il peut être exprimé pour chaque participant et chaque composé à partir de la formule

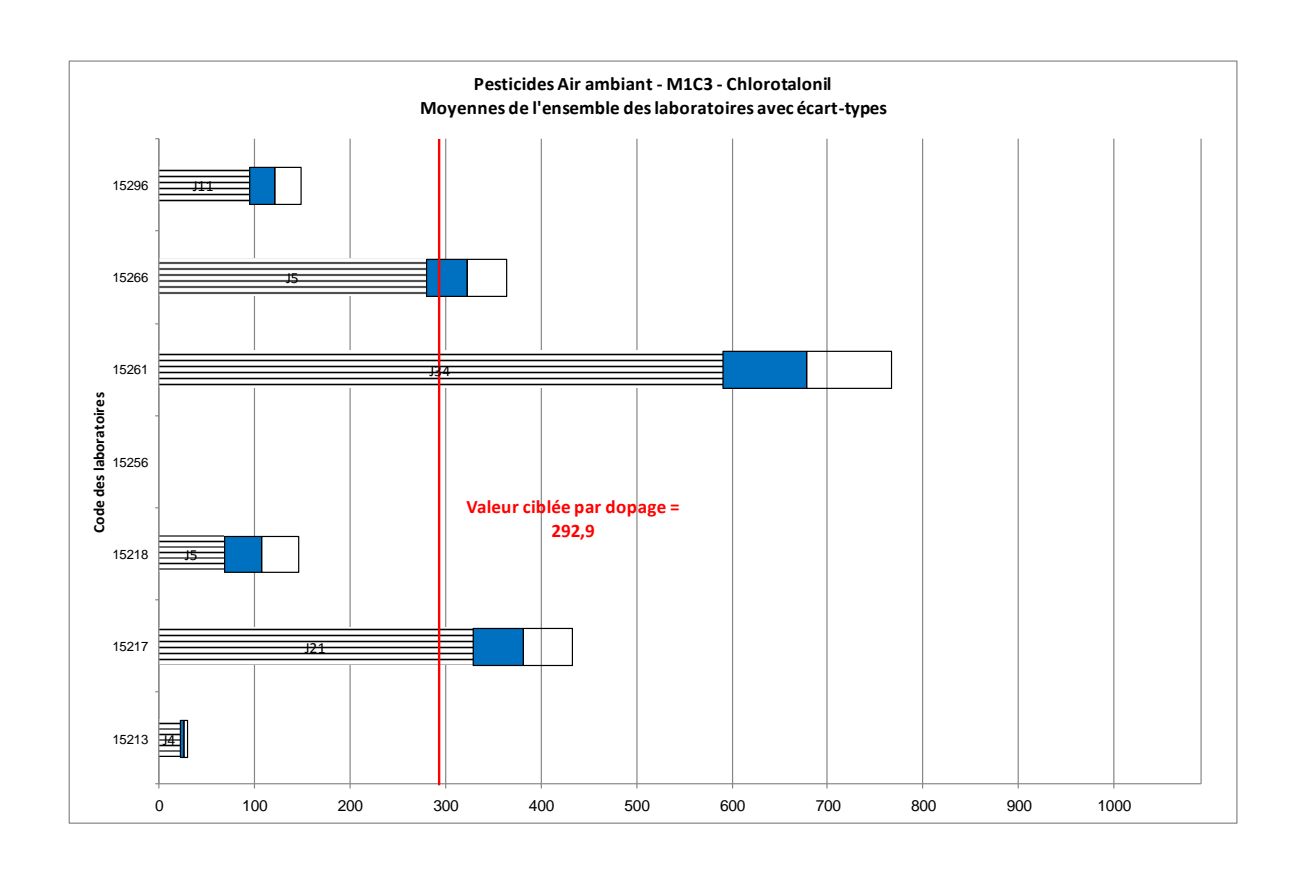
suivante :
$$z_i = \frac{\overline{x_i} - x^*}{\sigma}$$

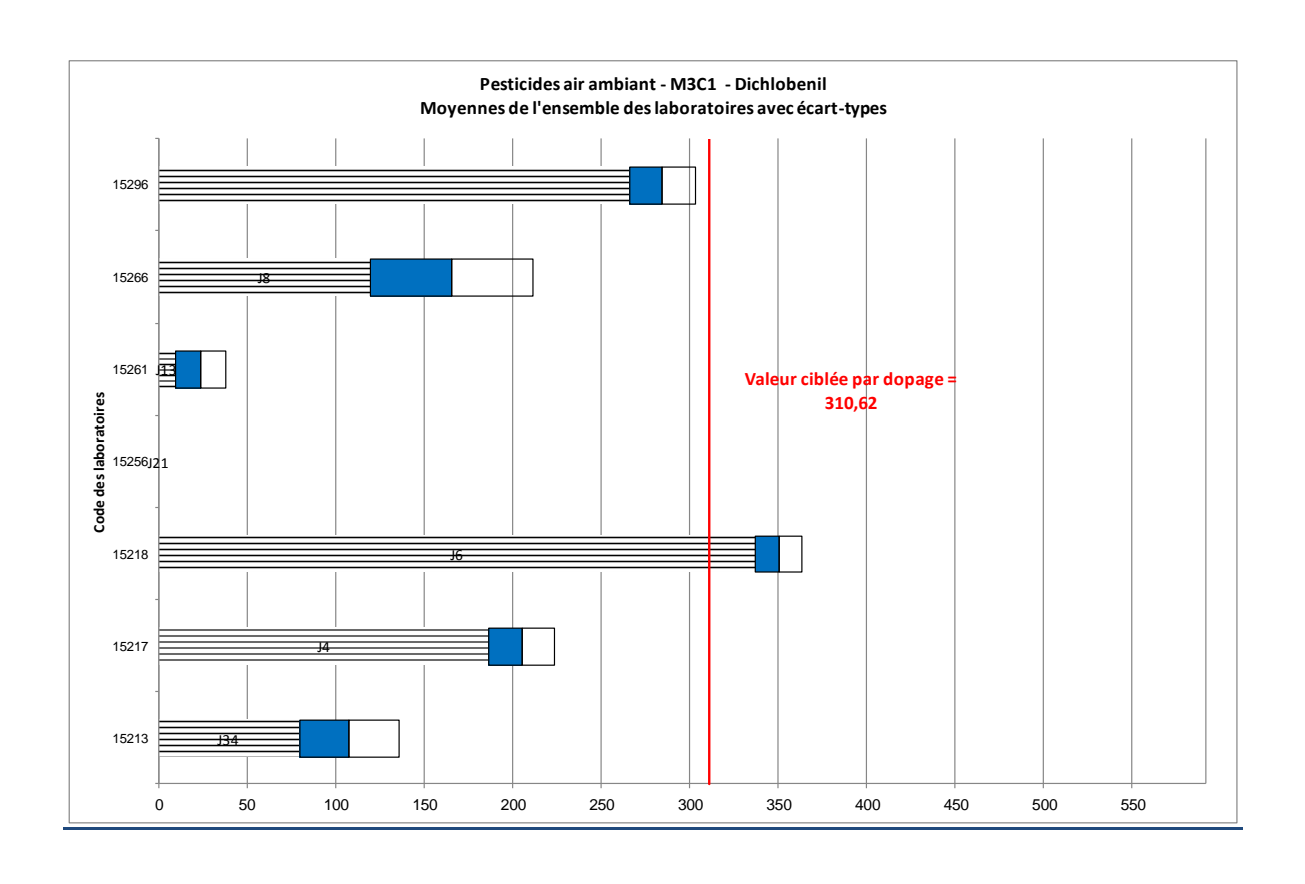
où $\overset{\circ}{\sigma}$ est l'estimation de l'écart-type pour l'évaluation de l'aptitude,

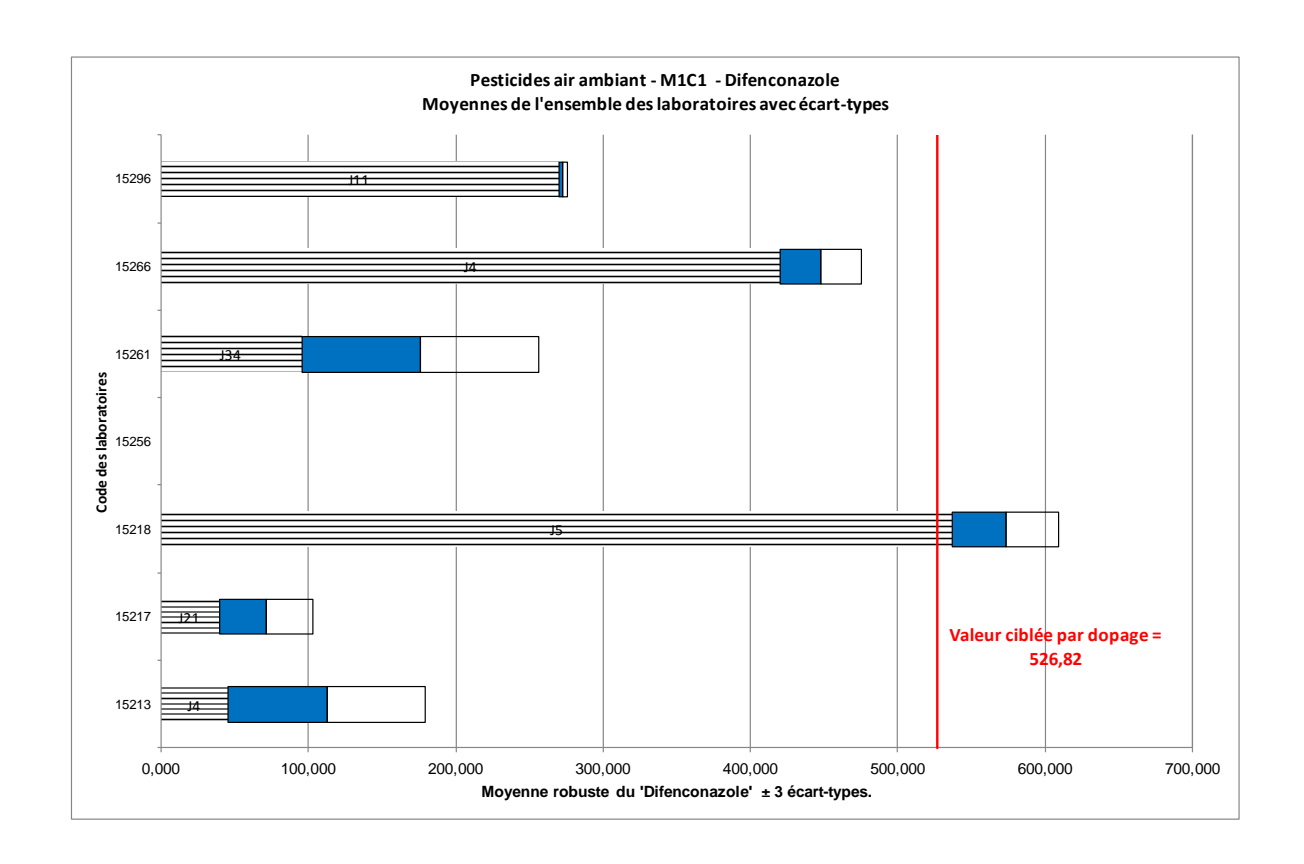
 \bar{x}_i est la concentration moyenne mesurée par le laboratoire i,

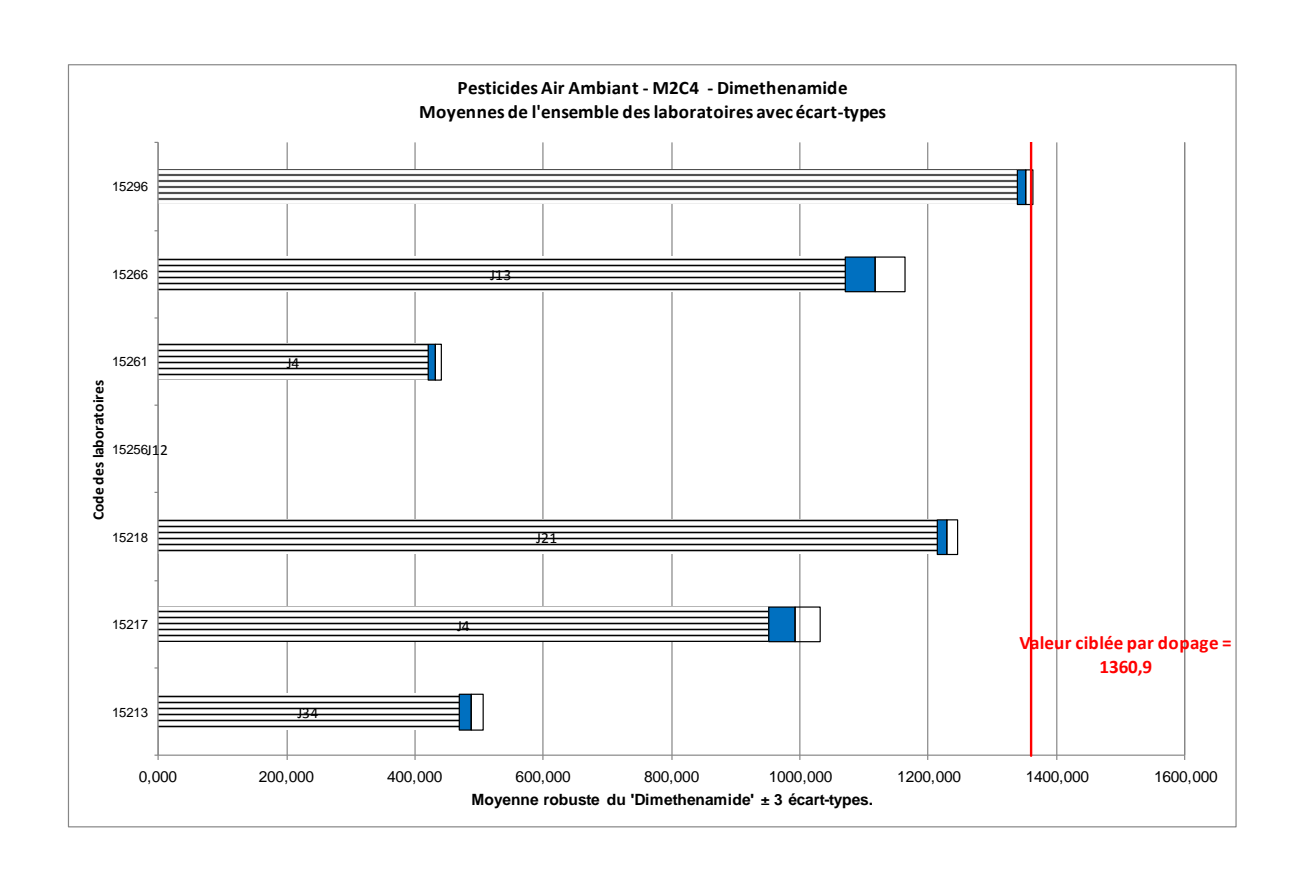
 x^* correspond à la valeur assignée considérée.

EXEMPLES DE RÉSULTATS DISPERSÉS









Z SCORES ET DONNÉES STATISTIQUES

Approche Robuste: Pesticides air ambiant - M1C1

Substances ou Paramètres (unité en ng)	Valeur ciblée par dopage	Moyenne robuste x*	Ecart-type robuste s*	Ecart-type pour l'évaluation de l'aptitude ∂	Incertitude type u _x . de la valeur assignée	Nombre de laboratoires ayant mesures exclues	Ecart-type interlaboratoire S _⊥	Ecart-type de reproductibilité S _R	Ecart type de répétabilité S,	IC _R relatif (%)	IC, relatif (%)	S _s
Acetochlor	128,4	93,511	26,531	29,786	13,539	1	26,273	27,200	7,037	74,77%	19,35%	
Chlorotalonil	292,9	180,304	138,431	155,415	70,643	1	136,775	143,285	42,696	204,28%	60,87%	
Chlorpyriphos_Ethyl	448,6	450,054	229,801	257,993	117,270	1	229,044	232,057	37,270	132,54%	21,29%	
Cymoxanil	146,85	217,244	229,229	270,318	143,268	3	229,076	229,686	16,731	336,47%	24,51%	
Cyproconazole	145,66	128,038	32,665	37,423	18,260	2	29,677	40,322	27,297	87,44%	59,19%	
Cyprodinil	134,86	92,867	58,933	66,163	30,074	1	58,455	60,342	14,972	167,03%	41,44%	
Dichlobenil	310,62	210,075	82,273	92,367	41,985	1	80,551	87,236	33,489	106,75%	40,98%	
Difenconazole	526,82	275,064	224,995	252,598	114,817	1	223,424	229,645	53,092	214,61%	49,62%	
Dimethenamide	453,63	451,370	272,850	306,324	139,238	1	271,339	277,335	57,354	157,94%	32,66%	
Dimetomorphe	589,44	328,693	241,337	270,945	123,157	1	239,550	246,619	58,624	192,87%	45,85%	
Diphenylamine	284,71	159,213	44,390	54,743	32,036	4	43,046	48,198	21,682	130,25%	58,60%	
Epoxiconazole	135,13	105,220	51,423	58,912	28,746	2	50,252	54,785	21,820	144,56%	57,58%	
Ethoprophos	273,19	231,045	122,145	139,935	68,281	2	121,133	125,132	31,380	150,37%	37,71%	
Fenpropidine	128,2	82,814	44,051	51,947	27,532	3	43,341	45,729	14,582	175,73%	56,04%	
Fenpropimorphe	220,95	197,410	143,213	160,783	73,083	1	141,381	148,574	45,670	193,47%	59,47%	
Folpel	252,24	193,150	137,507	169,576	99,237	4	134,508	146,134	57,120	325,53%	127,24%	
Kresoxim_methyl	97,2	75,323	59,231	67,857	33,111	2	58,788	60,538	14,451	223,15%	53,27%	
Lindane_g_HCH	451,59	357,848	141,276	158,608	72,095	1	140,103	144,085	33,643	103,50%	24,17%	
Oxadiazon	151,1	142,258	37,467	42,063	19,120	1	35,291	42,286	23,295	76,41%	42,09%	
Pendimethaline	281,58	257,414	138,175	155,127	70,512	1	134,170	147,449	61,151	147,25%	61,07%	
Procymidone	133,36	139,867	110,600	124,169	56,440	1	109,664	112,842	26,592	207,39%	48,87%	
Prosulfocarbe	328,6	211,390	186,646	209,544	95,247	1	186,036	188,461	30,134	229,18%	36,64%	
Pyrimethanil	292,2	167,284	134,075	150,524	68,420	1	133,670	135,285	20,840	207,89%	32,02%	
S_Metolachlore	434,53	402,927	230,788	259,101	117,773	1	229,301	235,191	52,308	150,05%	33,37%	
Spiroxamine	265,95	211,362	179,834	201,897	91,771	1	178,409	184,043	45,188	223,83%	54,96%	
Tebuconazole	621,62	751,365	462,308	519,025	235,920	1	453,246	488,486	182,174	167,12%	62,33%	
Trifloxystrobine	137,31	82,139	69,601	78,139	35,518	1	69,300	70,388	12,332	220,28%	38,59%	

x*: moyenne robuste

s*: écart-type robuste pour l'évaluation de l'aptitude

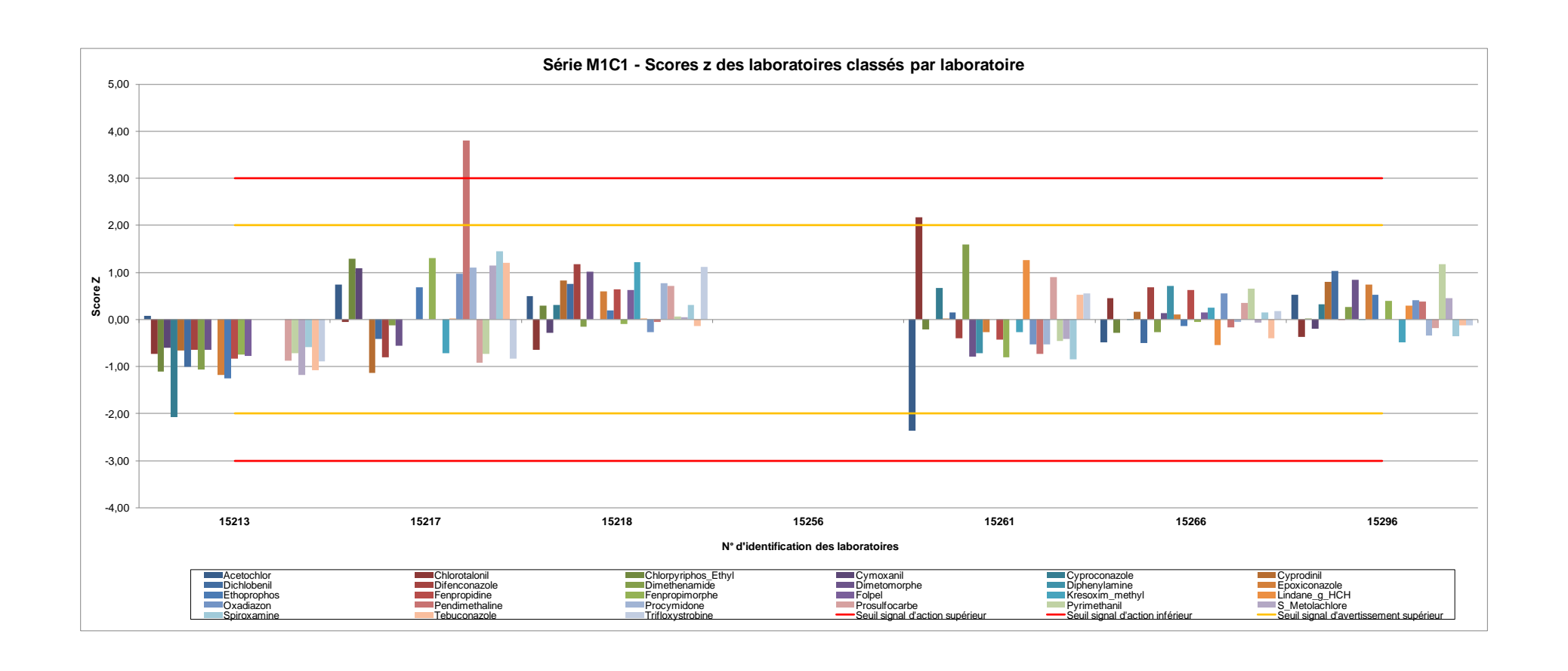
 $[\]sigma$: écart-type pour l'évaluation de l'aptitude recalculé suite à hétérogénéité du matériau d'essai et/ou faible population (p<16)

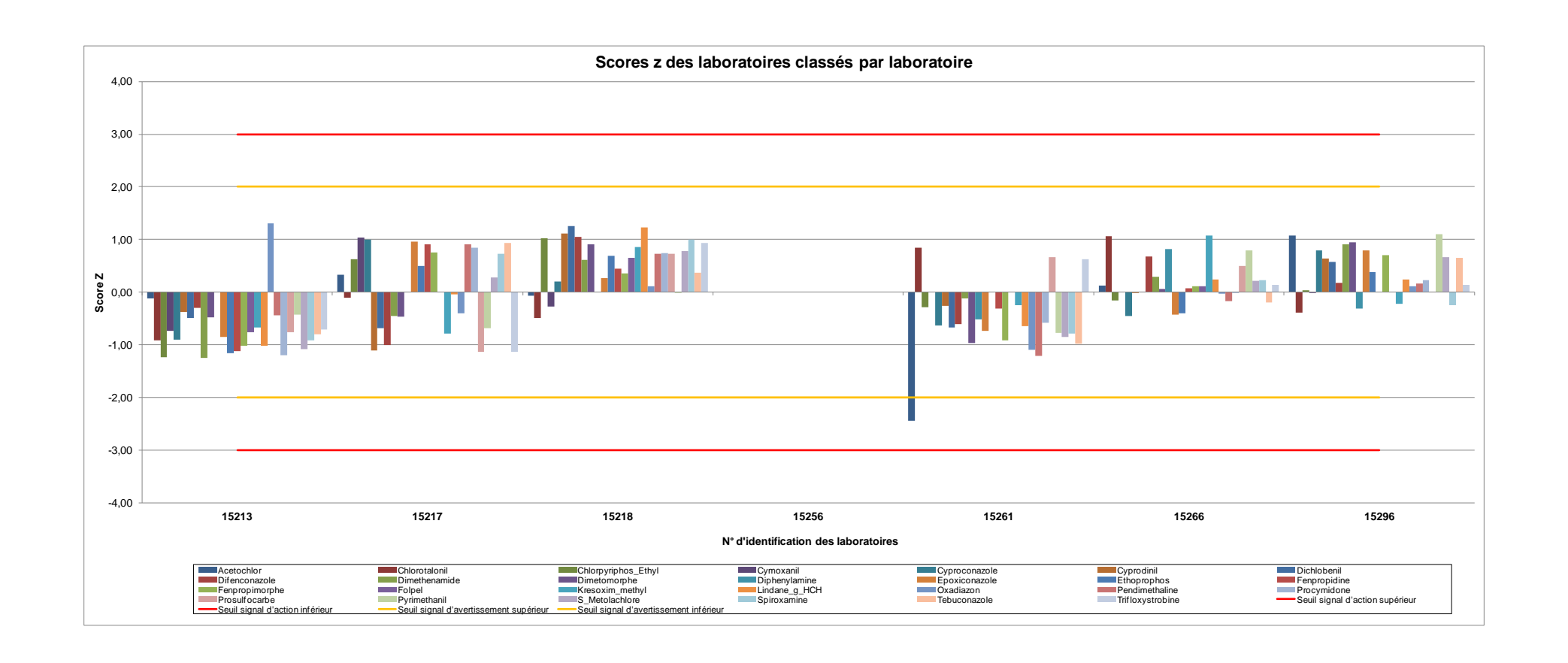
 u_{x^*} : incertitude type u_x

S_R: écart de reproductibilité Ic_R : intervalle de confiance de reproductibilité S_L: écart interlaboratoire IC_r: intervalle de confiance de repétabilité

S_r: écart de répétabilité

S_s : écart-type inter échantillon des matériaux d'essais distribués





Approche Robuste: Pesticides air ambiant - M1C2

Substances ou Paramètres (unité en ng)	Valeur ciblée par dopage	Moyenne robuste x*	Ecart-type robuste s*	Ecart-type pour l'évaluation de l'aptitude [^] σ	Incertitude type u _x . de la valeur assignée	Nombre de laboratoires ayant mesures exclues	Ecart-type interlaboratoire S _≀	Ecart-type de reproductibilité S _R	Ecart type de répétabilité S,	IC _R relatif (%)	IC, relatif (%)	Ss
Acetochlor	1027	573,685	158,134	177,535	80,698	1	157,703	159,266	22,260	71,36%	9,97%	
Chlorotalonil	586	357,594	310,721	348,841	158,564	1	309,643	313,546	49,314	225,39%	35,45%	
Chlorpyriphos_Ethyl	1346	1084,597	477,299	535,855	243,571	1	476,906	478,333	36,924	113,37%	8,75%	
Cymoxanil	1468,5	1684,738	936,435	1104,289	585,272	3	932,535	948,040	170,760	179,08%	32,26%	
Cyproconazole	1456,6	978,447	382,569	429,504	195,229	1	377,814	394,831	114,665	103,73%	30,12%	
Cyprodinil	1078,9	632,691	457,859	514,031	233,650	1	456,336	461,850	71,153	187,65%	28,91%	
Dichlobenil	621,2	454,969	112,569	126,379	57,445	1	111,995	114,067	21,641	64,45%	12,23%	
Difenconazole	987,8	416,319	294,945	331,130	150,514	1	294,727	295,519	21,630	182,47%	13,36%	
Dimethenamide	1360,9	971,355	349,847	392,767	178,531	1	348,497	353,382	58,553	93,52%	15,50%	
Dimetomorphe	1105,2	562,299	408,194	458,273	208,306	1	406,524	412,566	70,349	188,61%	32,16%	
Diphenylamine	569,4	331,985	102,483	126,385	73,961	4	73,272	147,640	128,175	191,35%	166,12%	
Epoxiconazole	1351,3	991,157	470,401	528,111	240,050	1	469,271	473,365	62,121	122,77%	16,11%	
Ethoprophos	546,4	409,000	163,140	186,901	91,198	2	162,326	165,559	32,559	112,39%	22,10%	
Fenpropidine	1282,3	769,742	572,395	655,760	319,978	2	571,823	573,854	48,243	206,99%	17,40%	
Fenpropimorphe	662,8	425,252	284,906	319,860	145,391	1	283,483	288,625	54,239	174,47%	32,79%	
Folpel	504,5	459,892	358,803	442,483	258,944	4	357,241	363,447	66,877	340,03%	62,57%	
Kresoxim_methyl	777,6	356,083	307,827	345,593	157,088	1	307,628	308,354	21,151	222,60%	15,27%	
Lindane_g_HCH	1354,8	854,700	536,438	602,250	273,750	1	535,769	538,199	51,087	161,87%	15,36%	
Oxadiazon	1208,8	1036,182	399,678	448,712	203,960	1	396,270	408,527	99,321	101,35%	24,64%	
Pendimethaline	563,1	464,616	250,977	281,768	128,076	1	250,013	253,502	41,913	140,25%	23,19%	
Procymidone	1333,6	849,022	383,588	430,647	195,749	1	383,102	384,866	36,810	116,53%	11,14%	
Prosulfocarbe	657,2	316,905	226,704	254,517	115,690	1	226,110	228,264	31,280	185,16%	25,37%	
Pyrimethanil	584,4	302,973	211,598	237,557	107,981	1	211,238	212,545	23,535	180,33%	19,97%	
S_Metolachlore	1303,6	953,493	439,974	493,952	224,523	1	437,675	445,980	85,669	120,23%	23,10%	
Spiroxamine	531,9	318,999	272,805	306,273	139,215	1	272,694	273,095	14,786	220,07%	11,91%	
Tebuconazole	1165,5	875,156	447,851	502,795	228,543	1	446,132	452,351	74,751	132,87%	21,96%	
Trifloxystrobine	1373,1	591,304	444,658	499,210	226,913	1	443,140	448,634	69,991	195,03%	30,43%	

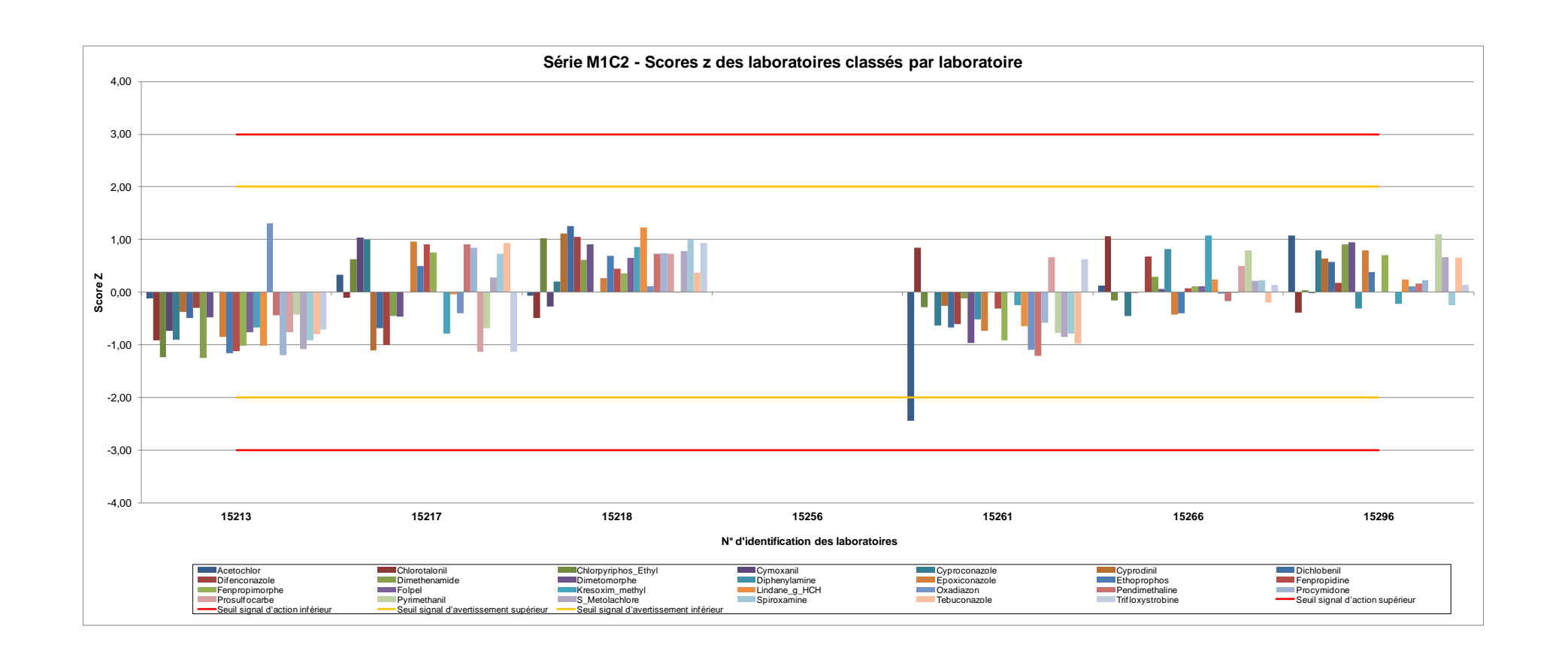
x*: moyenne robuste

 S_R : écart de reproductibilité Ic_R : intervalle de confiance de reproductibilité S_L : écart interlaboratoire IC_r : intervalle de confiance de repétabilité

 S_r : écart de répétabilité S_s : écart-type inter échantillon des matériaux d'essais distribués

s*: écart-type robuste pour l'évaluation de l'aptitude

α : écart-type pour l'évaluation de l'aptitude recalculé suite à hétérogénéité du matériau d'essai et/ou faible population (p<16) u_{x*} : incertitude type u_x



Approche Robuste: Pesticides Air ambiant - M1C3

Substances ou Paramètres (unité en ng)	Valeur ciblée par dopage	Moyenne robuste x*	Ecart-type robuste s*	Ecart-type pour l'évaluation de l'aptitude ∕o	Incertitude type u _x . de la valeur assignée	Nombre de laboratoires ayant mesures exclues	Ecart-type interlaboratoire S _L	Ecart-type de reproductibilité S _R	Ecart type de répétabilité S,	IC _R relatif (%)	IC, relatif (%)	S _s
Acetochlor	128,4	103,900	54,661	61,367	27,894	1	54,337	55,393	10,762	137,05%	26,63%	
Chlorotalonil	292,9	272,080	273,090	306,594	139,361	1	271,631	276,900	53,760	261,61%	50,79%	
Chlorpyriphos_Ethyl	448,6	415,137	196,636	220,760	100,345	1	189,252	214,890	101,790	133,06%	63,03%	
Cyprodinil	134,8	85,919	50,942	57,192	25,996	1	50,771	51,391	7,960	153,76%	23,81%	
Dimethenamide	453,6	487,228	258,812	290,564	132,074	1	257,547	262,570	51,112	138,53%	26,97%	
Fenpropimorphe	220,9	215,293	89,771	100,784	45,811	1	85,237	100,752	53,718	120,30%	64,14%	
Kresoxim_methyl	97,2	75,591	64,817	72,769	33,077	1	64,336	65,901	14,277	224,11%	48,55%	
Lindane_g_HCH	451,6	321,878	130,437	146,439	66,563	1	128,961	134,248	37,303	107,21%	29,79%	
Oxadiazon	151,1	159,919	27,823	31,236	14,198	1	15,387	46,805	44,203	75,24%	71,05%	
Pendimethaline	281,6	207,889	85,676	98,155	47,894	2	85,026	87,315	19,859	116,61%	26,52%	
Prosulfocarbe	328,6	260,463	181,977	208,481	101,728	2	181,676	182,746	19,747	194,80%	21,05%	
Pyrimethanil	292,2	179,460	131,083	147,165	66,893	1	130,219	133,643	30,058	191,43%	43,05%	
S_Metolachlore	434,5	429,105	200,461	225,054	102,297	1	198,139	207,269	60,839	124,17%	36,45%	

x*: moyenne robuste

S_R: écart de reproductibilité

S_L: écart interlaboratoire

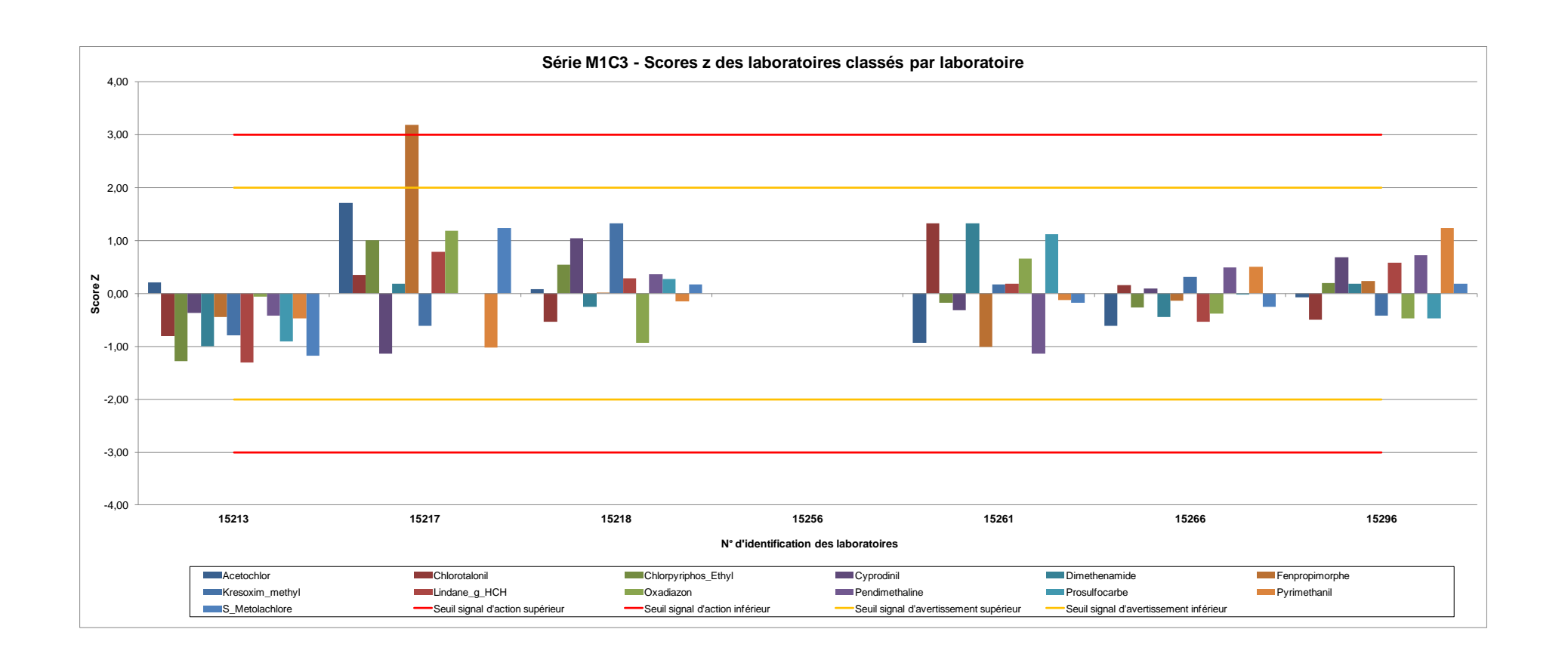
 Ic_R : intervalle de confiance de reproductibilité IC_r : intervalle de confiance de repétabilité

S_r: écart de répétabilité

 S_s : écart-type inter échantillon des matériaux d'essais distribués

s*: écart-type robuste pour l'évaluation de l'aptitude

 $[\]sigma$: écart-type pour l'évaluation de l'aptitude recalculé suite à hétérogénéité du matériau d'essai et/ou faible population (p<16) u_{x^*} : incertitude type u_x



Approche Robuste: Pesticides Air Ambiant - M1C4

Substances ou Paramètres (unité en ng)	Valeur ciblée par dopage	Moyenne robuste x*	Ecart-type robuste s*	Ecart-type pour l'évaluation de l'aptitude ∕o	Incertitude type u _x . de la valeur assignée	Nombre de laboratoires ayant mesures exclues	Ecart-type interlaboratoire S _L	Ecart-type de reproductibilité S _R	Ecart type de répétabilité S _r	IC _R relatif (%)	IC, relatif (%)	S _s
Acetochlor	1027,2	506,525	183,954	206,522	93,874	1	183,558	184,993	22,994	93,88%	11,67%	
Chlorotalonil	585,9	314,852	322,620	362,200	164,636	1	322,135	323,895	33,726	264,44%	27,54%	
Chlorpyriphos_Ethyl	1345,9	1087,445	678,783	762,058	346,390	1	678,430	679,712	41,723	160,68%	9,86%	
Cyprodinil	1078,9	516,567	468,275	525,724	238,965	1	467,859	469,369	37,617	233,57%	18,72%	
Dimethenamide	1360,9	881,033	412,477	463,081	210,491	1	411,737	414,424	47,118	120,92%	13,75%	
Fenpropimorphe	662,8	482,047	491,357	551,638	250,745	1	491,126	491,966	28,738	262,35%	15,33%	
Kresoxim_methyl	777,6	298,206	250,688	281,443	127,929	1	250,441	251,337	21,209	216,66%	18,28%	
Lindane_g_HCH	1354,8	879,079	607,963	682,549	310,250	1	607,661	608,758	36,528	178,01%	10,68%	
Oxadiazon	1208,8	850,291	225,581	253,256	115,116	1	218,699	242,791	105,443	73,40%	31,88%	
Pendimethaline	563,1	461,488	320,611	359,945	163,611	1	320,144	321,841	33,007	179,27%	18,39%	
Prosulfocarbe	657,2	245,833	269,161	302,182	137,355	1	268,942	269,735	20,672	282,05%	21,62%	
Pyrimethanil	584,4	295,302	273,273	306,799	139,454	1	273,080	273,780	19,566	238,32%	17,03%	
S_Metolachlore	1303,6	912,598	615,336	690,827	314,012	1	615,198	615,700	24,855	173,43%	7,00%	

x*: moyenne robuste

S_R: écart de reproductibilité

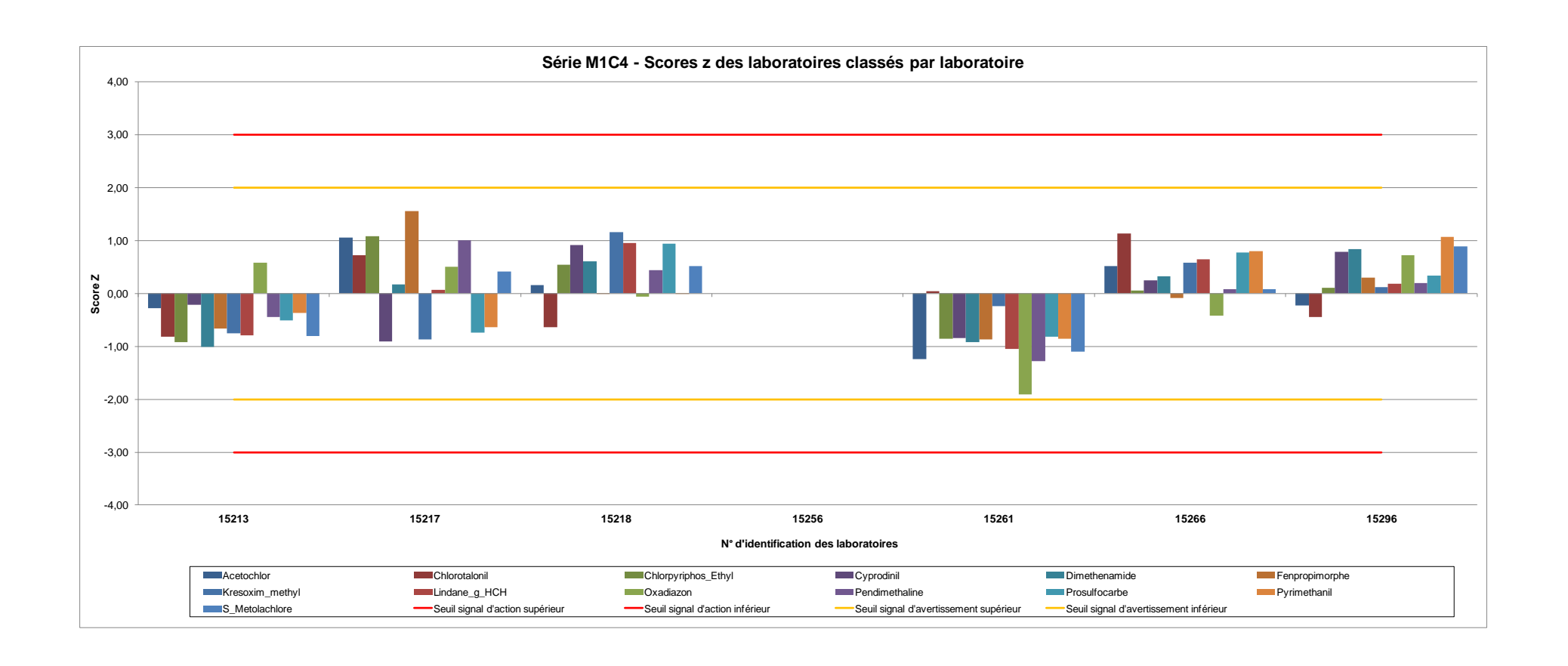
 Ic_R : intervalle de confiance de reproductibilité IC_r : intervalle de confiance de repétabilité

 S_L : écart interlaboratoire S_r: écart de répétabilité

 S_s : écart-type inter échantillon des matériaux d'essais distribués

s*: écart-type robuste pour l'évaluation de l'aptitude

σ : écart-type pour l'évaluation de l'aptitude recalculé suite à hétérogénéité du matériau d'essai et/ou faible population (p<16) u_{x^*} : incertitude type u_x



Approche Robuste: Pesticides air ambiant - M1C5

Substances ou Paramètres (unité en ng)	Valeur ciblée par dopage	Moyenne robuste x*	Ecart-type robuste s*	Ecart-type pour l'évaluation de l'aptitude ∕o	Incertitude type u _x . de la valeur assignée	Nombre de laboratoires ayant mesures exclues	Ecart-type interlaboratoire S _L	Ecart-type de reproductibilité S _R	Ecart type de répétabilité S,	IC _R relatif (%)	IC, relatif (%)	S _s
Acetochlor	1027,2	575,006	216,556	243,123	110,511	1	215,090	220,374	47,971	98,52%	21,45%	
Chlorotalonil	585,8	491,159	432,858	485,962	220,892	1	432,252	434,449	43,632	227,38%	22,84%	
Chlorpyriphos_Ethyl	1345,9	1275,916	748,953	840,837	382,198	1	748,200	750,935	64,039	151,29%	12,90%	
Cymoxanil	1468,5	2140,694	2232,258	2632,385	1395,161	3	2231,685	2233,977	101,168	332,11%	15,04%	
Cyproconazole	1456,6	994,493	540,518	606,830	275,832	1	539,129	544,164	73,857	140,66%	19,09%	
Cyprodinil	1078,9	581,162	426,994	479,379	217,900	1	425,725	430,323	62,736	190,34%	27,75%	
Dichlobenil	621,2	492,623	134,216	150,682	68,492	1	133,690	135,595	22,650	70,76%	11,82%	
Difenconazole	987,8	391,185	324,114	371,320	181,185	2	323,923	324,687	22,256	230,45%	15,80%	
Dimethenamide	1360,9	983,628	153,775	172,640	78,473	1	152,383	157,385	39,364	41,13%	10,29%	
Dimetomorphe	1105,2	496,098	443,600	498,022	226,374	1	443,192	444,674	36,268	230,41%	18,79%	
Diphenylamine	569,4	439,700	298,048	367,560	215,098	4	294,763	305,151	78,943	298,60%	77,25%	
Epoxiconazole	1351,3	1000,990	624,049	700,609	318,459	1	622,530	628,037	82,984	161,28%	21,31%	
Ethoprophos	546,4	375,390	260,378	298,301	145,556	2	260,266	260,715	15,293	192,83%	11,31%	
Fenpropidine	1282,3	654,426	434,975	512,944	271,860	3	433,166	439,339	73,389	213,65%	35,69%	
Fenpropimorphe	662,8	537,825	370,085	415,488	188,858	1	369,421	371,829	42,249	177,72%	20,19%	
Folpel	1000000	207283,554	393330,444	463833,998	245831,527	3	393323,749	393346,703	4249,462	603,91%	6,52%	
Kresoxim_methyl	777,6	343,066	301,258	338,217	153,735	1	300,478	303,303	41,298	227,26%	30,94%	
Lindane_g_HCH	1354,8	980,445	476,346	534,785	243,084	1	475,287	479,125	60,526	125,62%	15,87%	
Oxadiazon	1208,8	861,498	129,725	145,640	66,200	1	127,168	136,238	48,880	40,65%	14,59%	
Pendimethaline	563,1	482,490	301,172	338,121	153,691	1	300,308	303,438	43,467	161,66%	23,16%	
Procymidone	1333,7	756,256	456,681	538,540	285,426	3	455,724	459,540	59,095	193,38%	24,87%	
Prosulfocarbe	657,2	376,048	388,826	436,529	198,422	1	388,636	389,327	23,179	266,14%	15,84%	
Pyrimethanil	584,4	360,428	285,029	319,997	145,453	1	284,907	285,349	15,880	203,51%	11,33%	
S_Metolachlore	1303,6	1040,821	422,673	474,528	215,694	1	421,636	425,395	56,425	105,06%	13,94%	
Spiroxamine	531,9	353,263	356,320	400,035	181,834	1	356,084	356,942	24,735	259,74%	18,00%	
Tebuconazole	1165,5	872,330	617,880	693,684	315,311	1	616,696	620,991	72,906	182,99%	21,48%	
Trifloxystrobine	1373,1	534,695	484,342	543,763	247,165	1	483,869	485,588	40,827	233,45%	19,63%	

x*: moyenne robuste

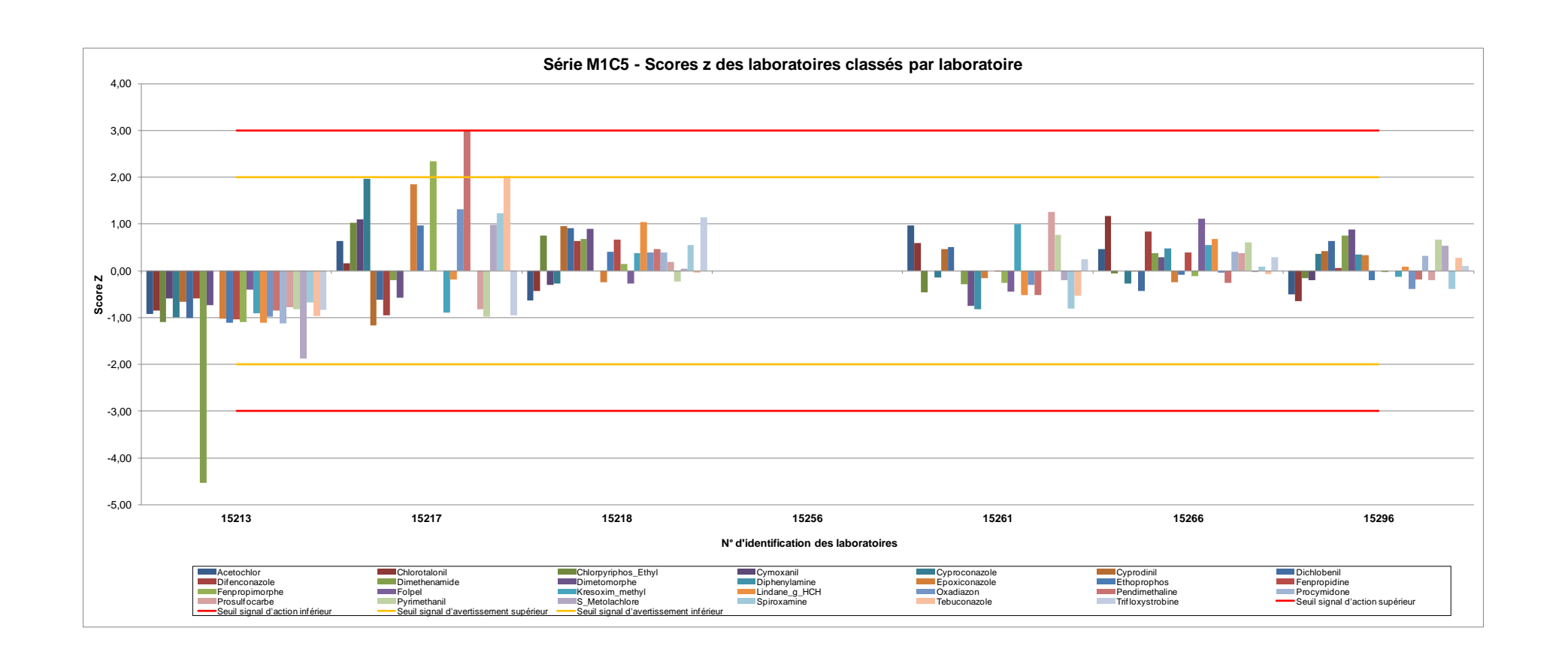
s* : écart-type robuste pour l'évaluation de l'aptitude $^{\wedge}$

σ : écart-type pour l'évaluation de l'aptitude recalculé suite à hétérogénéité du matériau d'essai et/ou faible population (p<16) u_{x^*} : incertitude type u_x

S_R : écart de reproductibilité Ic R : intervalle de confiance de reproductibilité S_L: écart interlaboratoire IC_r : intervalle de confiance de repétabilité

S_r: écart de répétabilité

 $S_{\,\text{s}}$: écart-type inter échantillon des matériaux d'essais distribués



Approche Robuste: Pesticides air ambiant - M2C1

Substances ou Paramètres (unité en ng)	Valeur ciblée par dopage	Moyenne robuste x*	Ecart-type robuste s*	Ecart-type pour l'évaluation de l'aptitude δ	Incertitude type u _x . de la valeur assignée	Nombre de laboratoires ayant mesures exclues	Ecart-type interlaboratoire S _L	Ecart-type de reproductibilité S _R	Ecart type de répétabilité S,	IC _R relatif (%)	IC, relatif (%)	S _s
Acetochlor	128,4	96,487	30,911	34,704	15,774	1	30,374	32,103	10,395	85,53%	27,69%	
Chlorotalonil	292,9	152,605	143,479	161,082	73,219	1	141,589	147,699	42,044	248,79%	70,82%	
Chlorpyriphos_Ethyl	448,6	388,524	306,784	344,421	156,555	1	305,746	309,504	48,084	204,78%	31,81%	
Cymoxanil	146,85	151,856	75,765	89,346	47,353	3	72,483	84,855	44,119	177,83%	92,46%	1
Cyproconazole	145,66	111,657	84,237	94,572	42,987	1	83,821	85,476	16,741	196,78%	38,54%	
Cyprodinil	134,86	99,112	97,756	109,749	49,886	1	97,483	98,572	14,610	255,66%	37,89%	
Dichlobenil	310,6	177,045	107,508	120,697	54,862	1	105,492	112,650	39,516	163,56%	57,37%	
Difenconazole	526,82	233,384	205,238	230,417	104,735	1	204,343	207,902	38,305	228,99%	42,19%	
Dimethenamide	453,63	335,673	171,536	192,581	87,537	1	169,293	178,098	55,306	136,39%	42,35%	
Dimetomorphe	589,44	291,233	201,614	226,349	102,886	1	200,324	205,437	45,549	181,33%	40,20%	
Diphenylamine	284,7	126,047	118,862	146,583	85,781	4	118,588	119,680	16,134	408,53%	55,07%	
Epoxiconazole	135,13	105,466	80,405	90,269	41,031	1	80,016	81,561	15,800	198,79%	38,51%	
Ethoprophos	273,19	228,755	102,817	117,792	57,476	2	100,638	109,093	42,110	132,41%	51,11%	
Fenpropidine	128,2	63,054	68,914	81,266	43,071	3	68,785	69,298	8,422	349,76%	42,51%	1
Fenpropimorphe	220,95	224,732	188,371	211,481	96,128	1	187,851	189,920	27,957	217,24%	31,98%	
Folpel	252,24	350,658	300,603	370,709	216,941	4	297,848	305,138	66,298	374,41%	81,35%	ı
Kresoxim_methyl	97,2	66,070	79,384	89,124	40,511	1	79,198	79,942	10,881	311,03%	42,34%	
Lindane_g_HCH	451,59	317,552	164,462	184,639	83,927	1	162,333	169,946	50,293	137,57%	40,71%	
Oxadiazon	151,1	141,283	21,689	24,350	11,068	1	19,570	26,476	17,832	48,17%	32,44%	
Pendimethaline	281,58	255,516	172,823	194,026	88,194	1	171,719	175,702	37,199	176,76%	37,42%	
Procymidone	133,36	127,259	113,717	127,668	58,031	1	113,237	114,802	18,890	231,90%	38,16%	
Prosulfocarbe	328,6	153,487	122,159	137,146	62,339	1	121,494	123,893	24,261	207,50%	40,63%	
Pyrimethanil	292,2	176,305	144,044	161,716	73,507	1	143,529	145,393	23,203	211,99%	33,83%	
S_Metolachlore	434,5	355,833	226,347	254,116	115,507	1	225,692	228,302	34,426	164,93%	24,87%	
Spiroxamine	265,95	186,431	176,532	198,189	90,086	1	175,730	178,915	33,607	246,69%	46,34%	
Tebuconazole	621,62	486,019	298,099	334,671	152,123	1	296,268	303,526	65,980	160,54%	34,90%	
Trifloxystrobine	137,31	59,807	42,280	48,437	23,635	2	41,502	44,531	16,144	206,73%	74,95%	

x*: moyenne robuste

S_R : écart de reproductibilité Ic R : intervalle de confiance de reproductibilité S_L: écart interlaboratoire IC_r : intervalle de confiance de repétabilité

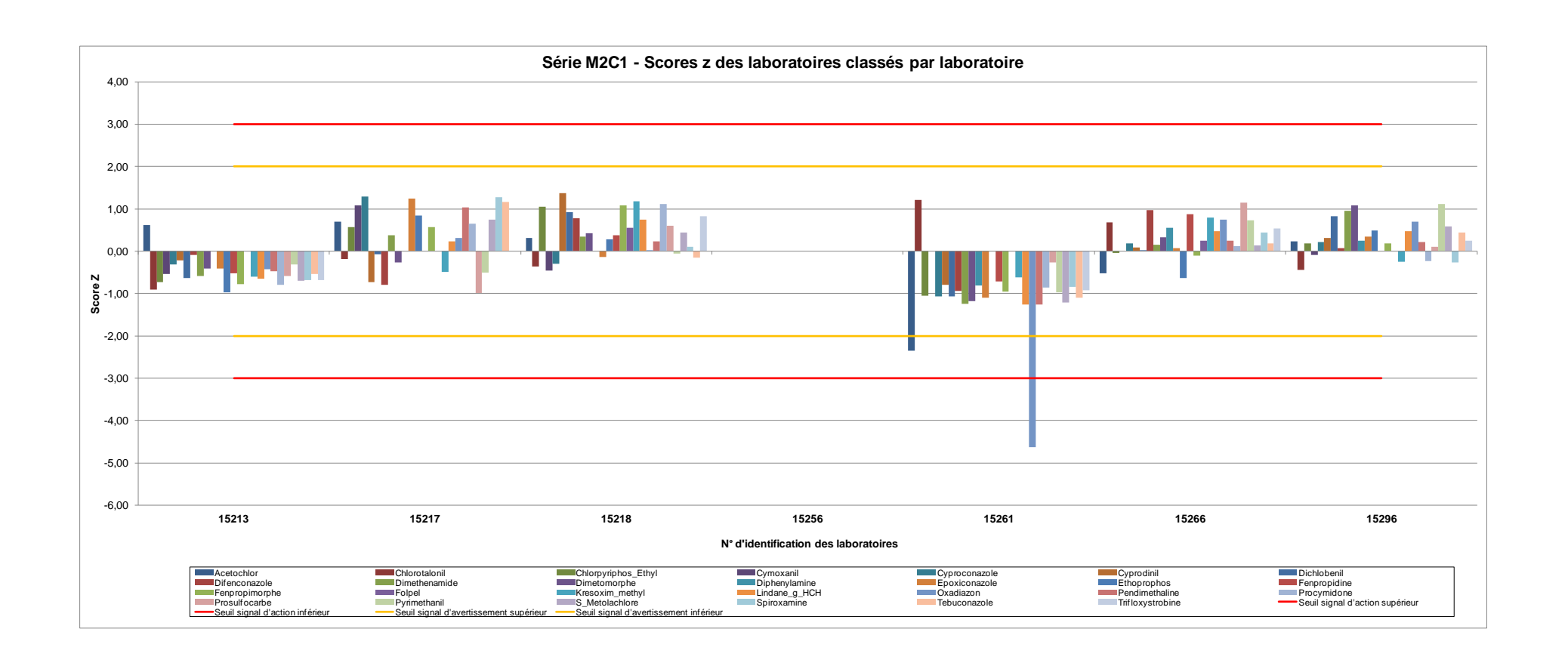
S_r: écart de répétabilité

 $S_{\,\text{s}}$: écart-type inter échantillon des matériaux d'essais distribués

s* : écart-type robuste pour l'évaluation de l'aptitude $^{\wedge}$

σ : écart-type pour l'évaluation de l'aptitude recalculé suite à hétérogénéité du matériau d'essai et/ou faible population (p<16)

 u_{x^*} : incertitude type u_x



Approche Robuste: Pesticides Air Ambiant - M2C2

Substances ou Paramètres (unité en ng)	Valeur ciblée par dopage	Moyenne robuste x*	Ecart-type robuste s*	Ecart-type pour l'évaluation de l'aptitude δ	Incertitude type u _x . de la valeur assignée	Nombre de laboratoires ayant mesures exclues	Ecart-type interlaboratoire S _L	Ecart-type de reproductibilité S _R	Ecart type de répétabilité S,	IC _R relatif (%)	IC, relatif (%)	S _s
Acetochlor	1027,2	555,433	282,695	317,377	144,262	1	282,540	283,105	17,879	131,02%	8,27%	
Chlorotalonil	585,9	436,873	298,099	351,532	186,312	3	294,077	307,646	90,358	224,11%	65,82%	
Chlorpyriphos_Ethyl	1345,9	1084,451	579,835	650,971	295,896	1	579,305	581,229	47,248	137,77%	11,20%	
Cymoxanil	1468,5	1399,513	582,402	686,797	364,002	3	581,232	585,900	73,811	133,23%	16,78%	
Cyproconazole	1456,6	1162,097	345,627	388,030	176,377	1	343,658	350,766	70,255	77,59%	15,54%	
Cyprodinil	1078,9	689,274	406,794	456,701	207,591	1	405,975	408,944	49,188	152,51%	18,34%	
Dichlobenil	621,2	348,924	203,510	228,477	103,853	1	203,405	203,787	12,464	150,13%	9,18%	
Difenconazole	987,8	505,486	380,678	427,381	194,264	1	380,565	380,976	17,681	193,74%	8,99%	
Dimethenamide	1360,9	1048,502	288,341	323,716	147,144	1	286,933	292,022	54,282	71,59%	13,31%	
Dimetomorphe	1105,2	659,900	462,860	519,645	236,202	1	461,810	465,616	59,418	181,38%	23,15%	
Diphenylamine	569,4	344,305	140,762	173,590	101,586	4	138,633	145,336	43,628	181,62%	54,52%	
Epoxiconazole	1351,3	1097,123	401,668	450,945	204,975	1	400,666	404,297	54,062	94,73%	12,67%	
Ethoprophos	546,4	428,660	131,631	150,802	73,584	2	131,195	132,931	21,415	86,10%	13,87%	
Fenpropidine	1282,4	703,019	548,357	628,222	306,541	2	547,094	551,570	70,120	217,83%	27,69%	
Fenpropimorphe	662,8	612,991	374,230	420,142	190,973	1	373,838	375,261	32,647	157,37%	13,69%	
Folpel	504,5	323,067	361,697	446,053	261,033	4	356,896	375,733	117,477	500,41%	156,46%	
Kresoxim_methyl	777,6	377,742	219,217	246,111	111,869	1	218,582	220,882	31,794	150,31%	21,64%	
Lindane_g_HCH	1354,8	976,768	409,794	460,068	209,122	1	409,162	411,454	43,371	108,28%	11,41%	
Oxadiazon	1208,8	928,693	229,335	257,470	117,032	1	228,433	231,696	38,750	64,13%	10,73%	
Pendimethaline	563,2	480,827	279,014	313,244	142,384	1	278,790	279,604	21,324	149,48%	11,40%	
Procymidone	1333,6	905,378	510,124	572,707	260,321	1	509,544	511,650	46,384	145,27%	13,17%	
Prosulfocarbe	657,2	454,934	373,225	419,013	190,461	1	372,726	374,538	36,802	211,63%	20,79%	
Pyrimethanil	584,4	375,703	227,519	255,432	116,105	1	227,447	227,707	10,868	155,80%	7,44%	
S_Metolachlore	1303,6	1091,558	334,390	375,414	170,643	1	333,890	335,707	34,881	79,06%	8,21%	
Spiroxamine	531,9	315,032	257,270	288,833	131,288	1	257,025	257,917	21,440	210,45%	17,49%	
Tebuconazole	1165,5	979,912	432,411	485,461	220,664	1	430,926	436,303	68,284	114,45%	17,91%	
Trifloxystrobine	1373,1	730,601	545,062	611,932	278,151	1	544,487	546,577	47,759	192,31%	16,80%	

x*: moyenne robuste

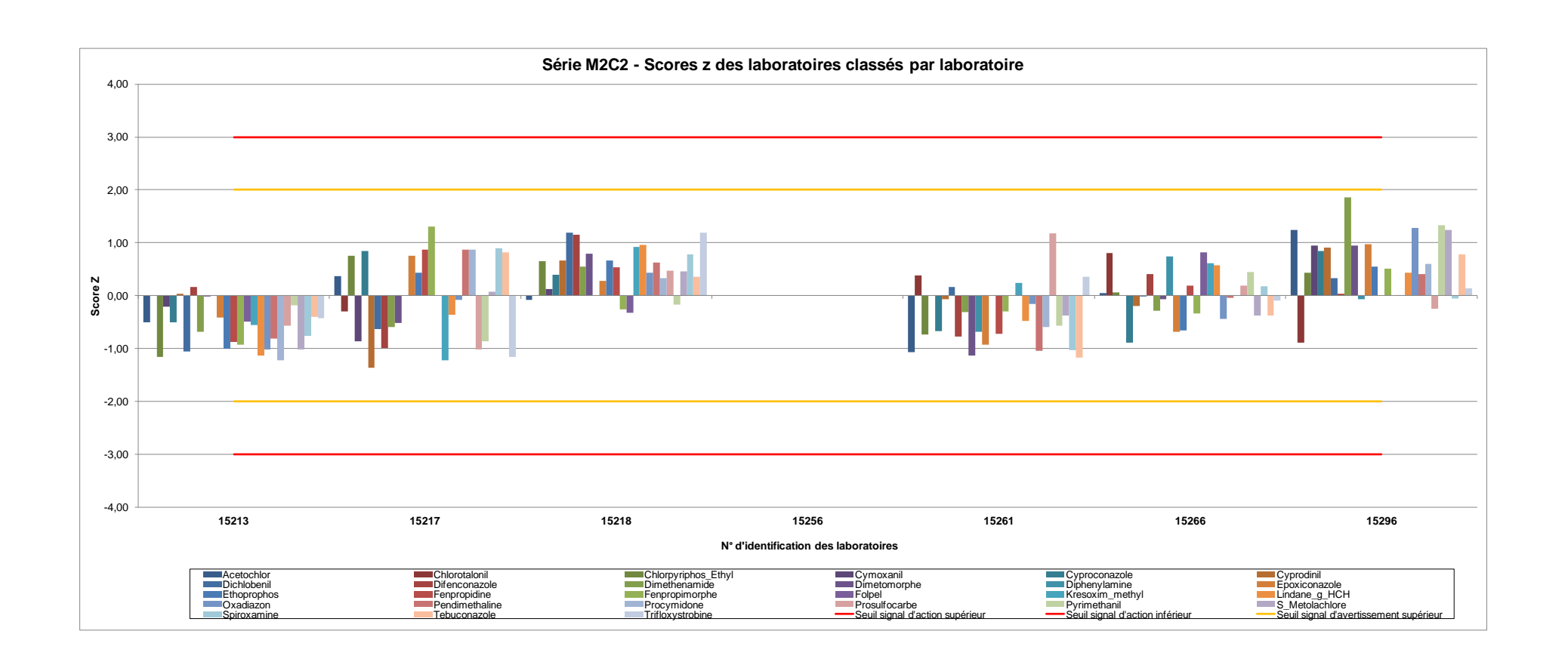
s* : écart-type robuste pour l'évaluation de l'aptitude $^{\wedge}$

σ : écart-type pour l'évaluation de l'aptitude recalculé suite à hétérogénéité du matériau d'essai et/ou faible population (p<16) u_{x^*} : incertitude type u_x

S_R : écart de reproductibilité Ic R : intervalle de confiance de reproductibilité S_L: écart interlaboratoire IC_r : intervalle de confiance de repétabilité

S_r: écart de répétabilité

 $S_{\,\text{s}}$: écart-type inter échantillon des matériaux d'essais distribués



Approche Robuste: Pesticides air ambiant - M2C3

Substances ou Paramètres (unité en ng)	Valeur ciblée par dopage	Moyenne robuste x*	Ecart-type robuste s*	Ecart-type pour l'évaluation de l'aptitude ∕o	Incertitude type u _x . de la valeur assignée	Nombre de laboratoires ayant mesures exclues	Ecart-type interlaboratoire S _≀	Ecart-type de reproductibilité S _R	Ecart type de répétabilité S,	IC _R relatif (%)	IC, relatif (%)	S _s
Acetochlor	128,4	91,739	66,260	74,389	33,813	1	65,589	67,767	17,042	189,89%	47,75%	
Chlorotalonil	292,9	140,750	145,273	163,096	74,134	1	142,952	150,066	45,656	274,07%	83,38%	
Chlorpyriphos_Ethyl	448,6	360,773	252,456	283,428	128,831	1	251,372	255,067	43,257	181,74%	30,82%	
Cyprodinil	134,8	85,352	46,735	52,469	23,850	1	46,142	48,472	14,846	145,98%	44,71%	
Dimethenamide	453,6	345,037	136,139	152,841	69,473	1	127,319	159,703	96,411	118,98%	71,83%	
Fenpropimorphe	220,9	180,170	84,414	94,771	43,078	1	80,734	94,601	49,310	134,97%	70,35%	
Kresoxim_methyl	97,2	50,456	58,800	66,014	30,006	1	58,573	59,315	9,347	302,19%	47,62%	
Lindane_g_HCH	451,6	312,014	95,397	107,100	48,682	1	85,366	117,817	81,200	97,07%	66,90%	
Oxadiazon	151,1	112,597	45,011	50,534	22,970	1	43,264	48,995	22,994	111,86%	52,50%	
Pendimethaline	281,6	241,471	152,608	171,331	77,878	1	151,072	156,054	39,117	166,13%	41,64%	
Prosulfocarbe	328,6	179,177	129,515	148,378	72,401	2	128,055	133,801	38,789	207,33%	60,11%	
Pyrimethanil	292,2	169,369	137,877	154,792	70,360	1	136,459	142,046	39,446	215,59%	59,87%	
S_Metolachlore	434,5	343,671	230,384	258,649	117,568	1	228,970	234,577	50,985	175,46%	38,14%	

x*: moyenne robuste

S_R: écart de reproductibilité Ic_R : intervalle de confiance de reproductibilité

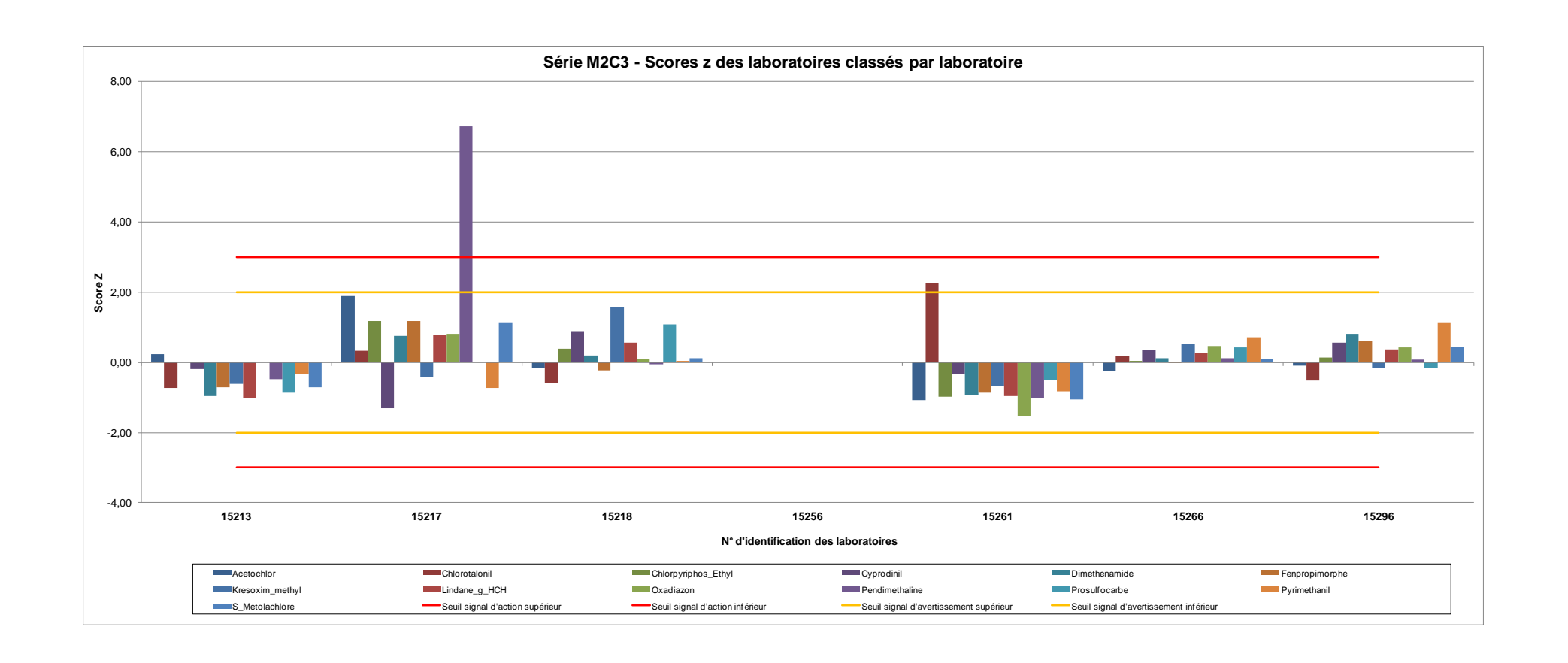
S_L: écart interlaboratoire IC_r : intervalle de confiance de repétabilité

S_r: écart de répétabilité $S_{\,\text{s}}$: écart-type inter échantillon des matériaux d'essais distribués

s*: écart-type robuste pour l'évaluation de l'aptitude

 $[\]sigma$: écart-type pour l'évaluation de l'aptitude recalculé suite à hétérogénéité du matériau d'essai et/ou faible population (p<16)

 u_{x^*} : incertitude type u_x



Approche Robuste: Pesticides Air Ambiant - M2C4

Substances ou Paramètres (unité en ng)	Valeur ciblée par dopage	Moyenne robuste x*	Ecart-type robuste s*	Ecart-type pour l'évaluation de l'aptitude ∕o	Incertitude type u _x . de la valeur assignée	Nombre de laboratoires ayant mesures exclues	Ecart-type interlaboratoire S _≀	Ecart-type de reproductibilité S _R	Ecart type de répétabilité S,	IC _R relatif (%)	IC, relatif (%)	Ss
Acetochlor	1027,2	598,749	205,289	230,474	104,761	1	203,803	209,156	47,018	89,80%	20,19%	
Chlorotalonil	585,9	293,931	323,260	362,918	164,963	1	322,716	324,689	35,744	283,96%	31,26%	
Chlorpyriphos_Ethyl	1345,9	1106,998	678,477	761,715	346,234	1	676,832	682,797	90,055	158,55%	20,91%	
Cyprodinil	1078,9	596,588	451,998	507,450	230,659	1	451,345	453,715	46,307	195,50%	19,95%	
Dimethenamide	1360,9	933,957	439,329	493,227	224,194	1	439,036	440,101	30,601	121,13%	8,42%	
Fenpropimorphe	662,8	558,484	341,268	383,135	174,152	1	341,052	341,837	23,155	157,34%	10,66%	
Kresoxim_methyl	777,6	318,757	267,342	300,141	136,428	1	267,068	268,064	23,092	216,18%	18,62%	
Lindane_g_HCH	1354,8	909,763	537,485	603,425	274,284	1	537,091	538,522	39,237	152,16%	11,09%	
Oxadiazon	1208,8	1084,355	458,377	514,612	233,914	1	457,545	460,562	52,629	109,18%	12,48%	
Pendimethaline	563,1	522,190	375,372	421,424	191,556	1	374,361	378,025	52,510	186,09%	25,85%	
Prosulfocarbe	657,2	266,473	236,580	265,605	120,729	1	236,076	237,906	29,449	229,50%	28,41%	
Pyrimethanil	584,4	347,119	212,552	238,629	108,468	1	212,012	213,971	28,891	158,46%	21,40%	
S_Metolachlore	1303,6	958,617	492,833	553,295	251,498	1	492,365	494,066	40,972	132,49%	10,99%	

x*: moyenne robuste

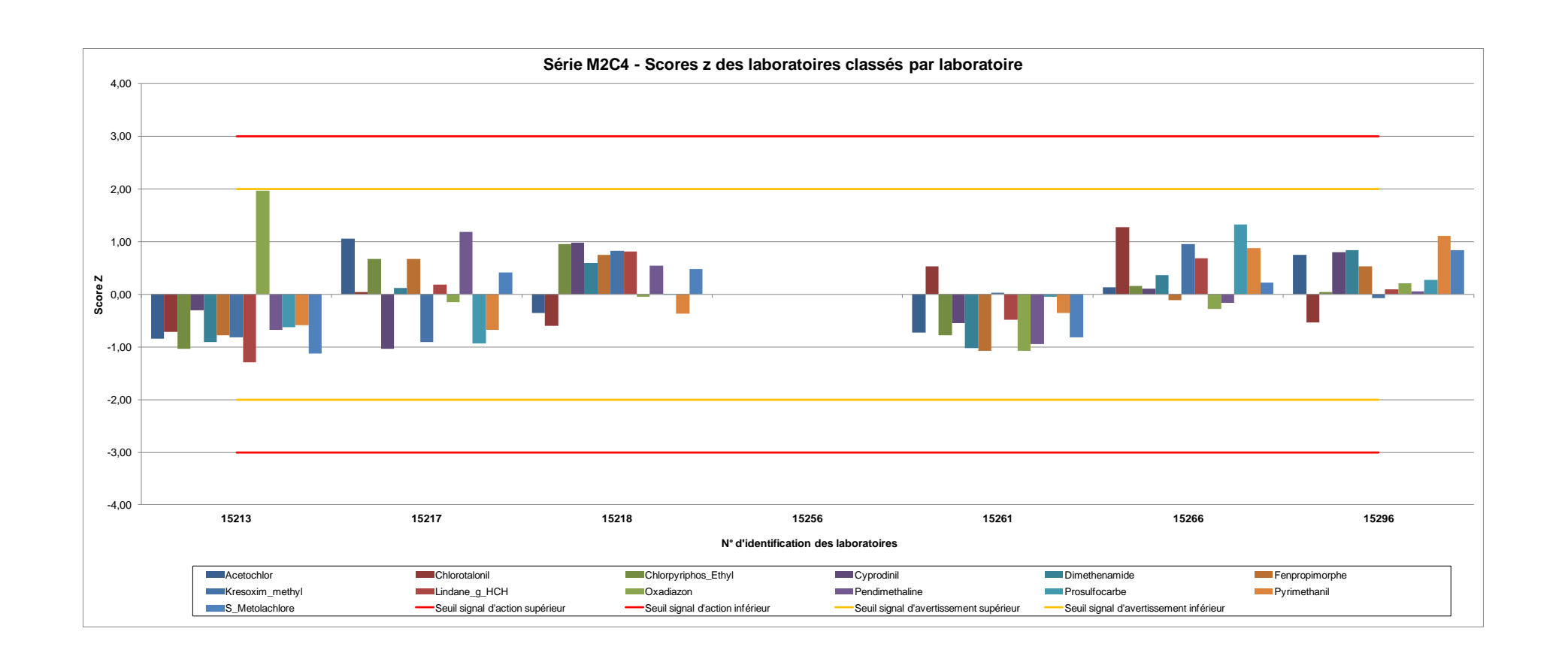
S_R: écart de reproductibilité Ic_R : intervalle de confiance de reproductibilité S_L: écart interlaboratoire IC_r : intervalle de confiance de repétabilité

S_r: écart de répétabilité $S_{\,\text{s}}$: écart-type inter échantillon des matériaux d'essais distribués

s*: écart-type robuste pour l'évaluation de l'aptitude

 $[\]sigma$: écart-type pour l'évaluation de l'aptitude recalculé suite à hétérogénéité du matériau d'essai et/ou faible population (p<16)

 u_{x^*} : incertitude type u_x



Approche Robuste: Pesticides Air Ambiant - M2C5

Substances ou Paramètres (unité en ng)	Valeur ciblée par dopage	Moyenne robuste x*	Ecart-type robuste s*	Ecart-type pour l'évaluation de l'aptitude δ	Incertitude type u _x . de la valeur assignée	Nombre de laboratoires ayant mesures exclues	Ecart-type interlaboratoire S _L	Ecart-type de reproductibilité S _R	Ecart type de répétabilité S,	IC _R relatif (%)	IC, relatif (%)	S _s
Acetochlor	1027,2	745,809	232,494	261,017	118,644	1	231,631	234,755	38,175	80,91%	13,16%	
Chlorotalonil	585,9	519,820	592,918	665,659	302,572	1	592,823	593,169	20,244	293,33%	10,01%	
Chlorpyriphos_Ethyl	1345,9	1367,357	753,929	846,423	384,738	1	752,577	757,482	86,061	142,40%	16,18%	
Cymoxanil	1468,5	1610,415	1565,266	1793,237	875,010	2	1564,590	1566,991	86,715	270,16%	14,95%	
Cyproconazole	1456,6	1394,028	788,428	885,155	402,343	1	783,996	799,997	159,204	147,52%	29,36%	
Cyprodinil	1078,9	741,732	485,374	544,921	247,691	1	485,014	486,322	35,646	168,54%	12,35%	
Dichlobenil	621,2	552,194	243,413	273,276	124,216	1	242,193	246,602	46,425	114,80%	21,61%	
Difenconazole	987,8	481,657	367,374	412,444	187,475	1	367,232	367,748	19,483	196,27%	10,40%	
Dimethenamide	1360,9	1077,184	367,751	412,868	187,667	1	367,449	368,545	28,399	87,95%	6,78%	
Dimetomorphe	1105,2	708,287	514,909	578,079	262,763	1	514,537	515,886	37,282	187,23%	13,53%	
Diphenylamine	569,4	665,796	354,508	418,053	221,568	3	353,398	357,191	51,918	170,73%	24,82%	
Epoxiconazole	1351,3	1074,784	471,024	528,811	240,369	1	470,531	472,322	41,092	112,97%	9,83%	
Ethoprophos	546,4	345,071	282,615	317,288	144,222	1	282,420	283,130	20,027	210,92%	14,92%	
Fenpropidine	1282,4	759,710	299,737	343,392	167,558	2	298,557	302,732	50,103	110,64%	18,31%	
Fenpropimorphe	662,8	516,198	264,685	297,157	135,071	1	264,292	265,718	27,488	132,32%	13,69%	
Folpel	1000000	204037,206	281467,966	331920,435	175917,479	3	281448,844	281514,402	6075,093	439,09%	9,48%	
Kresoxim_methyl	777,6	412,916	406,023	455,835	207,198	1	405,931	406,267	16,533	252,92%	10,29%	
Lindane_g_HCH	1354,8	992,560	581,134	652,429	296,559	1	581,079	581,279	15,225	150,54%	3,94%	
Oxadiazon	1208,8	1052,312	158,675	178,142	80,974	1	156,809	163,494	46,275	39,94%	11,30%	
Pendimethaline	563,1	596,056	196,898	221,054	100,479	1	195,950	199,376	36,799	85,98%	15,87%	
Procymidone	1333,6	606,608	727,468	816,716	371,234	1	727,438	727,547	12,588	308,31%	5,33%	
Prosulfocarbe	657,2	354,598	307,251	344,945	156,793	1	307,169	307,468	13,549	222,89%	9,82%	
Pyrimethanil	584,4	451,557	338,991	380,580	172,991	1	338,895	339,244	15,380	193,12%	8,76%	
S_Metolachlore	1303,6	1000,558	537,339	603,261	274,210	1	536,995	538,246	36,684	138,28%	9,42%	
Spiroxamine	531,9	314,137	257,369	288,943	131,338	1	257,222	257,753	16,538	210,92%	13,53%	
Tebuconazole	1165,4	1014,878	436,735	490,315	222,871	1	436,031	438,588	47,293	111,09%	11,98%	
Trifloxystrobine	1373,1	882,711	993,920	1115,857	507,208	1	991,922	999,168	120,110	290,97%	34,98%	

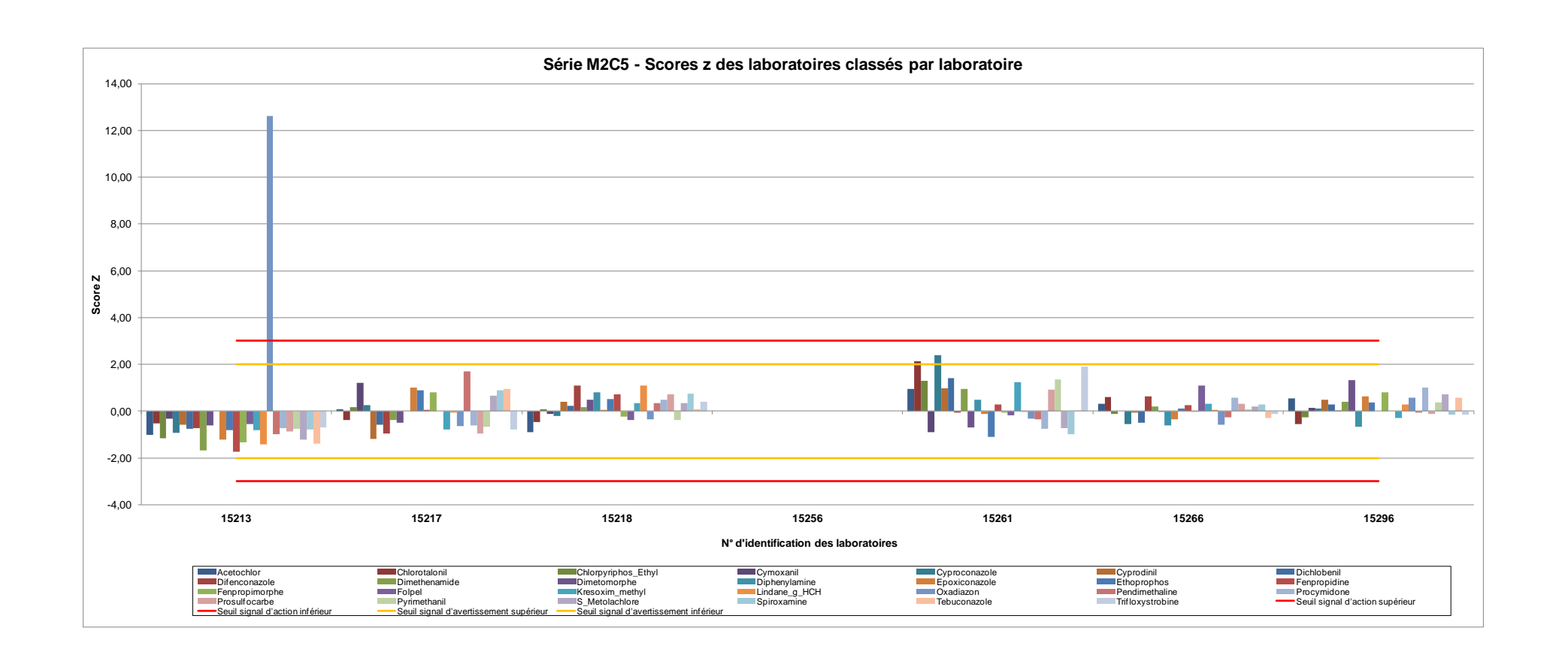
x*: moyenne robuste

s* : écart-type robuste pour l'évaluation de l'aptitude

σ : écart-type pour l'évaluation de l'aptitude recalculé suite à hétérogénéité du matériau d'essai et/ou faible population (p<16) u_{x^*} : incertitude type u_x

S_R : écart de reproductibilité Ic R : intervalle de confiance de reproductibilité S_L: écart interlaboratoire IC_r : intervalle de confiance de repétabilité

 $S_{\,\text{s}}$: écart-type inter échantillon des matériaux d'essais distribués S_r: écart de répétabilité



Approche Robuste: Pesticides air ambiant - M3C1

Substances ou Paramètres (unité en ng)	Valeur ciblée par dopage	Moyenne robuste x*	Ecart-type robuste s*	Ecart-type pour l'évaluation de l'aptitude δ	Incertitude type u _x . de la valeur assignée	Nombre de laboratoires ayant mesures exclues	Ecart-type interlaboratoire S _L	Ecart-type de reproductibilité S _R	Ecart type de répétabilité S,	IC _R relatif (%)	IC, relatif (%)	S _s
Acetochlor	128,4	109,140	39,410	45,149	22,031	2	35,709	47,577	31,440	121,03%	79,98%	
Chlorotalonil	292,93	102,505	112,984	129,440	63,160	2	112,472	113,934	18,198	308,60%	49,29%	
Chlorpyriphos_Ethyl	448,65	369,695	177,429	196,235	83,827	0	172,722	189,522	78,011	125,44%	51,63%	
Cymoxanil	146,85	115,808	56,371	69,518	40,682	4	56,147	57,037	10,033	211,91%	37,28%	
Cyproconazole	145,66	124,115	91,801	105,171	51,318	2	91,235	93,230	19,180	208,55%	42,91%	
Cyprodinil	134,86	101,965	79,165	88,877	40,399	1	78,922	79,802	11,816	201,18%	29,79%	
Dichlobenil	310,62	188,892	134,156	150,614	68,461	1	133,344	136,274	28,107	185,45%	38,25%	
Difenconazole	526,82	283,409	272,271	301,130	128,636	0	271,970	272,990	23,575	235,70%	20,35%	
Dimethenamide	453,63	277,288	191,387	214,867	97,667	1	190,573	193,808	35,266	179,67%	32,69%	
Dimetomorphe	589,44	357,100	204,016	233,729	114,048	2	202,916	207,280	42,310	161,16%	32,90%	
Diphenylamine	284,71	197,104	109,112	134,559	78,745	4	91,292	150,395	119,518	328,30%	260,90%	
Epoxiconazole	135,13	149,613	81,744	96,397	51,090	3	81,409	82,742	14,792	176,00%	31,46%	
Ethoprophos	273,19	193,030	105,447	120,805	58,947	2	105,051	106,629	18,275	153,37%	26,29%	
Fenpropidine	128,23	82,525	34,510	42,559	24,906	4	34,234	35,328	8,724	184,19%	45,48%	
Fenpropimorphe	220,95	278,054	166,421	186,838	84,927	1	164,618	171,718	48,869	158,75%	45,18%	
Folpel	252,24	206,931	108,281	127,690	67,676	3	106,426	111,088	31,844	170,84%	48,97%	
Kresoxim_methyl	97,2	78,892	48,684	55,775	27,215	2	47,334	52,526	22,771	184,86%	80,14%	
Lindane_g_HCH	451,59	296,852	182,847	202,227	86,387	0	180,918	187,942	50,900	154,92%	41,96%	
Oxadiazon	151,1	139,501	38,890	43,012	18,374	0	30,889	54,914	45,402	96,32%	79,64%	
Pendimethaline	281,6	409,590	312,913	346,079	147,838	0	307,407	327,278	112,300	195,52%	67,09%	
Procymidone	133,36	127,783	130,369	146,362	66,528	1	128,824	134,045	37,044	269,65%	74,52%	
Prosulfocarbe	328,6	243,260	171,169	192,169	87,350	1	169,861	174,572	40,283	184,47%	42,57%	
Pyrimethanil	292,2	184,517	137,975	154,902	70,410	1	137,371	139,555	24,592	194,42%	34,26%	
S_Metolachlore	434,53	360,964	286,992	317,410	135,591	0	286,160	289,474	43,678	196,23%	29,61%	
Spiroxamine	265,95	211,104	64,124	71,991	32,723	1	62,818	67,893	25,755	82,67%	31,36%	
Tebuconazole	621,62	497,944	356,991	394,829	168,663	0	355,503	361,419	65,127	177,60%	32,00%	
Trifloxystrobine	137,3	118,797	105,090	120,396	58,747	2	104,779	106,018	16,159	247,78%	37,77%	

x*: moyenne robuste

S_R : écart de reproductibilité Ic R : intervalle de confiance de reproductibilité

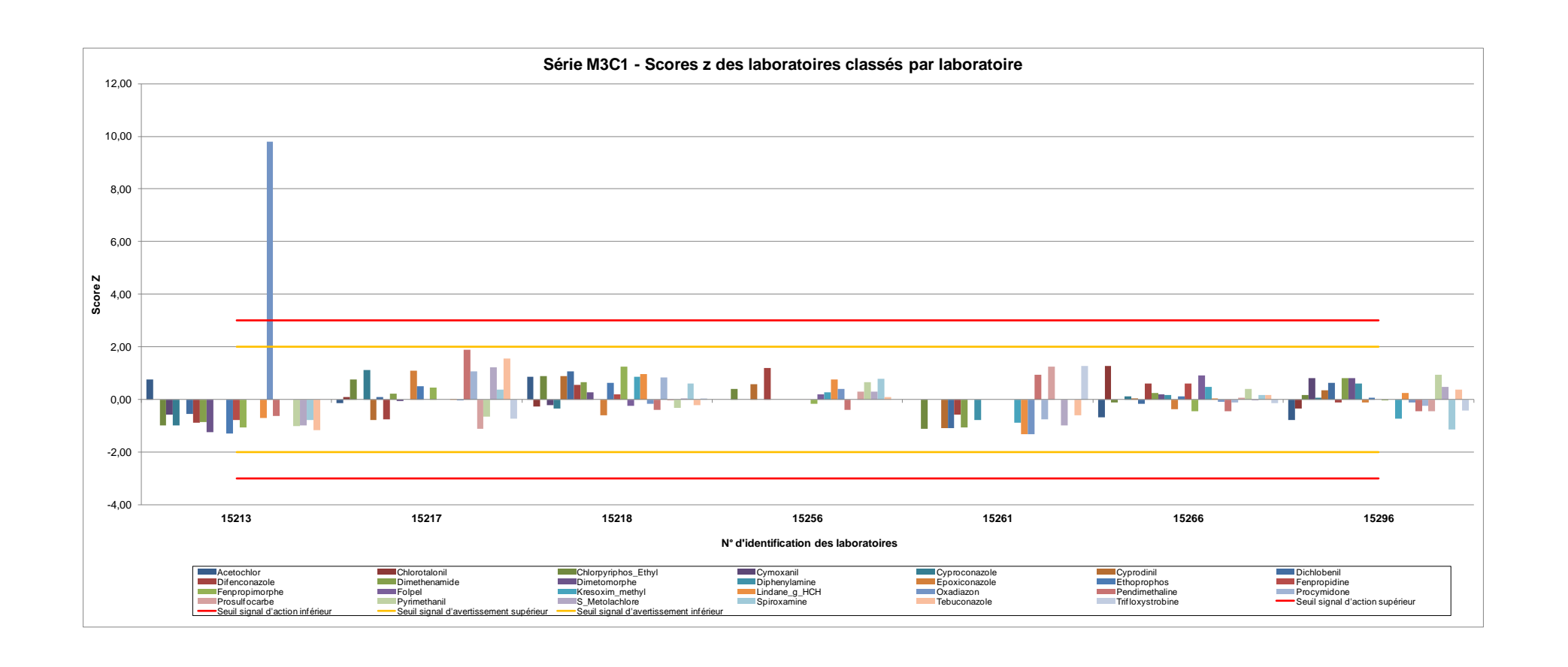
S_L: écart interlaboratoire IC_r : intervalle de confiance de repétabilité S_r: écart de répétabilité

 $S_{\,\text{s}}$: écart-type inter échantillon des matériaux d'essais distribués

s* : écart-type robuste pour l'évaluation de l'aptitude

σ : écart-type pour l'évaluation de l'aptitude recalculé suite à hétérogénéité du matériau d'essai et/ou faible population (p<16)

 u_{x^*} : incertitude type u_x



Approche Robuste: Pesticides air ambiant - M3C2

Substances ou Paramètres (unité en ng)	Valeur ciblée par dopage	Moyenne robuste x*	Ecart-type robuste s*	Ecart-type pour l'évaluation de l'aptitude δ	Incertitude type u _x . de la valeur assignée	Nombre de laboratoires ayant mesures exclues	Ecart-type interlaboratoire S _L	Ecart-type de reproductibilité S _R	Ecart type de répétabilité S,	IC _R relatif (%)	IC, relatif (%)	S _s
Acetochlor	1027,2	286,808	265,218	297,756	135,344	1	264,786	266,281	28,177	238,66%	25,25%	
Chlorotalonil	585,87	458,500	691,203	922,503	610,943	5	690,804	692,398	46,956	1918,81%	130,13%	
Chlorpyriphos_Ethyl	1345,95	745,201	672,063	743,296	317,520	0	671,877	672,565	30,398	220,84%	9,98%	
Cymoxanil	1468,53	465,056	563,950	665,037	352,469	3	563,755	564,537	29,722	386,32%	20,34%	
Cyproconazole	1456,65	531,986	417,917	469,188	213,267	1	417,642	418,642	28,921	202,29%	13,97%	
Cyprodinil	1078,9	412,028	512,858	567,216	242,303	0	512,665	513,378	27,046	304,88%	16,06%	
Dichlobenil	621,2	234,495	300,873	337,785	153,539	1	300,735	301,238	17,410	330,22%	19,09%	
Difenconazole	987,8	450,296	494,726	555,420	252,464	1	494,075	496,673	50,742	283,53%	28,97%	
Dimethenamide	1360,9	507,757	574,894	645,423	293,374	1	574,712	575,373	27,565	291,29%	13,96%	
Dimetomorphe	1105,2	354,962	399,400	448,399	203,818	1	399,117	400,145	28,668	289,78%	20,76%	
Diphenylamine	569,4	362,955	358,904	479,006	317,229	5	347,646	376,921	145,643	1319,51%	509,86%	
Epoxiconazole	1351,3	523,985	482,368	541,547	246,158	1	481,773	483,935	45,695	237,41%	22,42%	
Ethoprophos	546,4	280,575	227,887	268,735	142,429	3	227,642	228,621	21,143	259,32%	23,98%	
Fenpropidine	1282,36	546,655	347,146	397,706	194,060	2	346,855	347,889	26,799	176,69%	13,61%	
Fenpropimorphe	662,85	323,559	287,735	318,232	135,942	0	287,463	288,465	24,019	218,15%	18,16%	
Folpel	504,5	459,933	245,471	302,720	177,153	4	242,048	255,466	81,706	238,99%	76,44%	
Kresoxim_methyl	777,6	313,915	346,711	383,459	163,806	0	346,476	347,343	24,522	270,75%	19,11%	
Lindane_g_HCH	1354,8	655,514	738,814	817,121	349,057	0	738,559	739,502	37,332	276,04%	13,94%	
Oxadiazon	1208,8	794,580	688,426	761,392	325,251	0	688,292	688,787	26,101	212,11%	8,04%	
Pendimethaline	563,1	477,321	176,603	195,322	83,437	0	175,800	178,748	32,330	91,63%	16,57%	
Procymidone	1333,66	533,242	495,212	555,966	252,712	1	494,816	496,254	37,747	239,23%	18,20%	
Prosulfocarbe	657,2	329,827	349,701	392,603	178,456	1	349,510	350,204	22,043	272,94%	17,18%	
Pyrimethanil	584,4	277,913	273,410	306,953	139,524	1	273,348	273,597	11,680	253,07%	10,80%	
S_Metolachlore	1303,6	647,326	594,926	657,982	281,076	0	594,818	595,215	21,710	224,99%	8,21%	
Spiroxamine	531,9	345,345	192,178	220,168	107,431	2	191,859	193,135	22,169	155,27%	17,82%	
Tebuconazole	1165,5	607,221	442,812	489,746	209,209	0	442,325	444,121	39,904	178,97%	16,08%	
Trifloxystrobine	1373,1	449,600	594,656	667,610	303,459	1	594,043	596,267	51,448	340,91%	29,42%	

x*: moyenne robuste

S_R : écart de reproductibilité Ic R : intervalle de confiance de reproductibilité S_L: écart interlaboratoire IC_r : intervalle de confiance de repétabilité

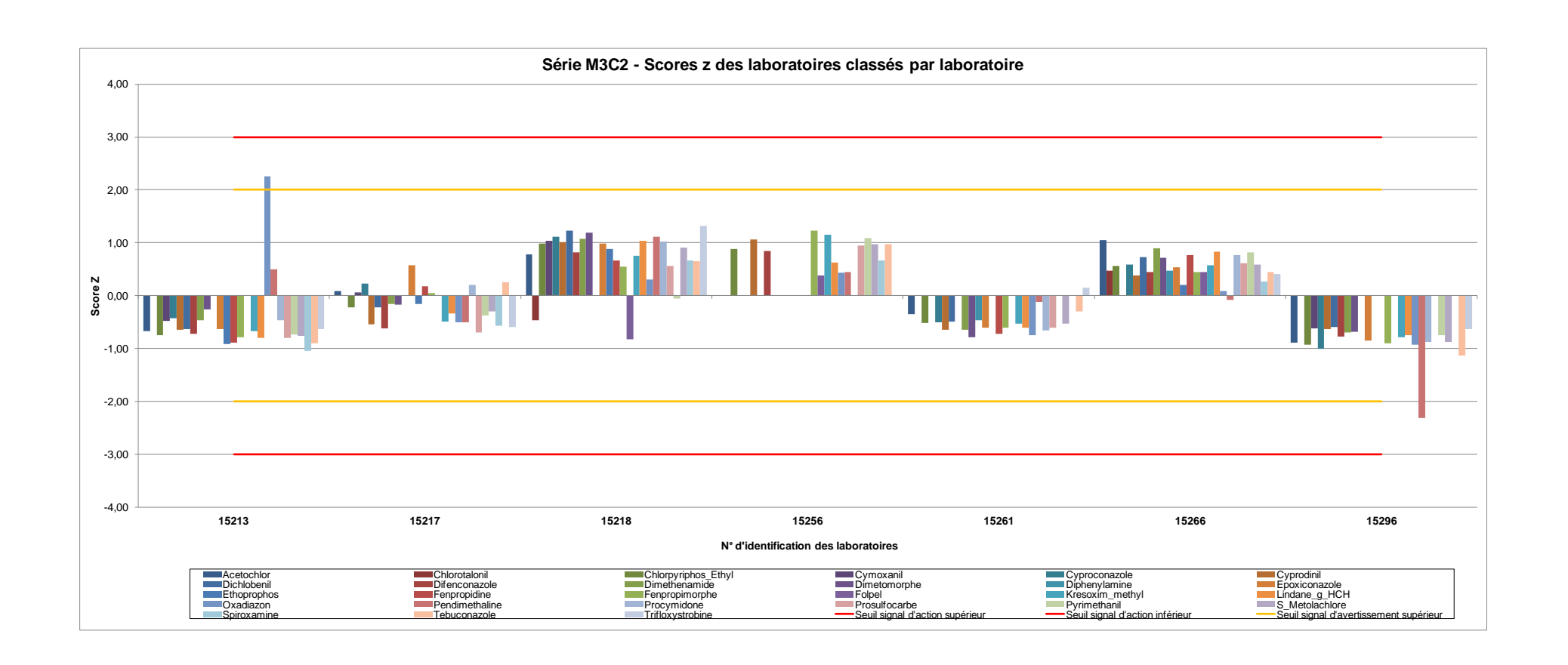
S_r: écart de répétabilité

 S_s : écart-type inter échantillon des matériaux d'essais distribués

s* : écart-type robuste pour l'évaluation de l'aptitude

σ : écart-type pour l'évaluation de l'aptitude recalculé suite à hétérogénéité du matériau d'essai et/ou faible population (p<16)

 u_{x^*} : incertitude type u_x



Approche Robuste: Pesticides air ambiant - M3C3

Substances ou Paramètres (unité en ng)	Valeur ciblée par dopage	Moyenne robuste x*	Ecart-type robuste s*	Ecart-type pour l'évaluation de l'aptitude ∕o	Incertitude type u _x . de la valeur assignée	Nombre de laboratoires ayant mesures exclues	Ecart-type interlaboratoire S _≀	Ecart-type de reproductibilité S _R	Ecart type de répétabilité S,	IC _R relatif (%)	IC, relatif (%)	Ss
Acetochlor	128,4	89,811	29,710	33,355	15,161	1	28,000	33,282	17,990	95,26%	51,49%	
Chlorotalonil	292,9	135,788	114,794	135,371	71,746	3	114,102	116,459	23,312	272,94%	54,64%	
Chlorpyriphos_Ethyl	448,6	430,507	238,204	263,452	112,541	0	236,360	242,553	54,460	137,86%	30,95%	
Cyprodinil	134,8	104,092	68,061	76,411	34,732	1	67,811	68,715	11,113	169,69%	27,44%	
Dimethenamide	453,6	324,415	239,799	269,218	122,372	1	239,407	240,691	24,834	190,72%	19,68%	
Fenpropimorphe	220,95	232,070	161,185	178,269	76,153	0	160,482	162,850	27,667	171,71%	29,17%	
Kresoxim_methyl	97,2	93,097	39,040	43,830	19,923	1	37,561	42,694	20,296	117,89%	56,04%	
Lindane_g_HCH	451,6	319,940	235,866	260,865	111,436	0	235,633	236,420	19,281	180,82%	14,75%	
Oxadiazon	151,1	265,205	211,389	233,794	99,872	0	209,195	216,540	55,919	199,79%	51,59%	
Pendimethaline	281,6	259,196	58,091	64,249	27,446	0	53,734	67,369	40,635	63,60%	38,36%	
Prosulfocarbe	328,6	233,557	140,133	157,325	71,512	1	139,742	141,021	18,950	155,21%	20,86%	
Pyrimethanil	292,2	191,867	124,000	139,212	63,278	1	123,785	124,563	13,900	166,89%	18,62%	
S_Metolachlore	434,5	375,395	245,164	271,149	115,829	0	243,873	248,607	48,281	162,05%	31,47%	

x*: moyenne robuste

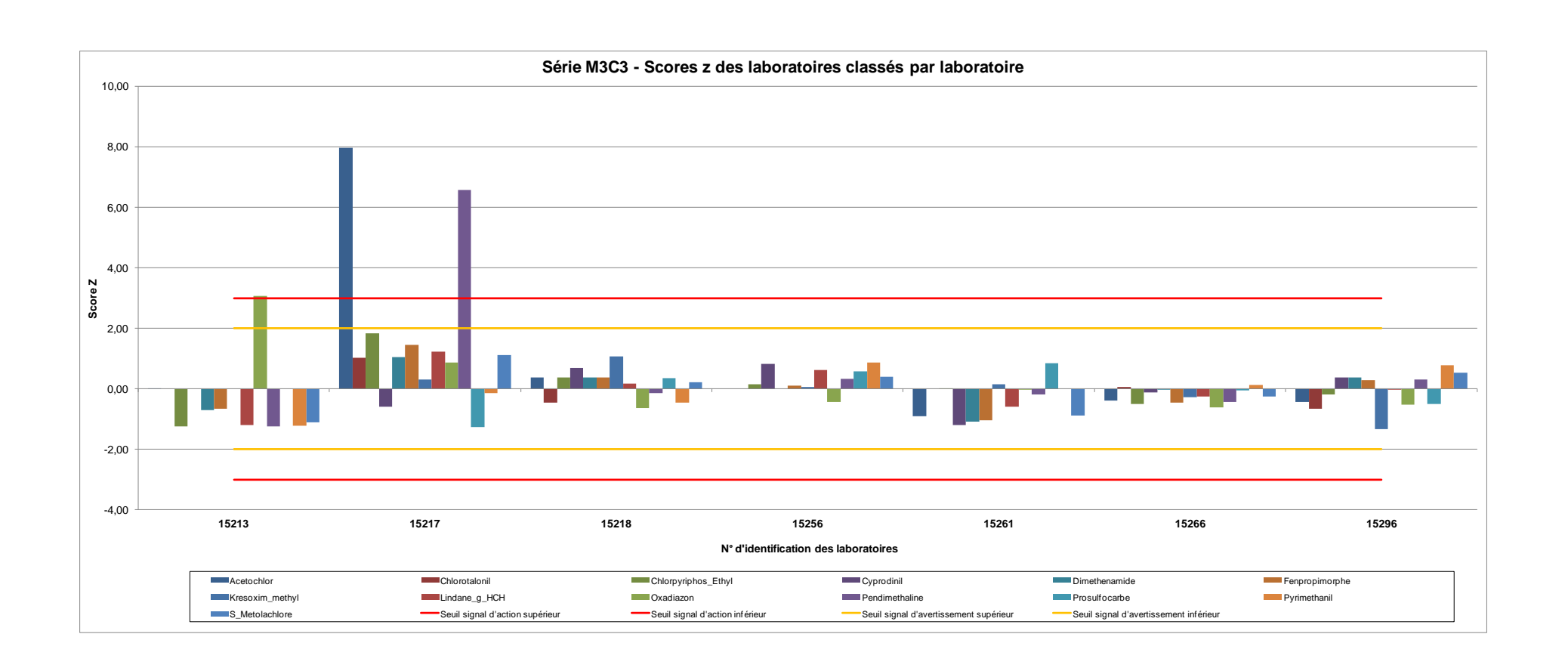
 S_R : écart de reproductibilité Ic_R : intervalle de confiance de reproductibilité S_L : écart interlaboratoire IC_r : intervalle de confiance de repétabilité

 S_r : écart de répétabilité S_s : écart-type inter échantillon des matériaux d'essais distribués

s*: écart-type robuste pour l'évaluation de l'aptitude

 $[\]sigma$: écart-type pour l'évaluation de l'aptitude recalculé suite à hétérogénéité du matériau d'essai et/ou faible population (p<16)

 u_{x^*} : incertitude type u_x



Approche Robuste: Pesticides Air Ambiant - M3C4

Substances ou Paramètres (unité en ng)	Valeur ciblée par dopage	Moyenne robuste x*	Ecart-type robuste s*	Ecart-type pour l'évaluation de l'aptitude ∕o	Incertitude type u _x . de la valeur assignée	Nombre de laboratoires ayant mesures exclues	Ecart-type interlaboratoire S _⊥	Ecart-type de reproductibilité S _R	Ecart type de répétabilité S,	IC _R relatif (%)	IC, relatif (%)	S _s
Acetochlor	1027,2	489,208	257,007	288,538	131,153	1	256,739	257,714	22,404	135,42%	11,77%	
Chlorotalonil	585,9	136,483	199,460	223,930	101,787	1	199,402	199,612	9,155	375,96%	17,24%	
Chlorpyriphos_Ethyl	1345,9	942,357	626,856	693,296	296,161	0	626,512	627,781	39,898	163,01%	10,36%	
Cyprodinil	1078,9	515,107	535,320	592,059	252,915	0	535,196	535,653	22,105	254,45%	10,50%	
Dimethenamide	1360,9	786,763	569,296	639,138	290,517	1	568,692	570,884	49,978	186,52%	16,33%	
Fenpropimorphe	662,8	456,908	317,712	351,386	150,105	0	317,257	318,931	32,632	170,80%	17,48%	
Kresoxim_methyl	777,6	317,575	313,709	346,959	148,214	0	313,367	314,628	28,141	242,42%	21,68%	
Lindane_g_HCH	1354,8	717,058	570,023	630,439	269,310	0	569,599	571,160	42,193	194,90%	14,40%	
Oxadiazon	1208,8	966,985	625,781	692,108	295,654	0	625,470	626,619	37,930	158,56%	9,60%	
Pendimethaline	563,2	482,416	318,797	352,586	150,617	0	318,577	319,389	22,764	162,00%	11,55%	
Prosulfocarbe	657,2	284,632	321,701	355,799	151,990	0	321,615	321,934	14,336	276,76%	12,32%	
Pyrimethanil	584,4	288,179	254,321	281,276	120,155	0	254,054	255,038	22,388	216,55%	19,01%	
S Metolachlore	1303,6	856,820	604,746	668,843	285,715	0	604,406	605,660	38,962	172,96%	11,13%	

x*: moyenne robuste

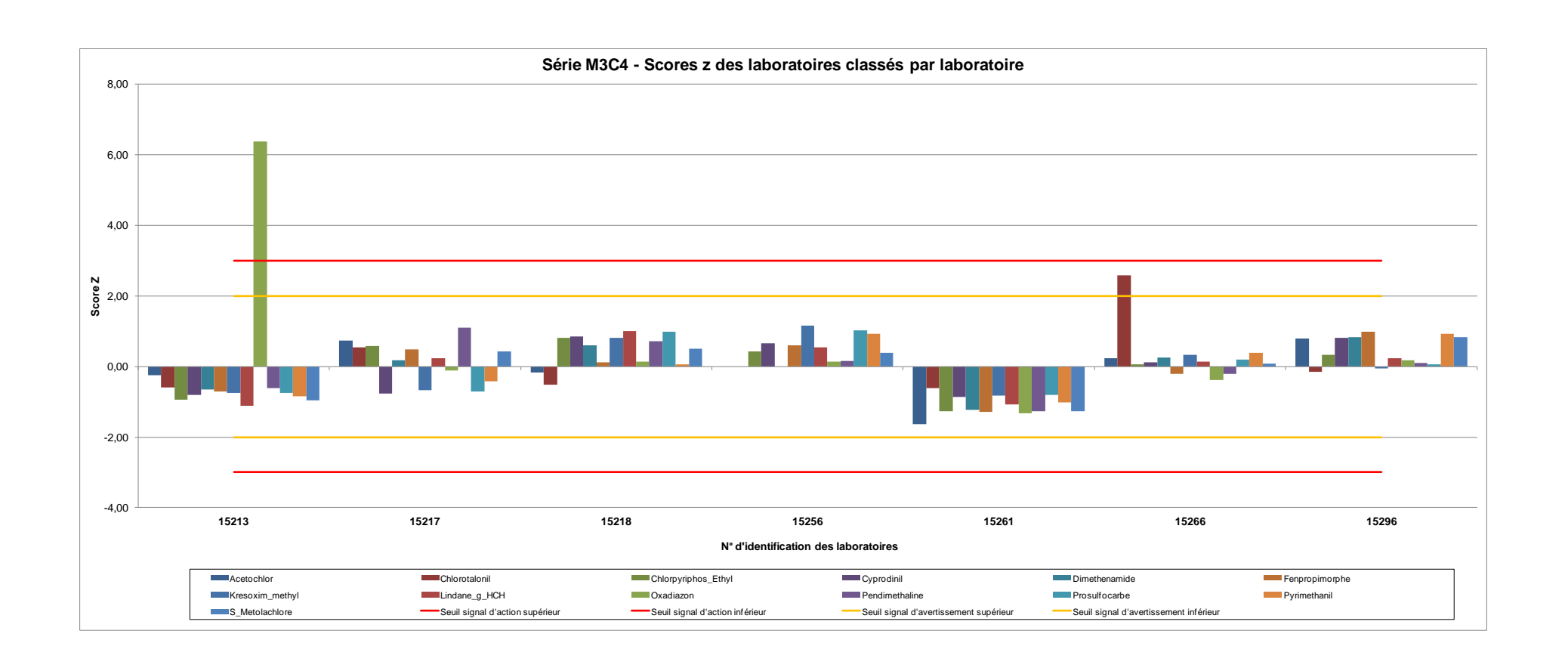
S_R : écart de reproductibilité Ic_R : intervalle de confiance de reproductibilité S_L: écart interlaboratoire IC_r : intervalle de confiance de repétabilité

S_r: écart de répétabilité $S_{\,\text{s}}$: écart-type inter échantillon des matériaux d'essais distribués

s*: écart-type robuste pour l'évaluation de l'aptitude

 $[\]sigma$: écart-type pour l'évaluation de l'aptitude recalculé suite à hétérogénéité du matériau d'essai et/ou faible population (p<16)

 u_{x^*} : incertitude type u_x



Approche Robuste: Pesticides Air Ambiant - M3C5

Substances ou Paramètres (unité en ng)	Valeur ciblée par dopage	Moyenne robuste x*	Ecart-type robuste s*	Ecart-type pour l'évaluation de l'aptitude ∕o	Incertitude type u _x . de la valeur assignée	Nombre de laboratoires ayant mesures exclues	Ecart-type interlaboratoire S _L	Ecart-type de reproductibilité S _R	Ecart type de répétabilité S _r	IC _R relatif (%)	IC, relatif (%)	S _s
Acetochlor	1027,2	534,185	301,050	337,984	153,629	1	300,363	302,855	38,765	145,74%	18,65%	
Chlorotalonil	585,9	216,683	259,812	291,686	132,585	1	259,728	260,033	12,605	308,49%	14,95%	
Chlorpyriphos_Ethyl	1345,9	900,346	618,046	683,553	291,999	0	617,449	619,651	52,191	168,41%	14,18%	
Cymoxanil	1468,5	1721,795	1666,284	1908,968	931,481	2	1665,201	1669,047	113,247	269,14%	18,26%	
Cyproconazole	1456,6	779,567	641,571	720,281	327,400	1	640,910	643,311	55,528	212,13%	18,31%	
Cyprodinil	1078,9	500,324	540,986	598,326	255,592	0	540,707	541,738	33,415	264,95%	16,34%	
Dichlobenil	621,25	408,484	317,923	356,927	162,239	1	317,523	318,976	30,412	200,73%	19,14%	
Difenconazole	987,8	312,050	334,599	370,064	158,083	0	333,304	338,063	56,527	265,09%	44,33%	
Dimethenamide	1360,9	828,870	588,176	660,335	300,152	1	587,696	589,438	45,283	182,80%	14,04%	
Dimetomorphe	1105,2	494,063	516,961	580,383	263,811	1	516,622	517,854	35,708	269,44%	18,58%	
Diphenylamine	569,4	481,964	443,860	523,421	277,412	3	442,225	447,807	70,485	295,69%	46,54%	
Epoxiconazole	1351,3	741,044	644,705	723,799	329,000	1	642,628	650,149	98,600	225,53%	34,20%	
Ethoprophos	546,4	329,096	255,415	286,750	130,341	1	254,872	256,840	31,728	200,62%	24,78%	
Fenpropidine	1282,4	710,548	603,085	690,921	337,135	2	602,609	604,300	45,178	236,13%	17,65%	
Fenpropimorphe	662,8	433,870	338,035	373,863	159,706	0	337,612	339,172	32,495	191,28%	18,33%	
Folpel	1000000	210194,531	324034,336	382116,727	202521,460	3	324004,033	324107,918	8205,446	490,71%	12,42%	
Kresoxim_methyl	777,6	263,828	241,293	266,867	114,000	0	240,900	242,347	26,448	224,77%	24,53%	
Lindane_g_HCH	1354,8	802,016	633,030	700,125	299,079	0	631,728	636,523	77,987	194,20%	23,79%	
Oxadiazon	1208,8	881,969	551,533	609,990	260,575	0	550,939	553,129	49,179	153,46%	13,64%	
Pendimethaline	563,2	460,292	321,701	355,798	151,989	0	320,558	324,757	52,051	172,64%	27,67%	
Procymidone	1333,7	834,813	615,341	690,833	314,015	1	614,893	616,520	44,761	189,84%	13,78%	
Prosulfocarbe	657,2	199,501	171,527	189,707	81,039	0	170,964	173,034	26,687	212,23%	32,73%	
Pyrimethanil	584,4	230,364	216,300	239,226	102,192	0	215,990	217,134	22,255	230,64%	23,64%	
S_Metolachlore	1303,6	859,236	590,123	652,671	278,807	0	589,863	590,824	33,689	168,25%	9,59%	
Spiroxamine	531,9	230,964	224,102	247,854	105,878	0	223,828	224,837	21,271	238,20%	22,54%	
Tebuconazole	1165,5	738,604	525,274	580,948	248,169	0	523,809	529,197	75,325	175,32%	24,95%	
Trifloxystrobine	1373,1	320,326	344,071	386,283	175,583	1	343,846	344,664	23,733	276,59%	19,05%	

x*: moyenne robuste

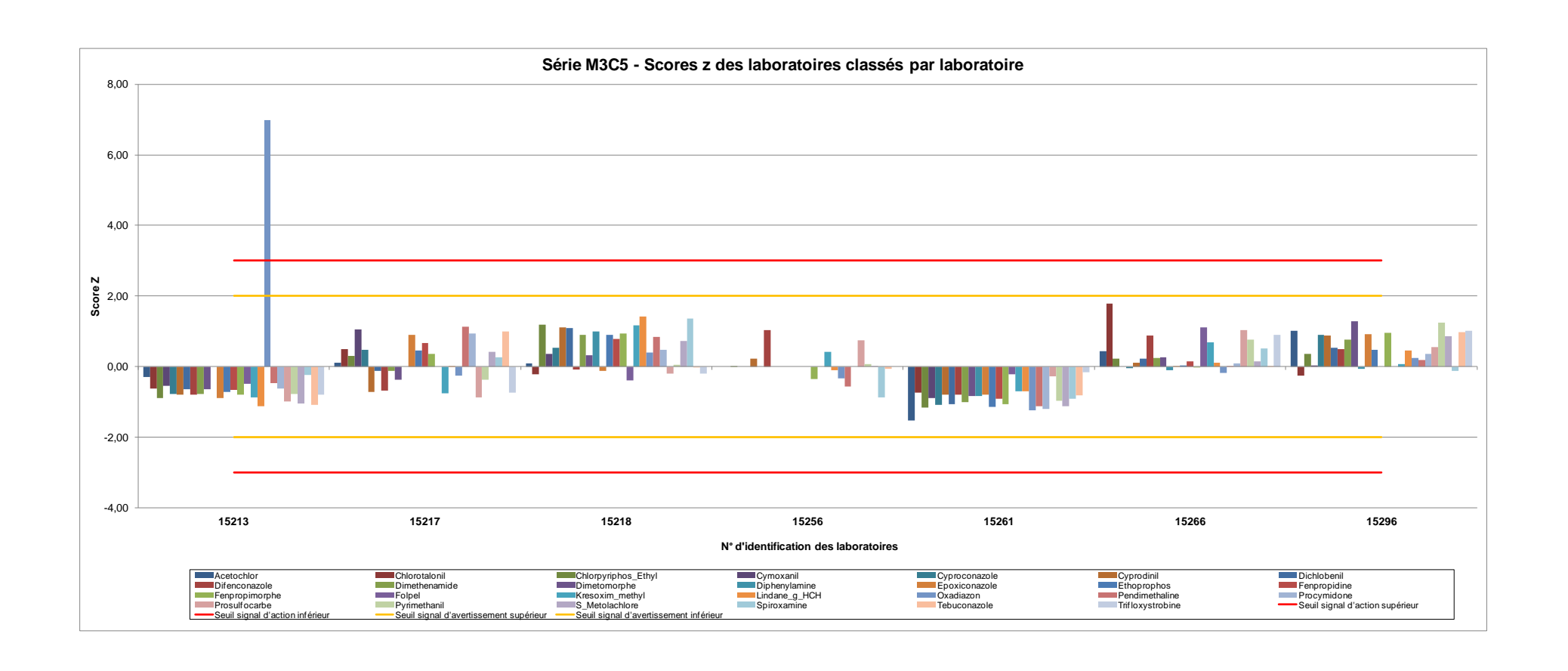
s* : écart-type robuste pour l'évaluation de l'aptitude $^{\wedge}$

σ : écart-type pour l'évaluation de l'aptitude recalculé suite à hétérogénéité du matériau d'essai et/ou faible population (p<16)

 u_{x^*} : incertitude type u_x

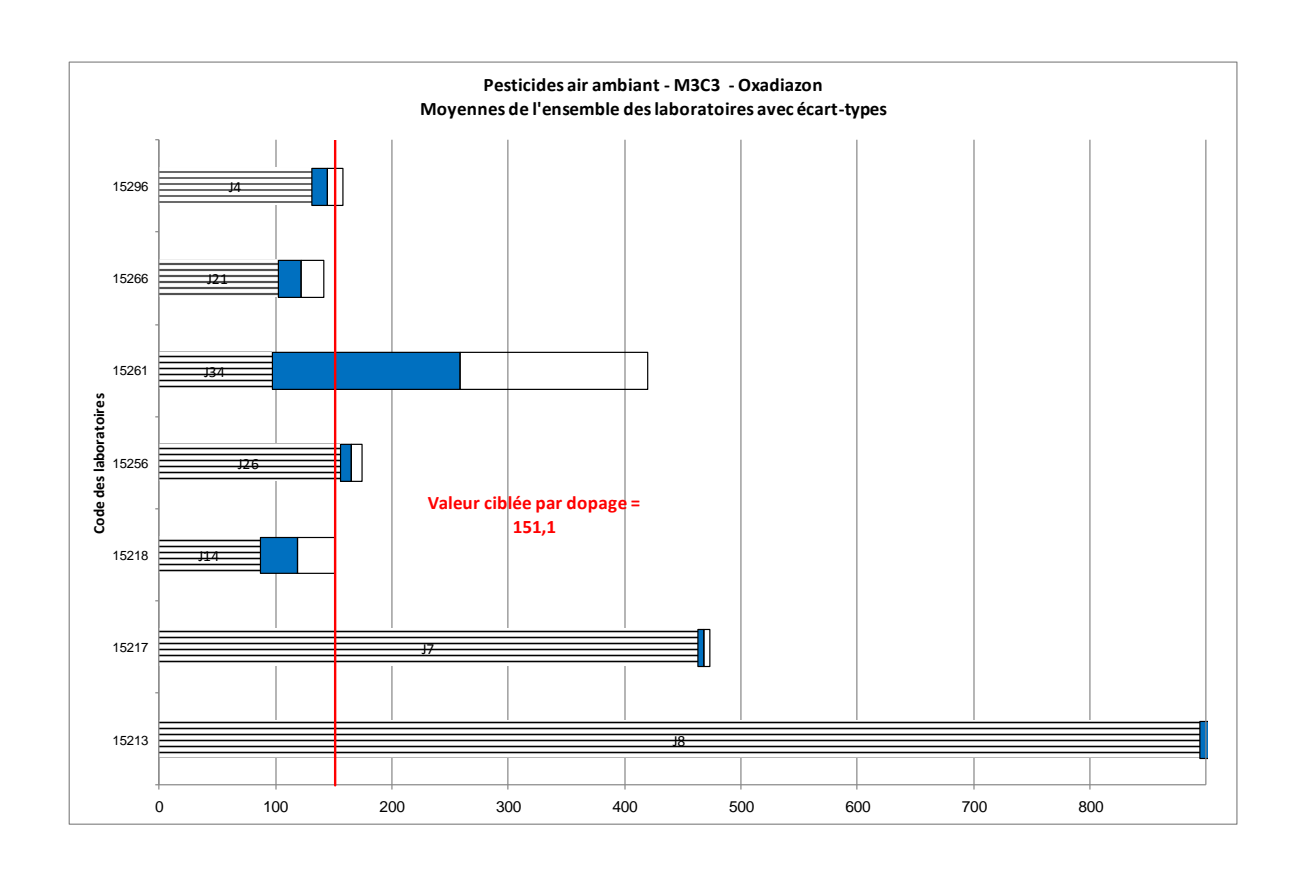
S_R : écart de reproductibilité Ic R : intervalle de confiance de reproductibilité S_L: écart interlaboratoire IC_r : intervalle de confiance de repétabilité

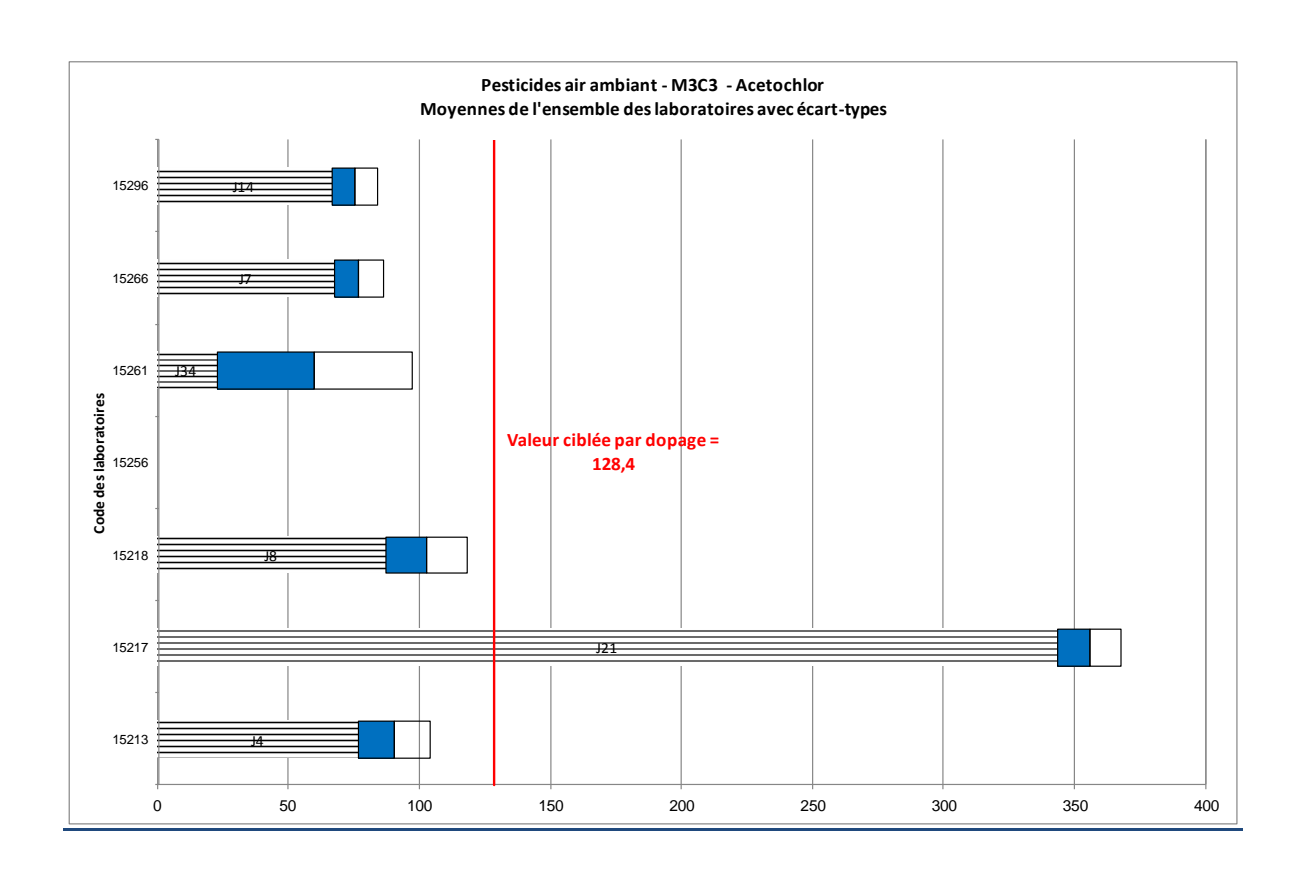
 $S_{\,\text{s}}$: écart-type inter échantillon des matériaux d'essais distribués S_r: écart de répétabilité

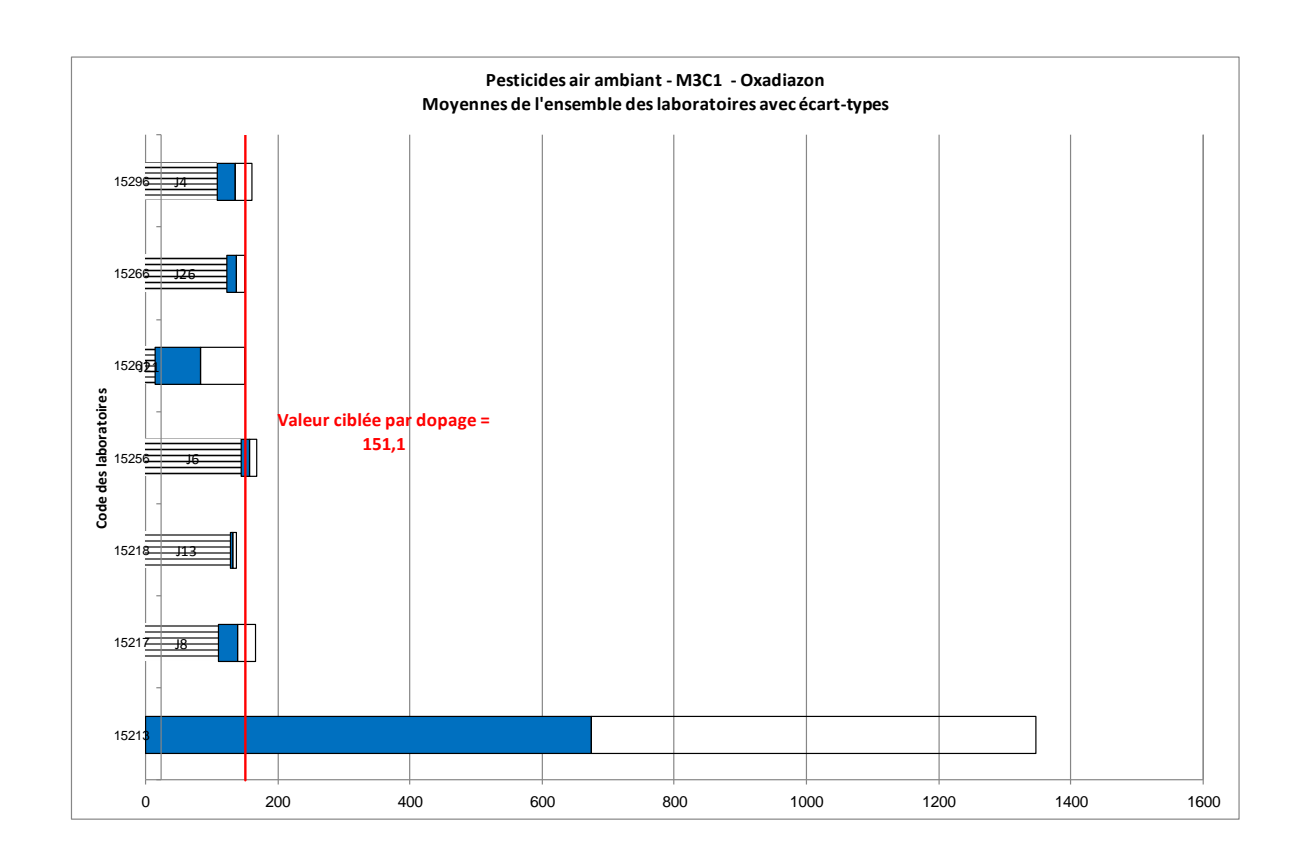


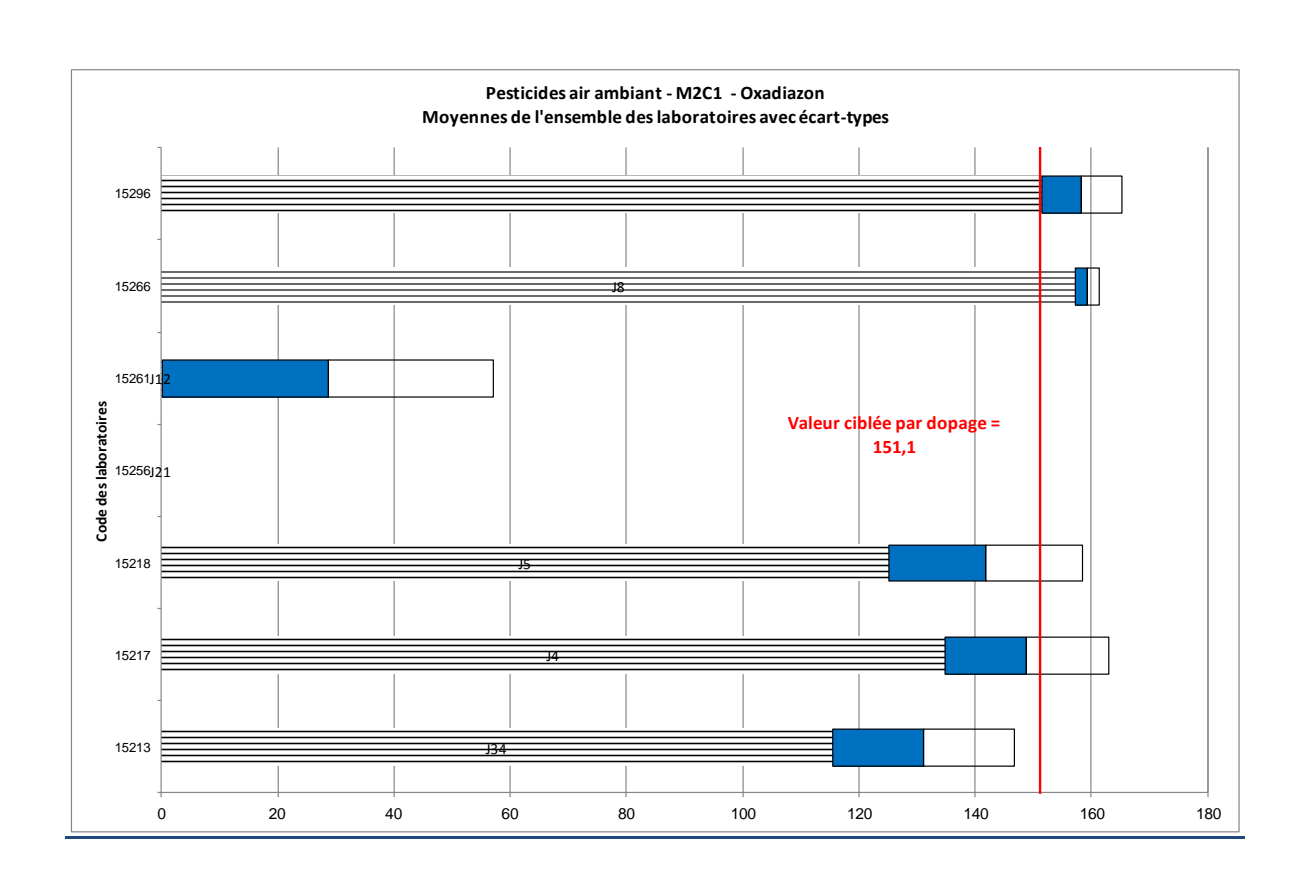
ANNEXE **7**

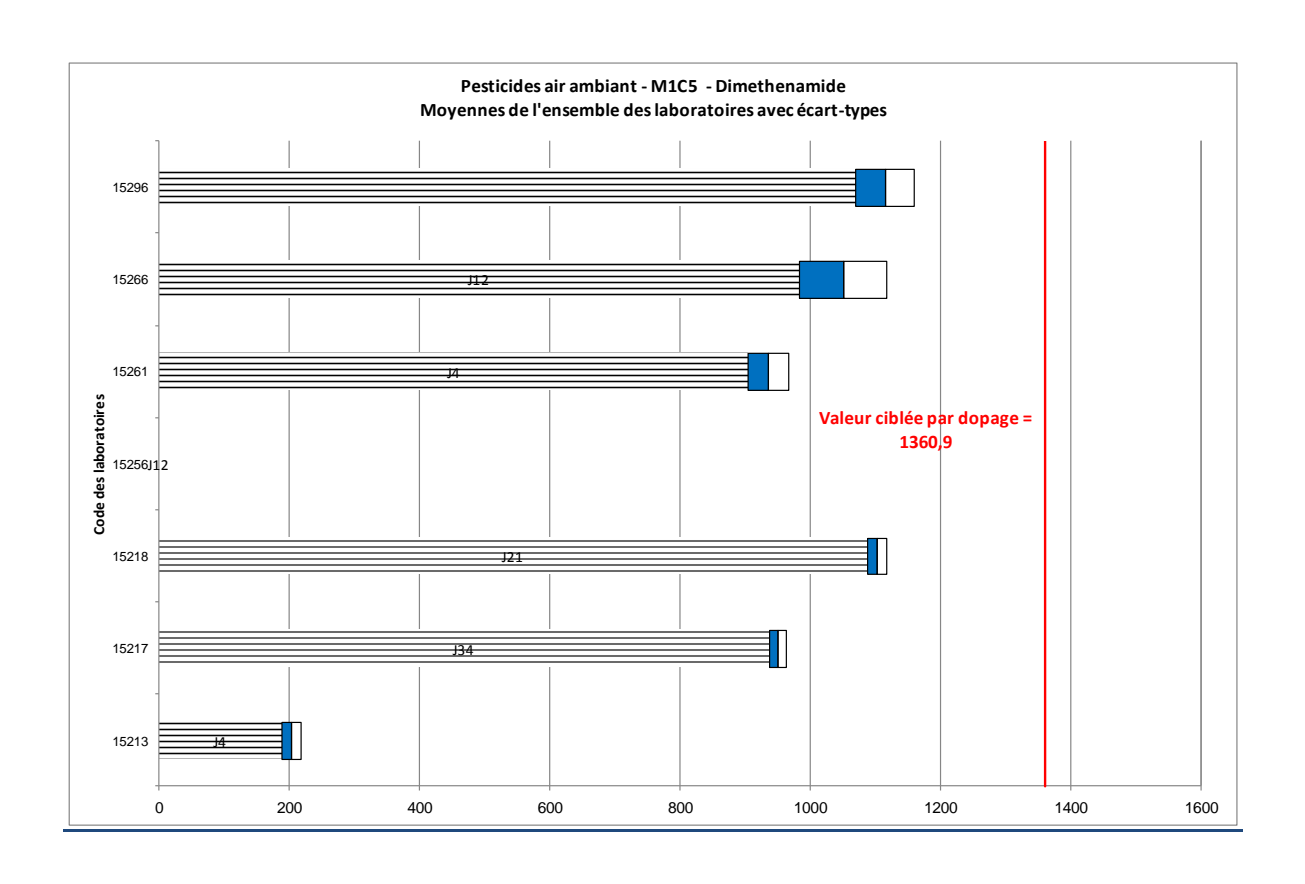
EXEMPLE DE RÉSULTATS COHÉRENTS











ANNEXE 8

BIAIS RELATIFS

